

UNIVERSIDADE ESTADUAL DE CAMPINAS
FACULDADE DE ENGENHARIA DE CAMPINAS
DEPARTAMENTO DE AUTOMAÇÃO

ESTUDO DE SENSIBILIDADE
DAS REDES REATIVAS ACOPLADORAS

ROBERT LIMA E SOO

ORIENTADOR: PROF. MANOEL SOBRAL JR.

Tese de Mestrado apresentada à
Faculdade de Engenharia de Cam-
pinas da Universidade Estadual
de Campinas.

Setembro - 1974

K837E

K837e

826/BC

Dizem que quando Isaac Newton já era velhinho, perguntaram-lhe certa vez:

- " Depois de tantas descobertas, não te sentes um pouco mais conhedor desse Universo? "

- " Sou apenas um menino que um dia chegou a praia, com uma conchinha que peguei no chão, tomei um pouco d'agua nas mãos, mas encontrei diante de mim a beleza e a fôrça do mar, fiquei estarrecido pois perante Ele nada sou."

Nesse momento em que a confusão é a ordem do dia, a incerteza é o ar que nos rodeia, quero diante do Altíssimo dizer: " Tu és a Esperança, o Senhor da glória."

R E S U M O

O presente trabalho é um estudo de sensibilidade das redes reativas acopladoras em relação a variação das cargas e das impedâncias da fonte.

Quando a rede reativa é sintetizada pelo método de Darlington, tem-se a liberdade na escolha da localização dos zeros do coeficiente de reflexão. De acordo com a escolha feita, obtem-se um tipo de comportamento.

Estudamos o problema visando dois objetivos: Maximizar a transferência de potência e minimizar o erro quadrático médio introduzido pela variação dos parâmetros na resposta em frequência.

Foi encontrado um critério que satisfaz dentro de certas restrições os objetivos propostos.

A B S T R A C T

The present paper is a sensitivity study of Lossless Coupling Networks for variation of load and source impedances.

When the Lossless Coupling Network is synthesized by Darlington procedure, certain freedom is allowed in the location of the zeros of reflection coefficient. According to the choice that is made, a specific type of behavior occurs.

The objective of this work is to minimize the Mean-Square Error Value in the spectral density and to maximize the power delivered.

It has been found a criterion which satisfies the proposed objective.

I N D I C E

CAPITULO I - INTRODUÇÃO

- 1.1 - Introdução.....
- 1.2 - Síntese de Darlington.....
- 1.3 - Influência da Variação da Resistência de Carga e da Resistência de Saída da Fonte no coeficiente de Reflexão.....
 - 1.3.1 - Calculo do coeficiente de reflexão em função da resistência de carga.....
 - 1.3.2 - Cálculo do coeficiente de reflexão em função da resistência da fonte.....
- 1.4 - Um Teorema de Reciprocidade.....
- 1.5 - Função de Transferência Real.....

CAPITULO II - FUNÇÃO SENSIBILIDADE

- 2.1 - Introdução
- 2.2 - Função Sensibilidade
- 2.3 - Um Critério no Estudo da Sensibilidade - Parte Real de $\rho(s)$
- 2.4 - Sensibilidade dos Polos.....
- 2.5 - Integral da Função Sensibilidade.....

CAPITULO III - OTIMIZANDO A POTÊNCIA TRANSMITIDA

- 3.1 - Introdução.....
- 3.2 - Transferência Real de Potência.....
- 3.3 - Relações com um Resultado de Bode.....

CAPITULO IV - CONCLUSÕES FINAIS, COMENTÁRIOS.

- 4.1 - Introdução.....
- 4.2 - Critério de Sinal de $\rho(s)$
- 4.3 - Q Escolha da Localização dos Zeros de $\rho(s)$
- 4.4 - Diagrama de Bloco do Processo de Síntese de Darlington com a Otimização em Relação a Integral de Sensibilidade e a Potência Transmitida.....
- 4.5 - Comentários Finais e Sugestões para Trabalhos Futuros.....

APÊNDICE I

REFERÊNCIAS BIBLIOGRÁFICAS.....

CAPÍTULO I

INTRODUÇÃO

1.1 - INTRODUÇÃO

O presente trabalho é um estudo sobre a sensibilidade de uma rede reativa acopladora. Esse capítulo visa esclarecer alguns métodos e propriedades que serão aplicados no estudo da sensibilidade.

No ítem 1.2, descrevemos o método de síntese de Darlington, com a inclusão do critério de escolha de sinal do coeficiente de reflexão; no ítem 1.3 estudamos o comportamento de $\rho(s)$ com a variação das resistências do circuito; no ítem 1.4, um teorema que nos permite estender o resultado da pesquisa para variação dos outros parâmetros externos, seja a resistência de carga ou de saída da fonte e finalmente no ítem 1.5, o estudo qualitativo da função de transferência com a variação da resistência de carga e da fonte.

1.2 - SÍNTSE DE DARLINGTON

O problema a ser resolvido é o seguinte

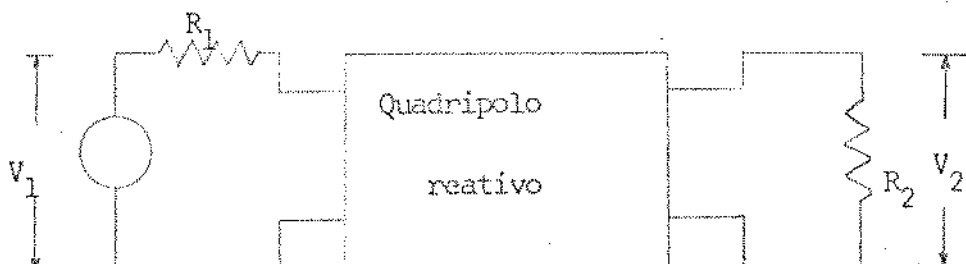


figura 1

dada a resistência de carga R_2 (ver figura 1) e a resistência da fonte R_1 encontrar uma rede reativa acopladora que realize a função de transferência dada.

$$|T(j\omega)|^2 = \left| \frac{V_2}{V_1}(j\omega) \right|^2 \quad (1.2.1)$$

O procedimento original de Darlington [1]* começa pela obtenção de $\rho(s)$ através da equação,

$$|\rho(j\omega)|^2 + \frac{R_1}{R_2} |T(j\omega)|^2 = 1 \quad (1.2.2)$$

com

$$|\rho(j\omega)|^2 = \rho(s)\rho(-s) \Big|_{s=j\omega} \quad (1.2.3)$$

Sabemos pelo teorema de fatoração que os fatores de $|\rho(j\omega)|^2$ não são únicos, já que existem números finitos de fatores cujos polos e zeros se distribuem em simetria quadrantal (isto é, se s_1 é um polo ou zero, também o são, $-s_1$, s_1^* e $-s_1^*$).

Sabemos que todos os polos de $\rho(s)$ estão localizados no semi-plano esquerdo (SPE); entretanto, a escolha da configuração dos zeros é quase livre. Resultam assim, redes diferentes embora as funções de transferência obtidas sejam absolutamente indistinguíveis.

Prova-se que são 2^m configurações possíveis na escolha dos zeros, onde $m = \lfloor \frac{n-1}{2} \rfloor$, n = ordem da rede e m inteiro [4].

Uma vez escolhidos os zeros e os polos temos, então,

$$|\rho(j\omega)|^2 = \frac{\rho(s)\rho(-s)}{q(s)q(-s)} \Big|_{s=j\omega} \quad (1.2.4)$$

* O número entre parêntesis indicam a referência bibliográfica.

onde $p(s) = (s-z_1)(s-z_2)(s-z_3)\dots(s-z_n)$, z_i sendo os zeros da escolha feita e $q(s)$ é um polinômio de Hurwitz.

A primeira questão que surge é a do sinal de $\rho(s)$.

Note que podemos escolher

$$\rho(s) = + \frac{p(s)}{q(s)} \quad (1.2.5)$$

ou

$$\rho(s) = - \frac{p(s)}{q(s)} \quad (1.2.6)$$

Tanto (1.2.5) como (1.2.6) satisfazem (1.2.4)

É evidente que ambos não podem estar simultaneamente corretos pois

$$Z_{11} = \frac{1 - \rho(s)}{1 + \rho(s)} R_1 \quad (1.2.7)$$

e, no primeiro caso

$$Z_{11}(s) = \frac{q(s) - p(s)}{q(s) + p(s)} ; \quad (1.2.8)$$

já no segundo caso

$$Z_{11}(s) = \frac{q(s) + p(s)}{q(s) - p(s)} R_1 \quad (1.2.9)$$

ou seja, temos dois circuitos duais, a impedância de um (fora o fator R_1) é a admitância do outro. Um deles resulta em um circuito terminado com a resistência de carga R_2 enquanto o outro resulta em uma resistência de carga R_1^2/R_2 que não é o circuito desejado [2].

Para resolver este problema, consideremos os circuitos, filtros passa-baixas (F.P.B.). Note que qualquer circuito pode ser derivado do F.P.B. através de uma transformação de frequência. A prova é a extensão desse critério para circuitos passa-alta e pas-

saíbaixa se encontram no Apêndice I.

Critério de escolha de sinal

"Se $R_2 > R_1$ e se o número dos zeros escolhidos no S.P.D. for par, adota-se sinal menos (-); se o número dos zeros no S.P.D. for ímpar adota-se o sinal mais (+)."

Para $R_2 < R_1$ o critério é exatamente o contrário: no lugar de (-) temos (+), e no lugar dos (+) temos (-).

Para melhor entender o critério de sinal faremos um exemplo de aplicação.

Exemplo 1

Filtro Butterworth de 3a. ordem.

A função característica do filtro com frequência normalizada é

$$|G(j\omega)|^2 = \frac{1}{1 + \omega^6}$$

com a resistência da fonte R_1 e a resistência de carga R_2

$$|T(j\omega)|^2 = \frac{R_2^2}{R_1 + R_2} \frac{1}{1 + \omega^6}$$

$$\begin{aligned} |\rho(j\omega)|^2 &= 1 - \frac{4 R_1 R_2}{(R_1 + R_2)^2} \frac{1}{1 + \omega^6} \\ &= \frac{(1 - T) + \omega^6}{1 + \omega^6} \end{aligned}$$

onde

$$T = \frac{4 R_1 R_2}{(R_1 + R_2)^2}$$

chamando

$$r = \sqrt[6]{1 - T} \quad r > 0$$

e fatorando, teremos que

os polos de $|\rho(j\omega)|^2$ serão

$$p_{1,2} = \pm 1$$

$$p_{3,4} = \pm \frac{1}{2} + j \frac{\sqrt{3}}{2}$$

$$p_{5,6} = \pm \frac{1}{2} - j \frac{\sqrt{3}}{2};$$

e os zeros de $|\rho(j\omega)|^2$ serão

$$z_{1,2} = \pm r$$

$$z_{2,3} = \pm r \left(\frac{1}{2} + j \frac{\sqrt{3}}{2} \right)$$

$$z_{5,6} = \pm r \left(\frac{1}{2} - j \frac{\sqrt{3}}{2} \right).$$

Como $q(s)$ é Hurwitz a escolha é única:

$$\begin{aligned} q(s) &= (s+1)(s+\frac{1}{2}-j\frac{\sqrt{3}}{2})(s+\frac{1}{2}+j\frac{\sqrt{3}}{2}) \\ &= s^3 + 2s^2 + 2s + 1 \end{aligned}$$

Quanto à $p(s)$, como há liberdade na escolha dos zeros, podemos por exemplo, escolhê-los no S.P.D. :

$$\begin{aligned} p(s) &= (s-r)(s-r(\frac{1}{2}+j\frac{\sqrt{3}}{2})(s-r(\frac{1}{2}-j\frac{\sqrt{3}}{2}) \\ &= s^3 - 2rs^2 + 2r^2s - r^3 \end{aligned}$$

Vamos supor $R_2 > R_1$. Como existem três zeros no S.P.D. devemos adotar o sinal (+)

$$\rho(s) = \frac{s^3 - 2rs^2 + 2r^2s - r^3}{s^3 + 2s^2 + 2s + 1}$$

e

$$Z_{11}(s) = \frac{1 - \rho(s)}{1 + \rho(s)} R_1$$

Fazendo $R_1 = 1$, teremos

$$Z_{11}(s) = \frac{2(1+r)s^2 + 2(1-r)s + (1+r^3)}{2s^3 + 2(1-r)s^2 + 2(1-r^2)s + (1-r^3)}$$

Sintetizando por Cauer I, chegaremos ao circuito da figura 2.

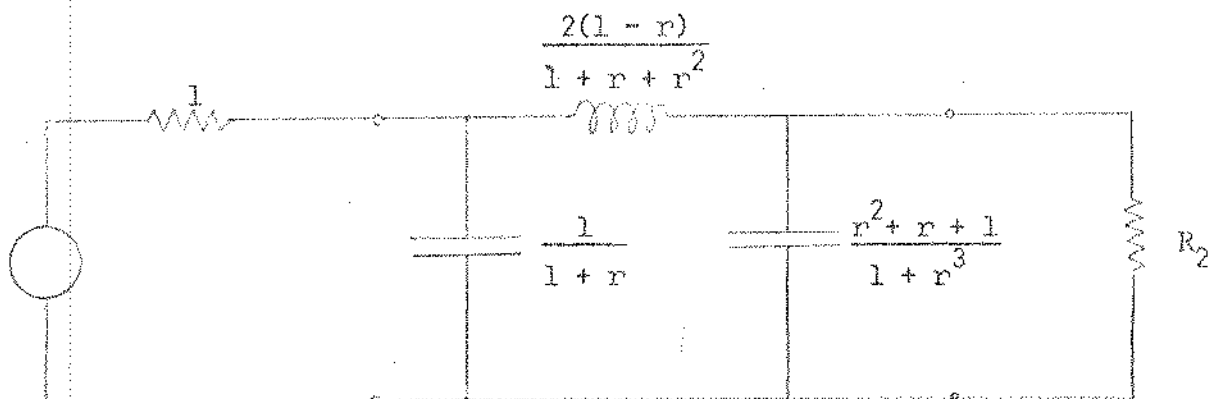


figura 2

Se tivessemos adotado o sinal $(-)$ para $\rho(s)$, resultaria

$$Z_{11}(s) = \frac{2s^3 + 2(1-r)s^2 + 2(1+r^2)s + (1-r^3)}{2(1+r)s^2 + 2(1-r)s + (1+r^3)}$$

e o circuito resultante é o da figura 3,

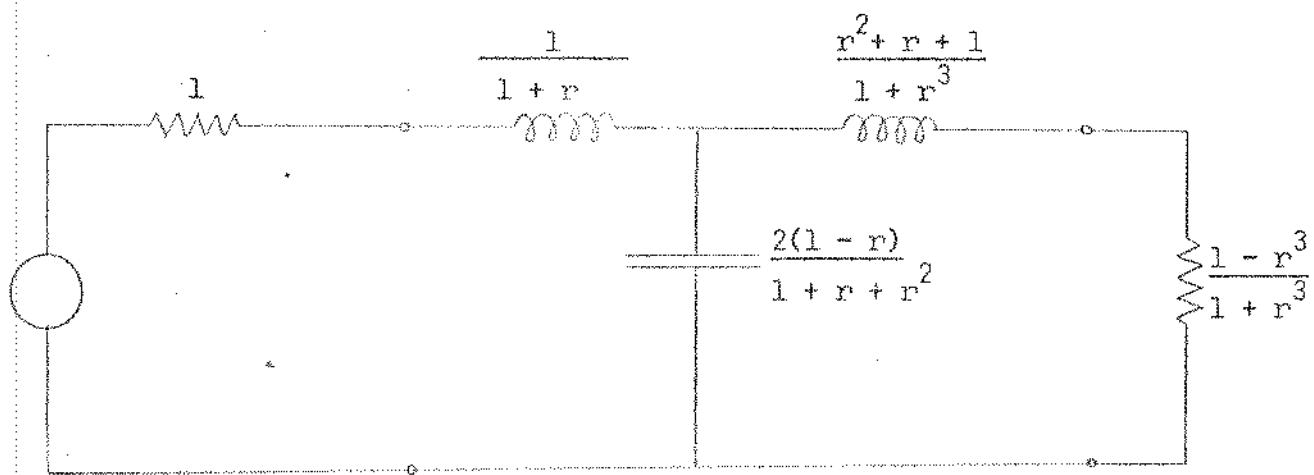


figura 3

que é exatamente o dual do primeiro.

1.3 - INFLUÊNCIA DA VARIAÇÃO DA RESISTÊNCIA DE CARGA E DA RESISTÊNCIA DE SAÍDA DA FONTE NO COEFICIENTE DE REFLEXÃO

Seja uma rede reativa acopladora com a carga nominal R_1 e a resistência de saída nominal R_2 (Fig. 4).

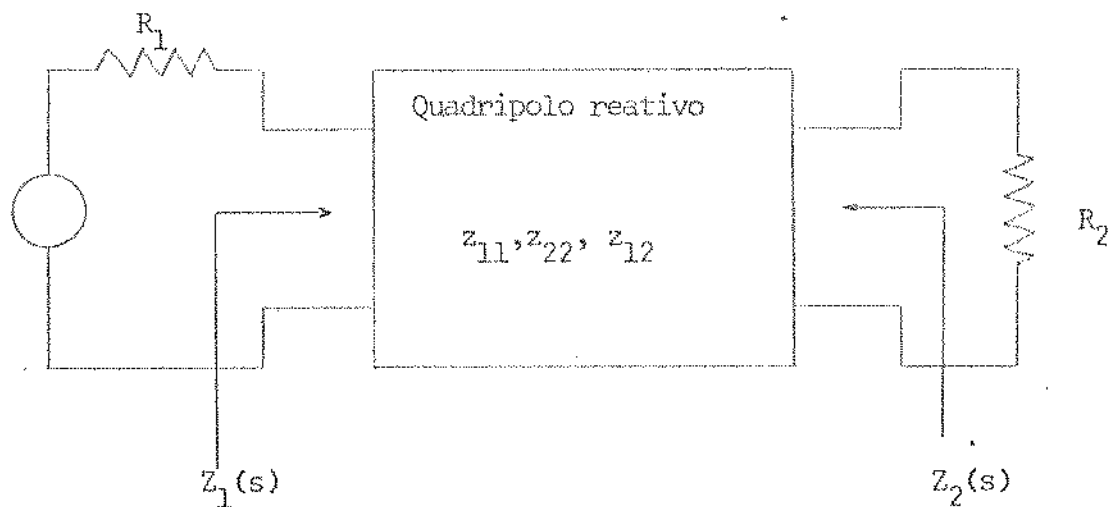


figura 4

A impedância de entrada é (ver Fig. 4)

$$Z_1(s) = \frac{R_2 z_{11} + |z|}{R_2 + z_{22}} = \frac{m_1(s) + n_1(s)}{m_2(s) + n_2(s)} R_1 , \quad (1.3.1)$$

onde m é a parte par do polinômio, n é a parte ímpar, o índice 1 indica numerador e o índice 2 indica denominador.

Para o caso de função de transferência sem polo nem zero na origem, podemos identificar os seguintes parâmetros $|3|$

$$z_{11} = R_1 \frac{m_1}{n_1} \quad (1.3.2)$$

$$z_{22} = R_2 \frac{m_2}{n_2} \quad (1.3.3)$$

$$y_{22} = \frac{1}{R_2} \frac{m_1}{n_1} \quad (1.3.4)$$

$$y_{11} = \frac{1}{R_1} \frac{m_2}{n_1} \quad (1.3.5)$$

$$\rho_i = \frac{R_1 - Z(s)}{R_1 + Z(s)} = \frac{(m_2 - m_1) + (n_2 - n_1)}{(m_2 + m_1) + (n_2 + n_1)} = \frac{N_e + N_o}{D_e + D_o} \quad (1.3.6)$$

onde o índice i em ρ indica condições ideais (isto é, resistência de carga real igual à usada no projeto) e o índice e indica a parte par do polinômio e o é a parte ímpar do polinômio. As funções z_{ij} e y_{ij} são as impedâncias e admitâncias do quadriporto.

1.3.1 - Cálculo do coeficiente de reflexão em função da resistência de carga real - ρ_a

Vamos supor agora que R_1 é fixo enquanto a carga é $R_2 \neq R_1$; calculemos então o novo $\rho(s)$, chamado de ρ_a .

Substituindo R_2 por R_ℓ em (1.3.1)

$$\begin{aligned} Z_a(s) &= \frac{\frac{R_\ell}{R_\ell} z_{11} + |z|}{\frac{R_\ell}{R_\ell} + z_{22}} = \frac{1 + \frac{1}{R_\ell Y_{22}}}{1 + \frac{z_{22}/R_\ell}{1}} z_{11} \\ &= \frac{\frac{m_1}{n_1}}{1 + \frac{R_2 n_1}{R_\ell m_1}} = \frac{\frac{R_\ell m_1 + R_2 n_1}{R_\ell n_2 + R_2 m_2}}{R_1} \end{aligned} \quad (1.3.7)$$

Definindo

$$K = \frac{R_2 - R_\ell}{R_2 + R_\ell} \quad (1.3.9)$$

substituindo (1.3.8) em (1.3.7)

$$Z_a(s) = \frac{(1 - k) m_1 + (1 + k) n_1}{(1 + k) m_2 + (1 - k) n_2} R_1 \quad (1.3.9)$$

$$\begin{aligned} \rho_a(s) &= \frac{\frac{R_1}{R_1} - Z_a(s)}{\frac{R_1}{R_1} + Z_a(s)} \\ &= \frac{m_2 - m_1 + n_2 - n_1 + k [(m_2 + m_1) - (n_2 + n_1)]}{m_2 + m_1 + n_2 + n_1 + k [(m_2 - m_1) - (n_2 - n_1)]} \end{aligned}$$

Substituindo (1.3.6) na expressão acima, obtemos

$$\rho_a(s) = \frac{N_e + N_o + k [D_e - D_o]}{D_e + D_o + k [N_e - N_o]} \quad (1.3.10)$$

A expressão (1.3.10) nos mostra que os polos de $\rho_a(s)$ tendem para os zeros refletidos de $\rho(s)$, enquanto os zeros de $\rho_a(s)$ tendem para os polos refletidos de $\rho(s)$, quando variamos a resistência de carga.

1.3.2 - Cálculo do coeficiente de reflexão real em função da resistência da fonte - ρ'_a

Fixemos a resistência de carga R_2 e variemos a impedância de saída da fonte. A nova impedância de saída é $R'_2 \neq R_1$ (Fig. 5)

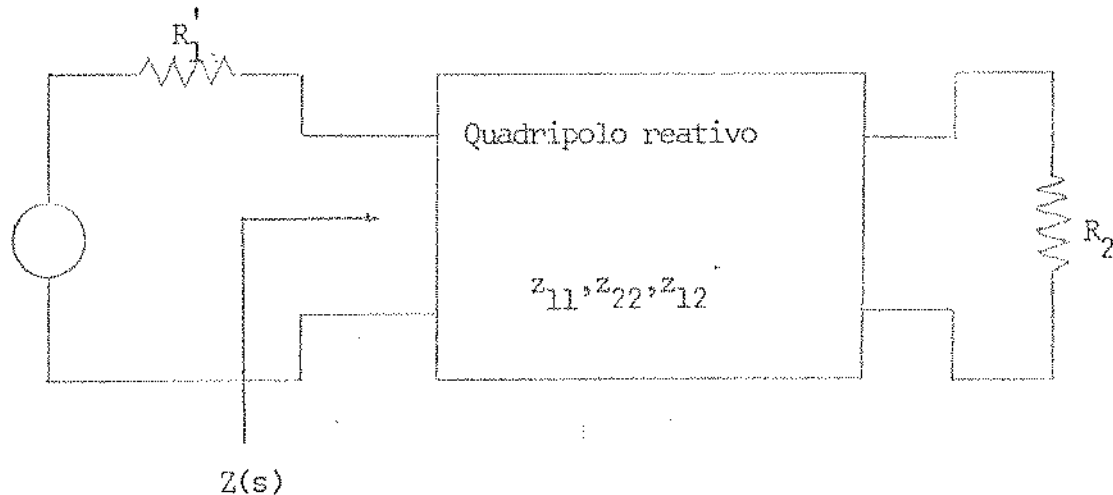


figura 5

Como não variamos a resistência de carga

$$Z(s) = Z_i(s) = \frac{1 - \rho_i(s)}{1 + \rho_i(s)} R_1 \quad (1.3.11)$$

onde

$$\rho_i(s) = \frac{N_e + N_o}{D_e + D_o} \quad (1.3.12)$$

O coeficiente de reflexão real ρ'_a é

$$\rho'_a(s) = \frac{R'_1 - Z(s)}{R'_1 + Z(s)} ; \quad (1.3.13)$$

chamando

$$k' = \frac{R'_1 - R_1}{R'_1 + R_1} \quad \checkmark \quad (1.3.14)$$

e substituindo (1.3.11) e (1.3.14) em (1.3.13) obtemos

$$\rho'_a(s) = \frac{\frac{1 - k'}{1 + k'} - \frac{1 - \rho_i}{1 + \rho_i}}{\frac{1 - k'}{1 + k'} \frac{1 - \rho_i}{1 + \rho_i}} = \frac{\rho_i - k'}{1 - k \rho_i},$$

ou

$$\rho'_a = \frac{(N_e + N_o) - k' (D_e + D_o)}{(D_e + D_o) - k' (N_e + N_o)} \quad (1.3.15)$$

A expressão (1.3.15) mostra que ao variarmos a impedância de saída da fonte, os zeros de $\rho'_a(s)$ tendem para os polos de $\rho(s)$ enquanto os polos de $\rho'_a(s)$ tendem para os zeros de $\rho(s)$.

1.4 - UM TEOREMA DE RECIPROCIDADE

Seja uma rede reativa acopladora com resistência de carga R_2 e resistência da fonte R_1 , conforme a figura 6,

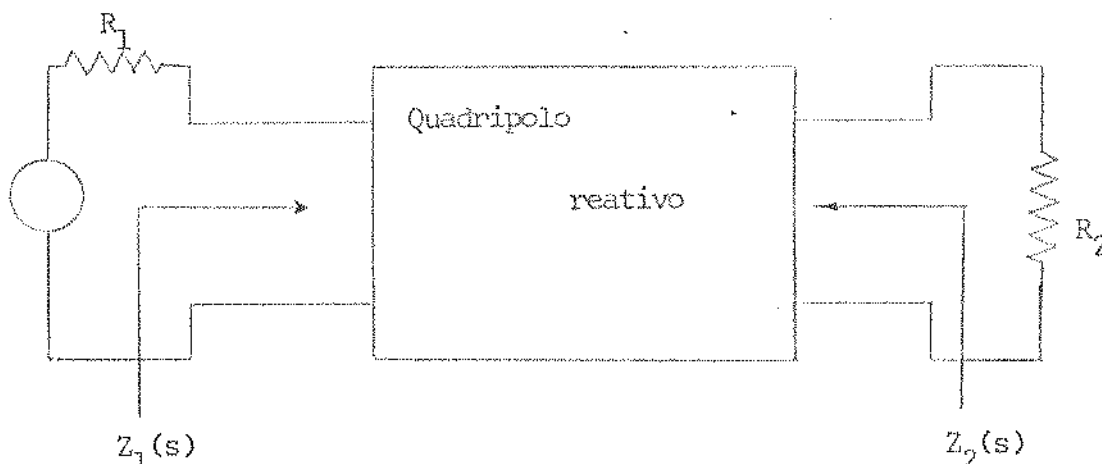


figura 6

onde $Z_1(s)$ é a impedância de entrada vista pela fonte e $Z_2(s)$ é a impedância de saída vista pela carga.

Prova-se que se

$$\rho_1(s) = \frac{R_1 - Z_1(s)}{R_1 + Z_1(s)}$$

possui zeros z_i e os

polos p_i , então

$$\rho_2(s) = \frac{R_2 - Z_2(s)}{R_2 + Z_2(s)}$$

possui zeros $(-z_i)$ e os

polos p_i

Prova:

Seja

$$Z_1(s) = \frac{R_2 z_{22} + |z|}{R_2 + z_{22}} = \frac{m_1 + n_1}{m_2 + n_2} R_1 ;$$

(1.4.1)

supondo que $Z(s)$ não possui nem polos nem zeros na origem, podemos escrever

$$z_{11} = R_1 \frac{m_1}{n_2} ;$$

(1.4.2)

$$z_{22} = R_2 \frac{m_2}{n_2} ;$$

(1.4.3)

$$y_{11} = -\frac{1}{R_1} \frac{m_2}{n_1} ;$$

(1.4.4)

$$y_{22} = -\frac{1}{R_2} \frac{m_1}{n_1} ;$$

(1.4.5)

$$\rho_1(s) = \frac{R_1 - Z_1(s)}{R_1 + Z_1(s)} = \frac{(m_2 - m_1) + (n_2 - n_1)}{(m_2 + m_1) + (n_2 + n_1)} ;$$

(1.4.6)

e

$$Z_2(s) = \frac{R_1 z_{22} + |z|}{R_1 + z_{11}} = \frac{m_2 + n_1}{m_1 + n_2} R_2$$

(1.4.7)

Portanto

$$\begin{aligned}\rho_2(s) &= \frac{R_2 - Z_2(s)}{R_2 + Z_2(s)} = \frac{(m_1 - m_2) + (n_2 - n_1)}{(m_2 + m_1) + (n_2 + n_1)} \\ &= -\frac{(m_2 - m_1) - (n_2 - n_1)}{(m_2 + m_1) + (n_2 + n_1)} \quad (1.4.8)\end{aligned}$$

Provamos portanto que se

$$\rho_1(s) = \frac{N(s)}{D(s)} \quad (1.4.9)$$

então

$$\rho_2(s) = -\frac{N(-s)}{D(s)} \quad (1.4.10)$$

1.5 - FUNÇÃO DE TRANSFERÊNCIA REAL

Para quadripolos reativos (Fig.7)

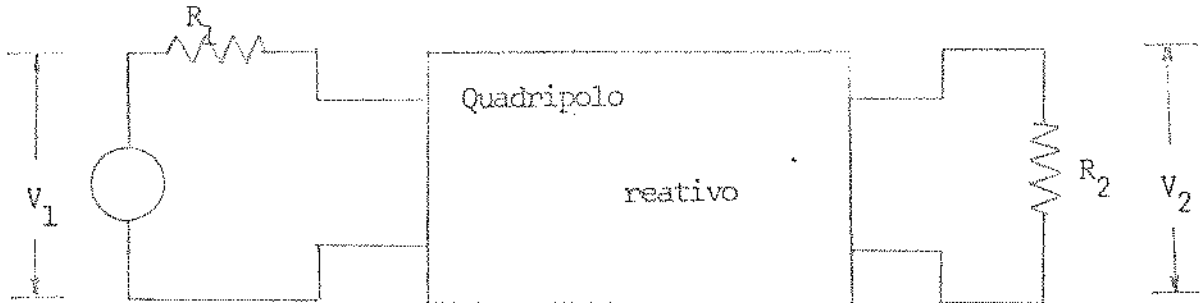


figura 7

temos que [3]

$$|\rho(j\omega)|^2 + \frac{4R_1}{R_2} |T(j\omega)|^2 = 1 \quad (1.5.1)$$

onde

$$|T(j\omega)|^2 = \left| \frac{V_2}{V_1} (j\omega) \right|^2 \quad (1.5.2)$$

Se escrevermos

$$\rho(s) = \frac{N_e + N_o}{D_e + D_o} \quad (1.5.3)$$

então poderemos obter

$$T_i(s) = \frac{1}{2} \frac{\sqrt{R_2/R_1} N_{12}(s)}{D_e(s) + D_o(s)} \quad (1.5.4)$$

onde N_{12} pode ser par ou ímpar. Para maior simplicidade vamos supor que $N_{12}(s)$ seja par $|3|$.

Pode-se verificar que

$$N_{12}^2 = (D_e^2 - N_e^2) - (D_o^2 - N_o^2) \quad (1.5.5)$$

1.5.1 - Cálculo da Função de Transferência Real variando

$$\underline{R_2}$$

Para $R_l \neq R_2$, o coeficiente de reflexão real é

$$\rho_a(s) = \frac{N_e + N_o + k(D_e - D_o)}{D_e + D_o + k(N_e - N_o)} \quad (1.5.6)$$

onde

$$k = \frac{R_2 - R_l}{R_2 + R_l} \quad (1.5.7)$$

Como

$$|\rho_a(j\omega)|^2 + \frac{4R_1}{R_l} |T_a(j\omega)|^2 = 1 \quad (1.5.8)$$

teremos

$$T_a(s) T(-s) = \frac{R_2}{4R_1} \left[(1 - k^2) \frac{(D_e^2 - N_e^2) - (D_o^2 - N_o^2)}{(D_e + k N_e)^2 - (D_o - k N_o)^2} \right]$$

$$\approx \frac{R_2}{4R_1} \frac{N_{12}^2}{(D_e + k N_e)^2 - (D_o - k N_o)^2} \quad (1.5.9)$$

ou

$$T_a(s) = \frac{1}{2} \frac{\sqrt{R_2/R_1} N_{12} (1 - k)}{D_e + D_o + k (N_e - N_o)} \quad (1.5.10)$$

A expressão (1.5.10) mostra que se compararmos T_a com T_i (expressão 1.5.4), ocorreu uma variação de nível D.C. (isto é, para $s=0$) além de um deslocamento de polos.

Como estamos interessados no estudo do comportamento em frequência vamos normalizar T_a em relação ao nível D.C.

Como

$$T_a(s) = T_i(s) \frac{1 - k}{\frac{N_e - N_o}{D_e + D_o}}$$

$$= T_i(s) \frac{1 - k}{1 + k \rho(s)} \quad (1.5.11)$$

onde

$$\rho(s) = \frac{N_e - N_o}{D_e + D_o}, \quad (1.5.12)$$

podemos escrever

$$T_a(\omega) = T_i(\omega) \frac{1 - k}{1 + k \rho(\omega)} \quad (1.5.13)$$

Definimos T_{an} , função de transferência real normalizada como

$$T_{an}(s) = T_a(s) \frac{1 + k \rho(s)}{1 - k}$$

ou

$$T_{an} = T_i(s) \cdot \frac{1 + k \rho(s)}{1 + k \rho^r(s)} \quad (1.5.14)$$

1.5.2 - Cálculo da Função de Transferência Real para variação na resistência de fonte

Analogamente, se a variação de parâmetro se verifica na resistência da fonte, $R_1' \neq R_1$, aplicando os resultados obtidos nos itens 1.3 e 1.4 obtemos

$$T_{an}' = T_i \frac{1 - k' \rho(s)}{1 + k' \rho(s)} \quad (1.5.15)$$

onde

$$\rho(s) = \frac{N_e + N_o}{D_e + D_o} \quad (1.5.16)$$

e

$$k' = \frac{R_1 - R_1'}{R_1 + R_1'} \quad (1.5.17)$$

A título de ilustração, daremos alguns exemplos do efeito das variações de parâmetros.

Exemplo 2

Vamos tomar a mesma função do filtro do exemplo 1, Butterworth de 3a. ordem, com $R_2 = 2$ e $R_1 = 1$.

São 4 as possibilidades de escolher os zeros, são, portanto, 4 circuitos distintos, cada um correspondendo a um $\rho(s)$ diferente.

Procedendo analogamente ao exemplo 1, obtivemos,

Círcuito I (nenhum zero no S.P.D., 3 zeros no S.P.E.)

$$\rho_1(s) = \frac{-s^3 - 1,3867 s^2 - 0,9615 s - 0,333}{s^3 + 2 s^2 + 2 s + 1}$$

Círcuito II (1 zero no S.P.D., e 2 zeros no S.P.E.)

$$\rho_2 = \frac{s^3 - 0,3333}{s^3 + 2 s^2 + 2 s + 1}$$

Círcuito III (2 zeros no S.P.D. e 1 zero no S.P.E.)

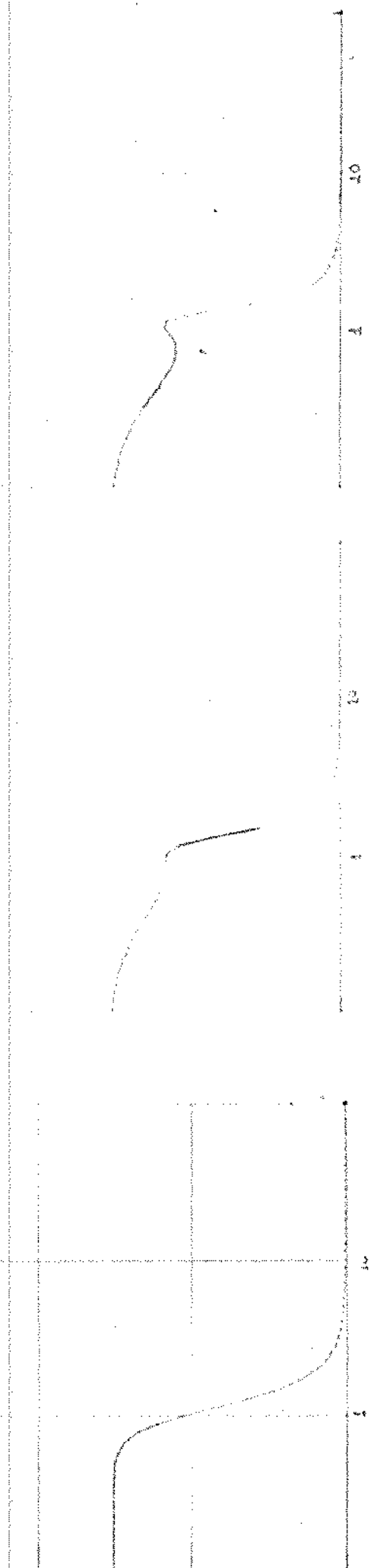
$$\rho_3(s) = \frac{-s^3 - 0,3333}{s^3 + 2 s^2 + 2 s + 1}$$

Círcuito IV (3 zeros no S.P.D. e nenhum no S.P.E.)

$$\rho_4(s) = \frac{s^3 - 1,3867 s^2 + 0,9615 s - 0,333}{s^3 + 2 s^2 + 2 s + 1}$$

Nas figuras 8, 9, 10, 11 estão traçadas as respostas em frequência $|T_{an}(j\omega)|$ dos diferentes circuitos (enumerado de I a IV) para vários valores de R_L .

Circuito I



$$R_2 = 3 R_1$$

$$R_2 = 2 R_1$$

$$R_2 = 6 R_1$$

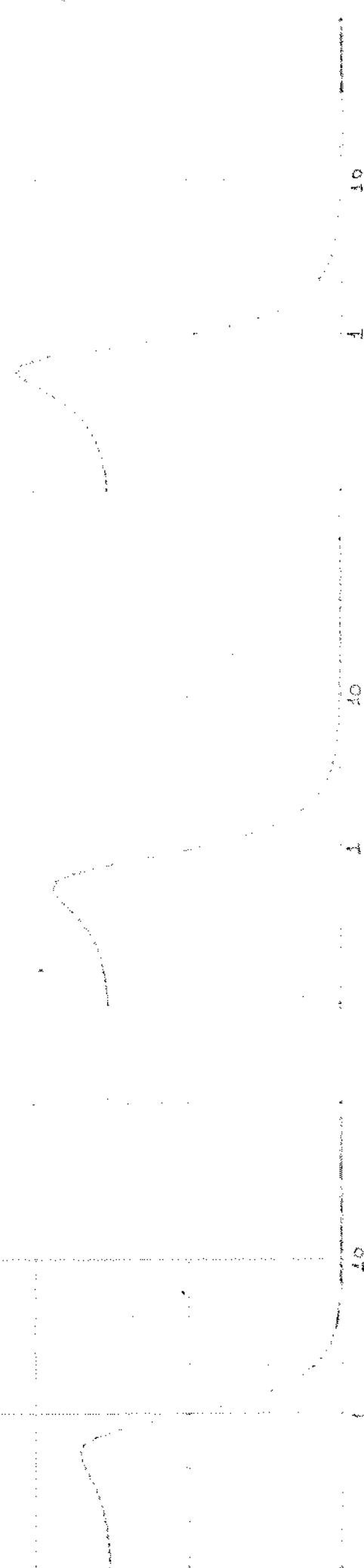


figura 8

Circuito II

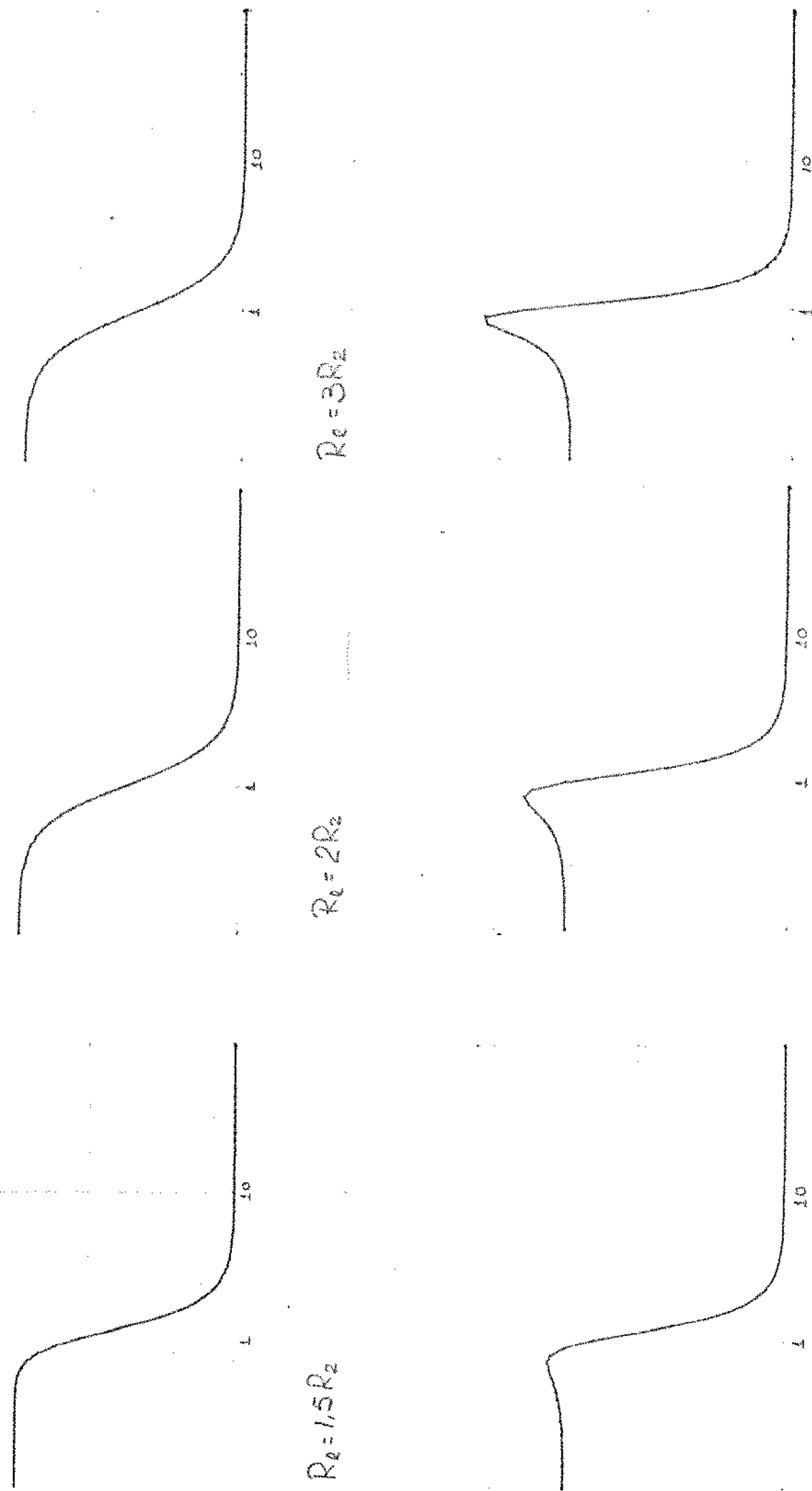


figura 9

Circuito III

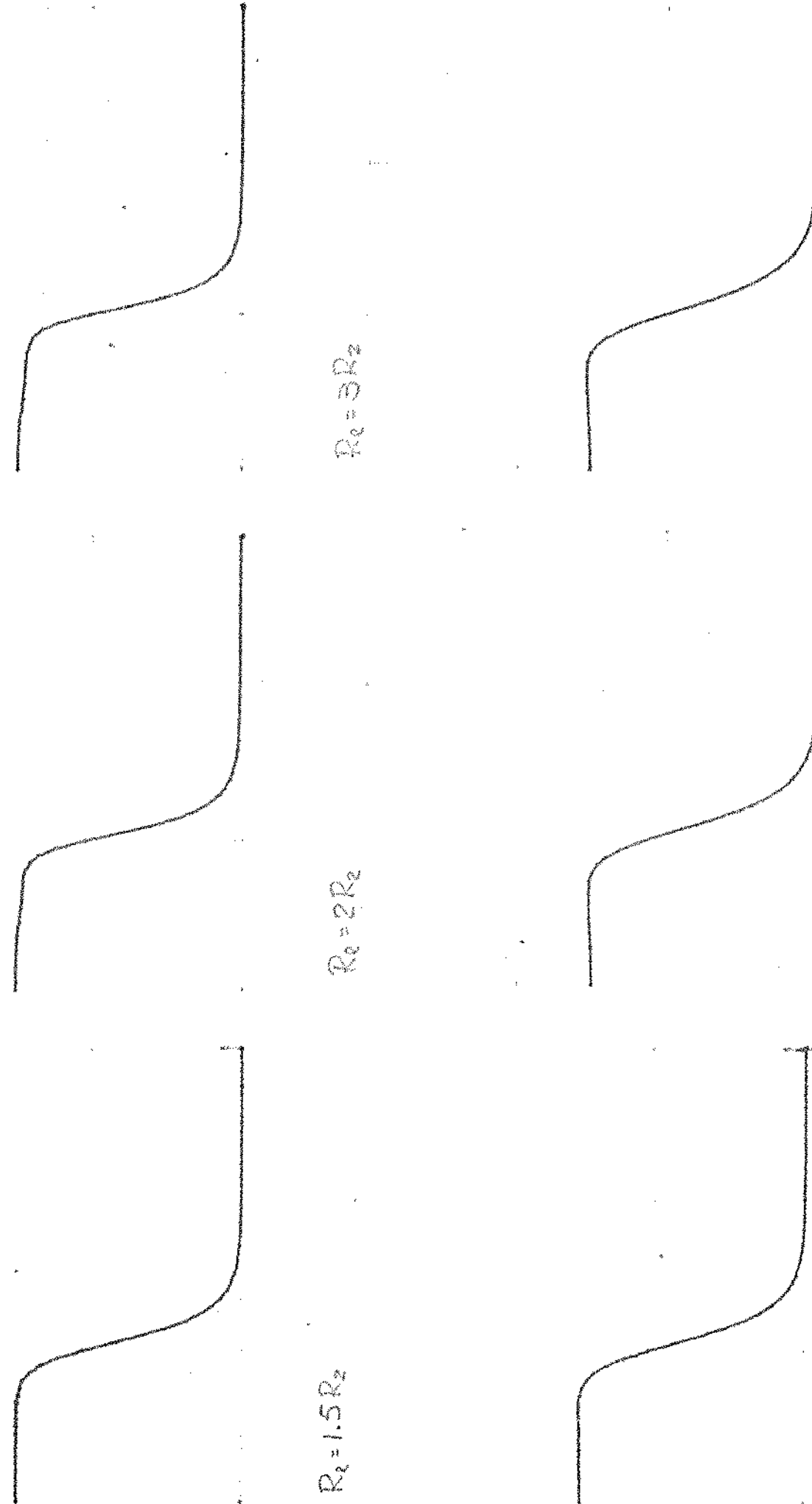


figura 10

Circuito IV

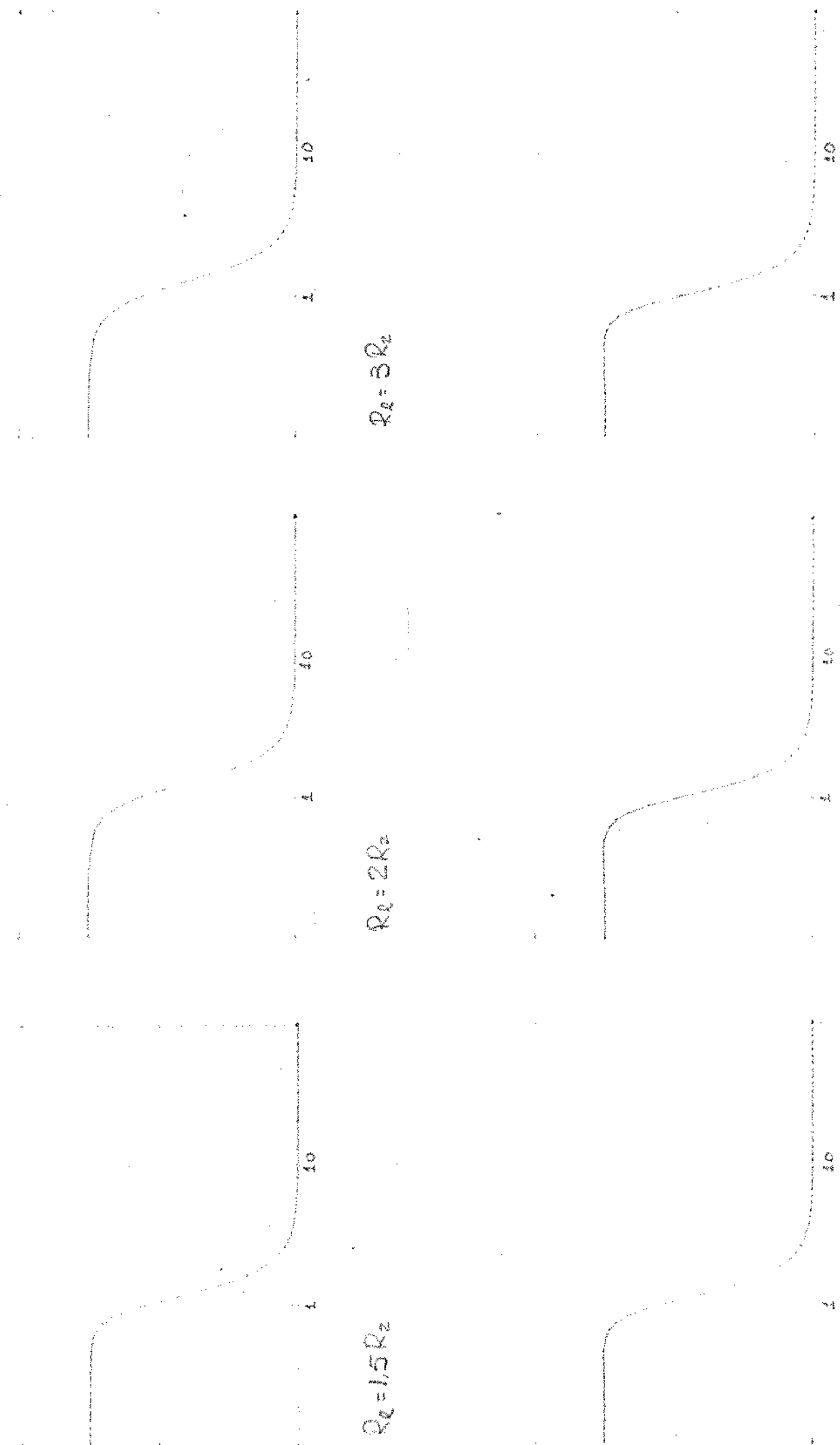
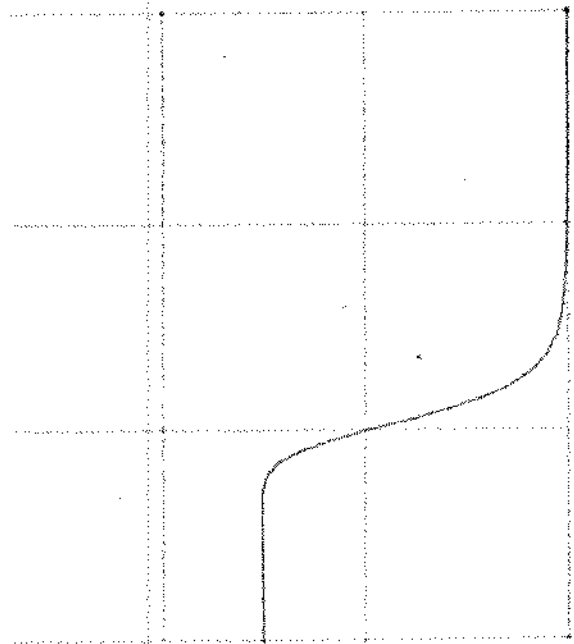


figura 11

Observamos que os circuitos I e II apresentam, para $R_1 = 3R_2$ ($k = -0,5$), picos de + 0,3 dB e para $R_1 = 0,4 R_2$ ($k = 0,5$), picos de - 3 dB enquanto a variação de R_2 nos circuitos III e IV quase não se faz notar na resposta em frequência.

Semelhantemente, nas figuras 12, 13, 14 e 15 estão traçadas as respostas em frequência $|T_{an}(j\omega)|$ dos mesmos circuitos (enumerados de I a IV) para as diferentes resistâncias fonte R.

INCLITO



$$R'_i = 1.5 R_i$$

$$R'_i = 2 R_i$$

$$R'_i = 3 R_i$$

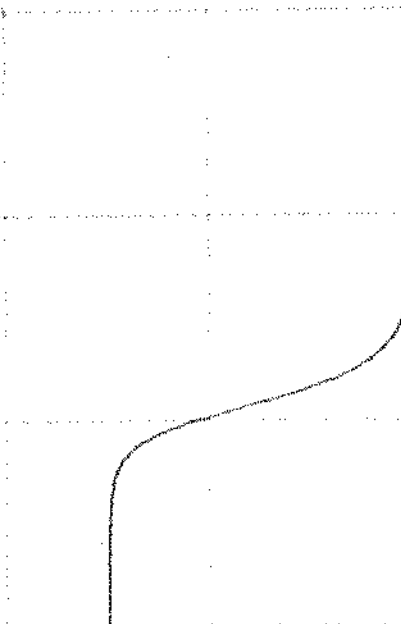
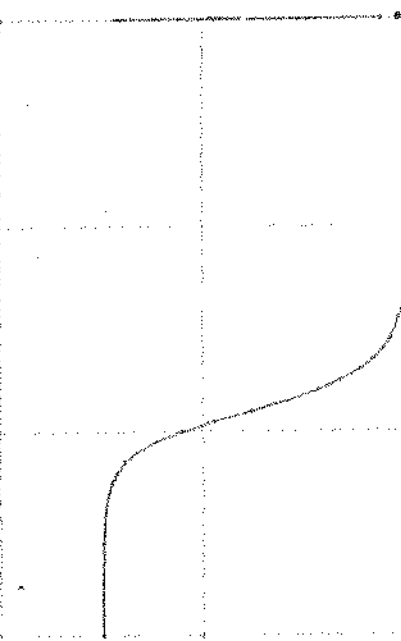
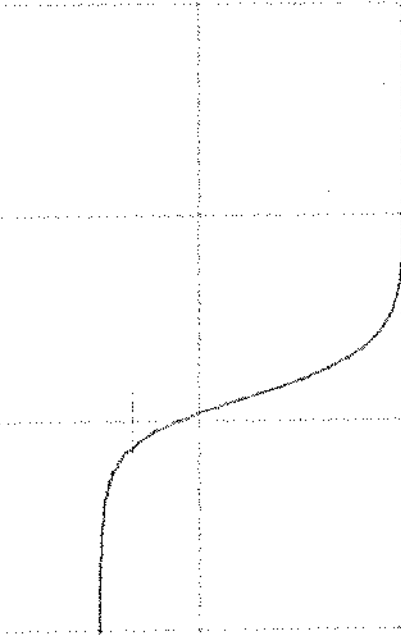
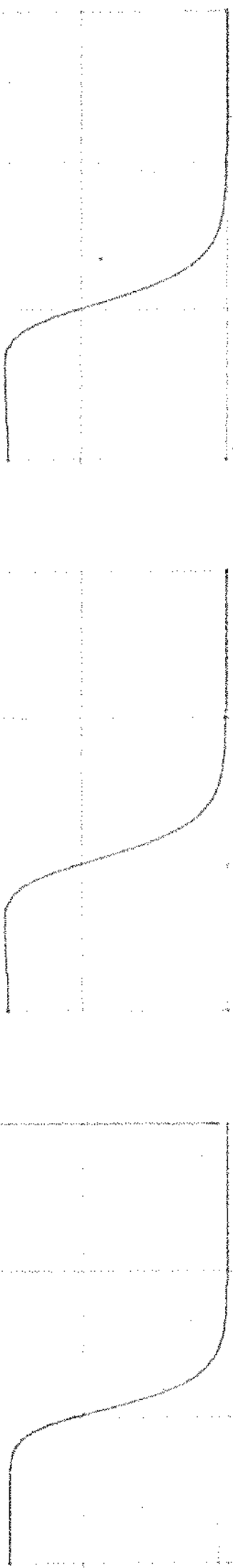


FIGURA 12

CIRCUITO



$$R_1 = 15 \Omega$$

$$R_2 = 20 \Omega$$

$$R_3 = 30 \Omega$$

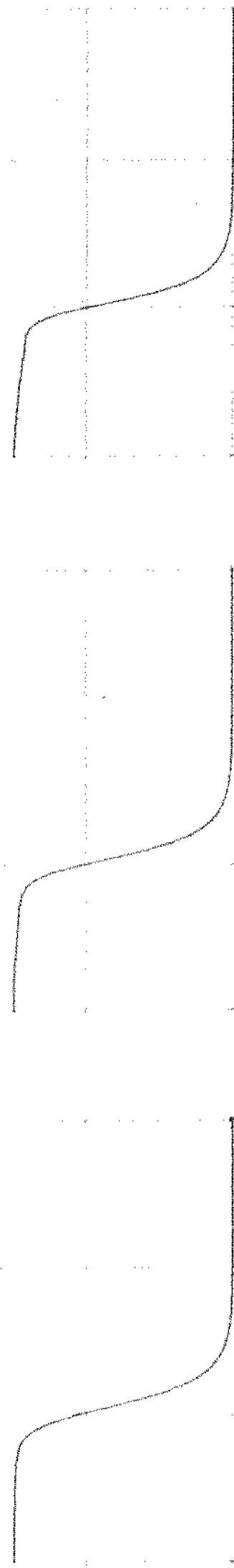
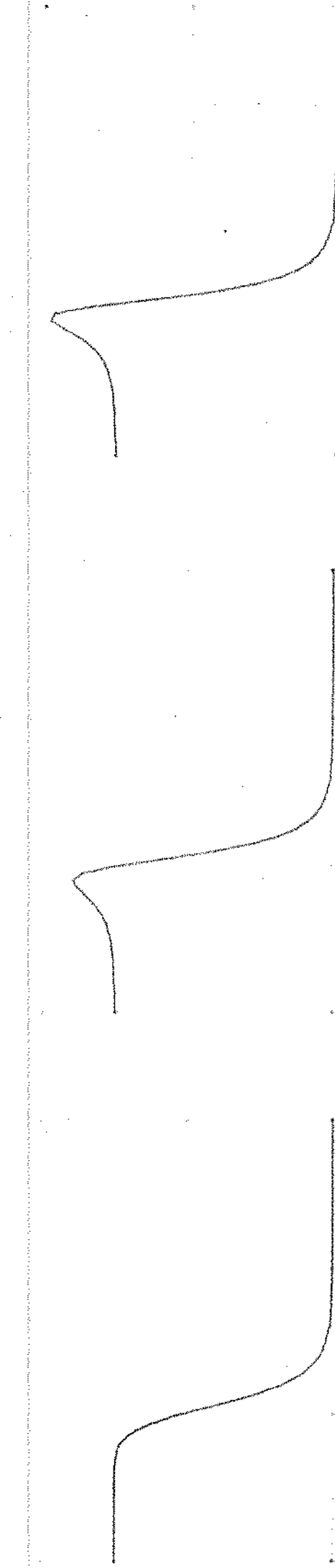


FIGURA 13

REQUINTO



$$R_1 = 1.5 R_2$$

$$J_x = 2 R_2$$

$$J_y = 3 R_2$$

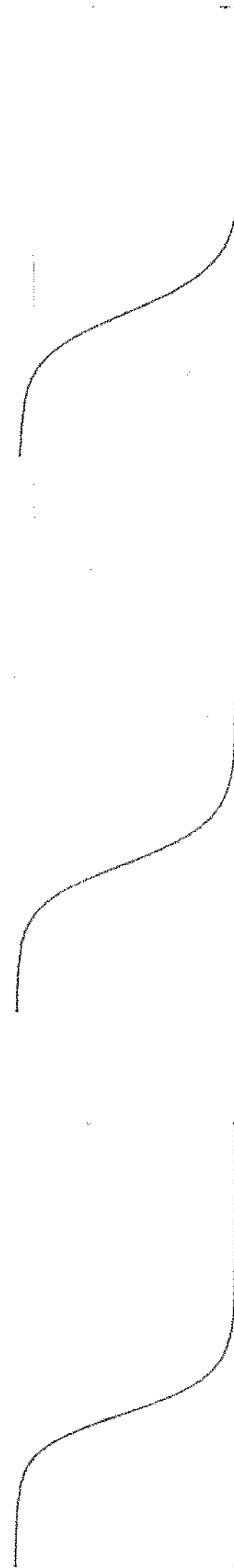
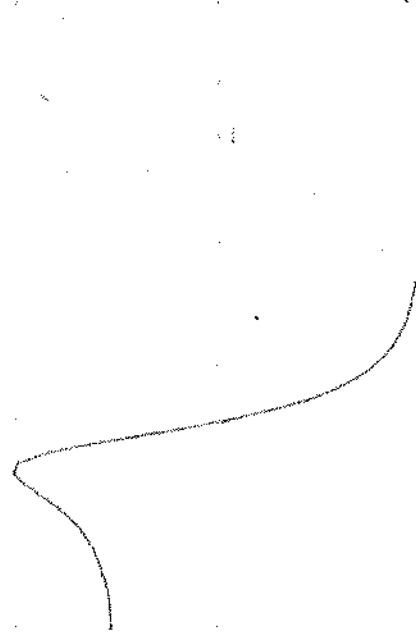
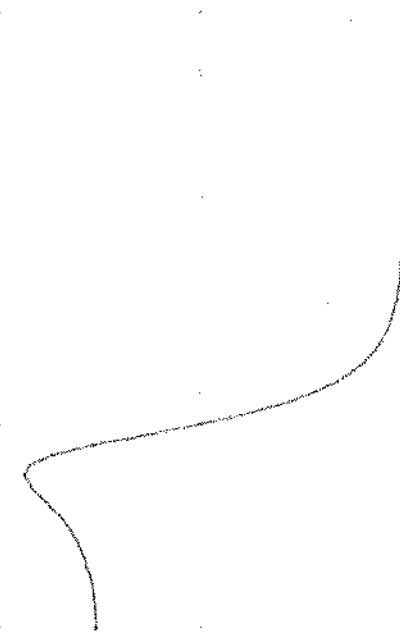


FIGURA 34

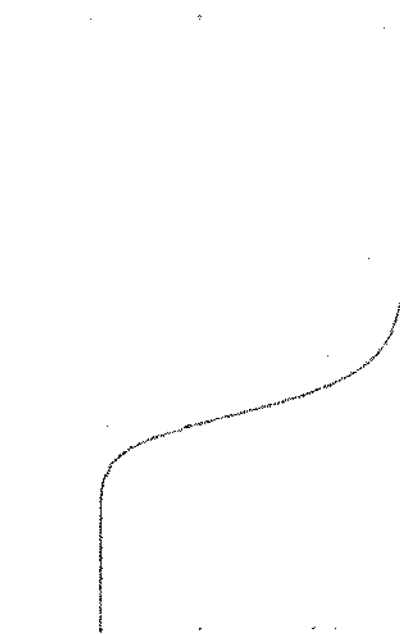
CIRCUITO IX



$$R'_1 = 1.5 R_1$$



$$R'_1 = 2 R_1$$



$$R'_1 = 3 R_1$$

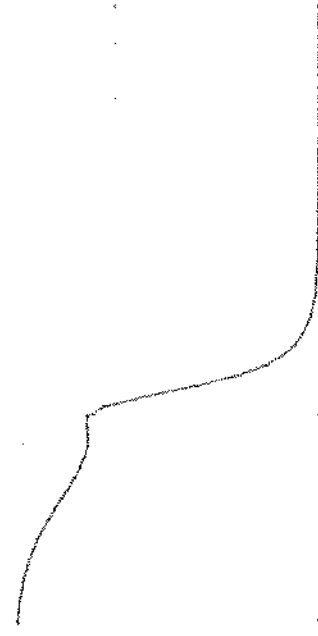
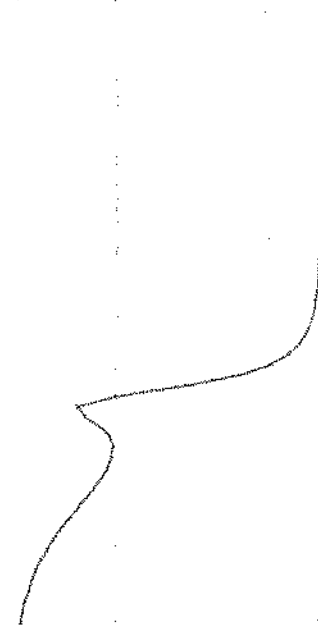


FIGURA 2

Analizando as figuras 12 a 15, observamos que os circuito III e IV são muito mais sensíveis a variação de resistência da fonte R_L (chegam a atingir $\pm 3 \text{ dB}$ para variação de $k = \pm 0,5$) do que os circuitos I e II.

CAPÍTULO II

FUNÇÃO SENSIBILIDADE

2.1 - INTRODUÇÃO

Vimos no capítulo anterior que a variação da resistência tanto da carga como da saída da fonte ocasiona variações apreciáveis na função de transferência. Neste capítulo, no ítem 2.2, estudaremos essa variação através da função sensibilidade. No ítem 2.3, estabeleceremos um critério para comparação das funções de sensibilidade. No ítem 2.4 estudaremos a sensibilidade dos polos que determinam a função de transferência e finalmente no ítem 2.5, comparações entre integrais das funções de sensibilidade.

Definimos como função sensibilidade em relação ao parâmetro k

$$S(s) = \left| \frac{1}{T_i(s)} \cdot \frac{T_{an} - T_i}{k} \right| \quad (2.1.1)$$

onde T_i é a função de transferência ideal

T_{an} é a função de transferência real

normalizada em relação a variação do nível D.C. e

$$k = \frac{R_i - R_a}{R_i + R_a} \quad (2.1.2)$$

onde R_i é o valor ideal da resistência

R_a é o valor real da resistência

Para maior simplicidade na análise do problema vamos supor de agora em diante que somente R_2 é variável; veremos mais adiante que o caso da variação do R_1 é simplesmente uma questão de transposição dos resultados.

2.2 - FUNÇÃO SENSIBILIDADE

Substituindo (1.5.14) em (2.1.1) temos

$$S(s) = \frac{\rho_0 - \rho^r(s)}{1 + k\rho^r(s)} \quad (2.2.1)$$

pois $\rho(0) = \rho_0$

Vemos que a função sensibilidade é somente função dos zeros de $\rho(s)$, pois para uma dada função de transferência todos os $\rho(s)$ possuem os mesmos polos.

Vamos examinar as expressões de sensibilidade para os casos extremos, isto é, os casos em que os zeros de $\rho(s)$ estão todos localizados no S.P.E. e para os casos em que os zeros estão todos no S.P.D..

CASO 1. Todos os zeros no S.P.E.

$\rho(s)$ tem a forma

$$\rho_e(s) = \frac{N_e(s) + N_o(s)}{D_e(s) + D_o(s)} \quad (2.2.2)$$

a sensibilidade é

$$S_e(s) = \frac{\rho_0 (D_e(s) + D_o(s)) - (N_e(s) - N_o(s))}{D_e(s) + D_o(s) + k(N_e(s) - N_o(s))} \quad (2.2.3)$$

CASO 2. Todos os zeros no S.P.D.

Os coeficiente de reflexão é dado por

$$\rho_d(s) = \frac{N_e(s) - N_o(s)}{D_e(s) + D_o(s)} \quad (2.2.4)$$

A função sensibilidade tem a forma

$$S_d(s) = \left| \frac{\rho_o(D_e + D_o) - (N_e + N_o)}{D_e + D_o + k(N_e + N_o)} \right| \quad (2.2.5)$$

Vamos comparar (2.2.3) com (2.2.5), para mostrar que a diferença entre os módulos de $S_d(j\omega)$ e $S_e(j\omega)$ não possue o mesmo sinal no intervalo $0, \infty$, a não ser em casos especiais.

Chamando

$$W(s) = \frac{S_d(s)}{S_e(s)} \quad (2.2.6)$$

pelo teorema de Talbot 5

$$|W(s)| \leq 1 \quad \text{para } \forall \operatorname{Re} s \geq 0$$

se e somente se,

$$\operatorname{Re} \left(\frac{1 + W(s)}{1 - W(s)} \right) \geq 0 \quad \text{para } \forall \operatorname{Re} s \geq 0 \quad (2.2.7)$$

Introduzindo (2.2.3) e (2.2.5) em (2.2.6) e (2.2.7) temos

$$Y(s) = \frac{1 + W(s)}{1 - W(s)} = \frac{\rho_o(D_e + D_o)^2 - k(N_e^2 - N_o^2) + N_e(D_e + D_o)(k\rho_o - 1)}{-N_o(D_e + D_o)(k\rho_o - 1)}$$

$$= \frac{\rho_o(D_e + D_o)}{N_o(1 - k\rho_o)} - \frac{N_e}{N_o} + \frac{k(N_e^2 - N_o^2)}{N_o(D_e + D_o)(k\rho_o - 1)} \quad (2.2.8)$$

se $|S_e(s)| > |S_d(s)|$ $\forall s = j\omega$

então, necessariamente, deveríamos ter

$$\operatorname{Re}[Y] \geq 0 \quad \forall \omega$$

vamos examinar a parte real de Y. A parte real do 1º termo é

$$\operatorname{Re} \left[\frac{\rho_0 (D_e + D_o)}{N_o (1 - kp_o)} \right] = \frac{\rho_0 D_o N_o}{N_o^2 (1 - kp_o)} \Big|_{s=j\omega}$$

A parte real do 2º termo é

$$\operatorname{Re} \left[\frac{N_e}{N_o} \right] = 0$$

A parte real do 3º termo é

$$\operatorname{Re} \left[\frac{k(N_e^2 - N_o^2)}{N_o (D_e + D_o)(kp_o - 1)} \right] = \frac{N_o D_o}{N_o^2} \cdot \frac{k(N_e^2 - N_o^2)}{(D_e^2 - D_o^2)(1 - kp_o)} \Big|_{s=j\omega}$$

Para que $\operatorname{Re} Y \geq 0 \quad \forall \omega$, a soma das partes reais do 1º termo e 3º termo deve ser positiva.

$$\operatorname{Re}[Y] = \frac{N_o D_o}{N_o^2} \left[\frac{N_e^2 - N_o^2}{D_e^2 - D_o^2} \cdot \frac{k}{1 - kp_o} + \frac{\rho_o}{1 - kp_o} \right]$$

Para simplificar a discussão, vamos supor $k > 0$ e $\rho_o > 0$ (para outras combinações de k e ρ_o , a conclusão também é verdadeira, basta verificar), nesse caso o número dentro do colchete é sempre positivo. A condição necessária e suficiente para $\operatorname{Re}[Y] \geq 0$, $\forall \omega$, é N_o e D_o apresentarem os mesmos sinais para $\forall \omega$.

Vamos verificar que esta condição não acontece a não ser nos dois casos seguintes.

1º CASO: 0 grau for menor ou igual a dois.

Nesse caso, N_o e D_o são da forma α e βs respectivamente. Da figura 16 é fácil verificar que $N_o D_o$ é sempre positivo, $\forall \omega$.

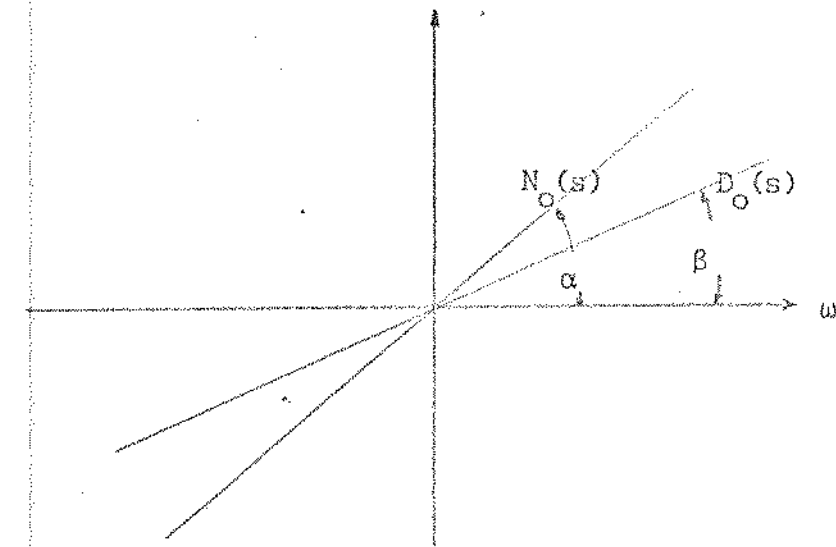


figura 16

2º CASO: Terem N_o e D_o os mesmos zeros.

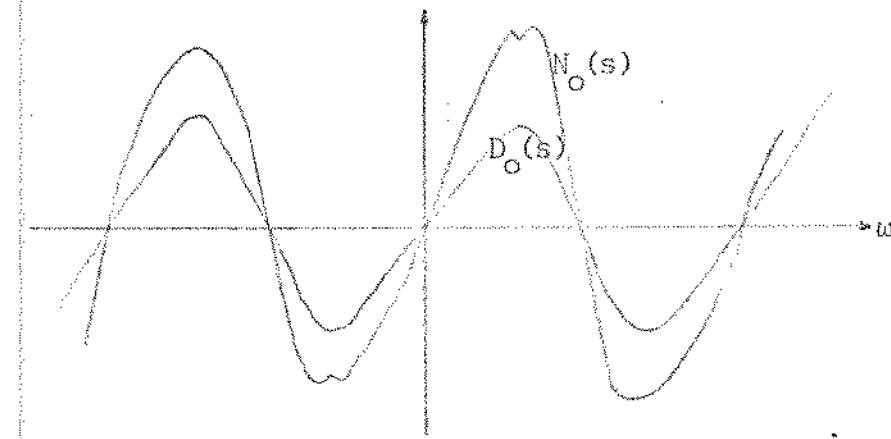


figura 17

Da figura 17 a demonstração é trivial.

Se N_o e D_o não apresentam os mesmos zeros temos, então a situação da figura 18,

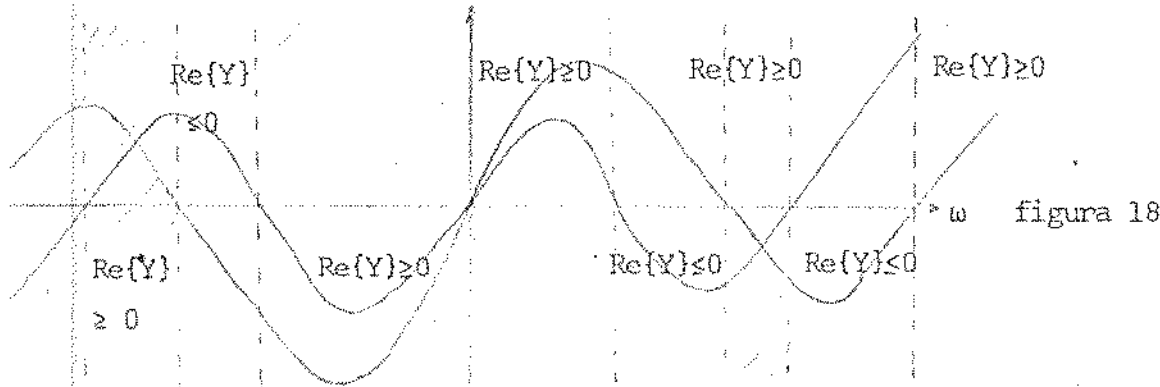


figura 18

vemos que $N_0(s)$ e $D_0(s)$ para qualquer $s=j\omega$ nem sempre apresentam os mesmos sinais. Esse é o caso que se apresenta na prática para ordem superior a 2.

$$\text{Como } \operatorname{Re}[Y] \geq 0 \quad \forall \omega$$

$$\text{logo } |S_d| \leq |S_e| \quad \forall \omega \quad (2.2.9)$$

Em outras palavras, não podemos afirmar, no caso de circuitos com ordem igual ou superior a 3, qual dos circuitos é melhor, em termos de sensibilidade, em todo o espectro de frequência.

Ilustraremos com alguns exemplos, traçando a curva de sensibilidade X frequencia.

Exemplo 3

Traçar as curvas de sensibilidade x frequência com a colocação de todos os zeros de $p(s)$ no S.P.E (caso e) e no S.P.D (caso d) dos filtros

A) Filtro Chebyshev de 3º ordem, $R_2=2R_1$, ripple=0,7 dB

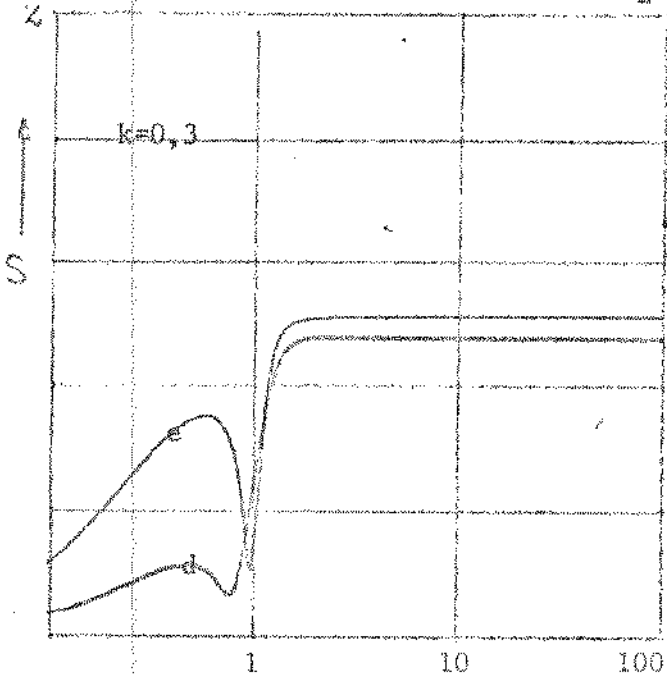


figura 19a

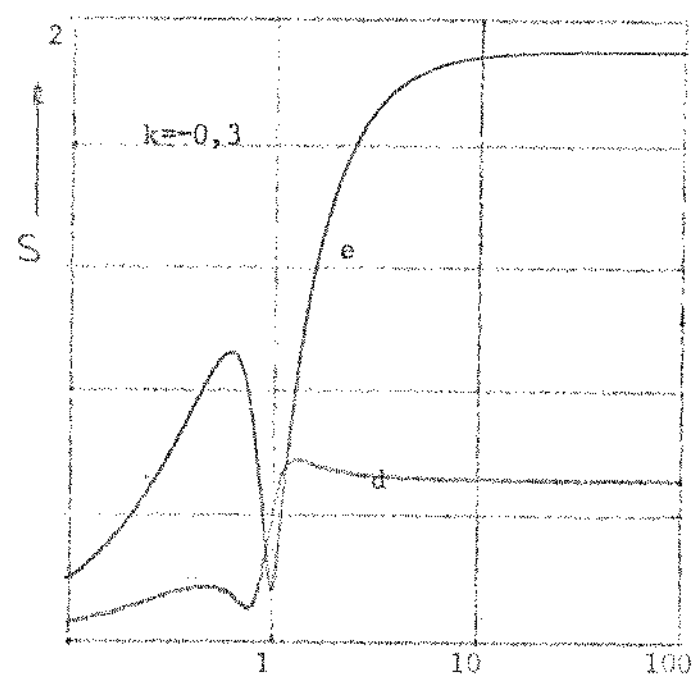


figura 19b

B) Filtro Chebyshev de 3º ordem, $R_2=2R_1$, ripple= 1,5 dB

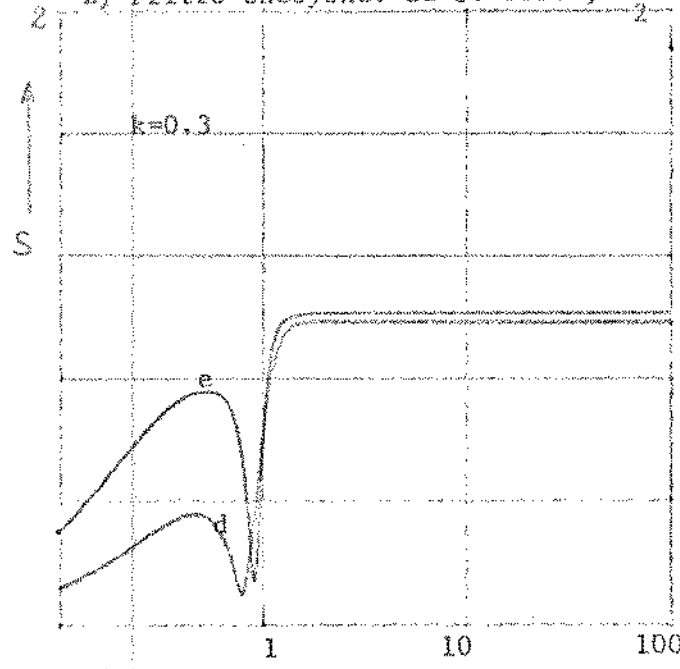


figura 19c

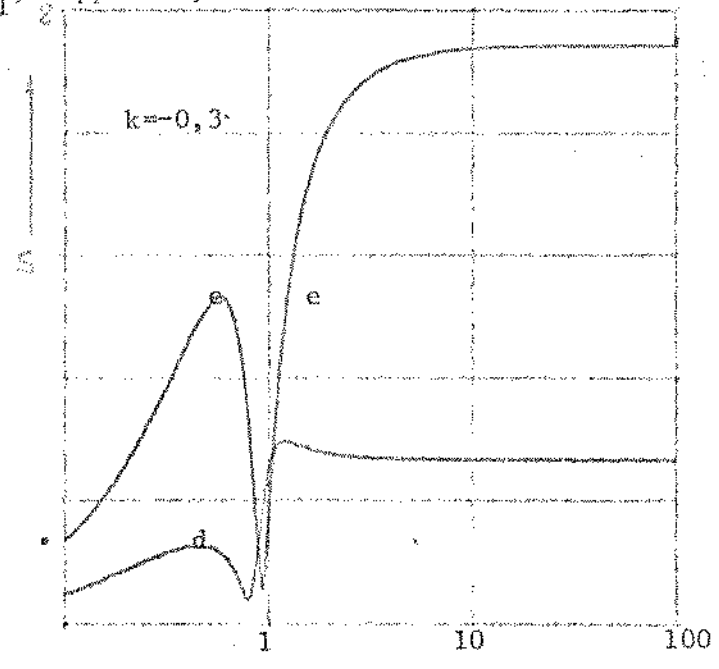


figura 19d

C) Filtro de fase linear de 3º ordem, $R_2=2R_1$

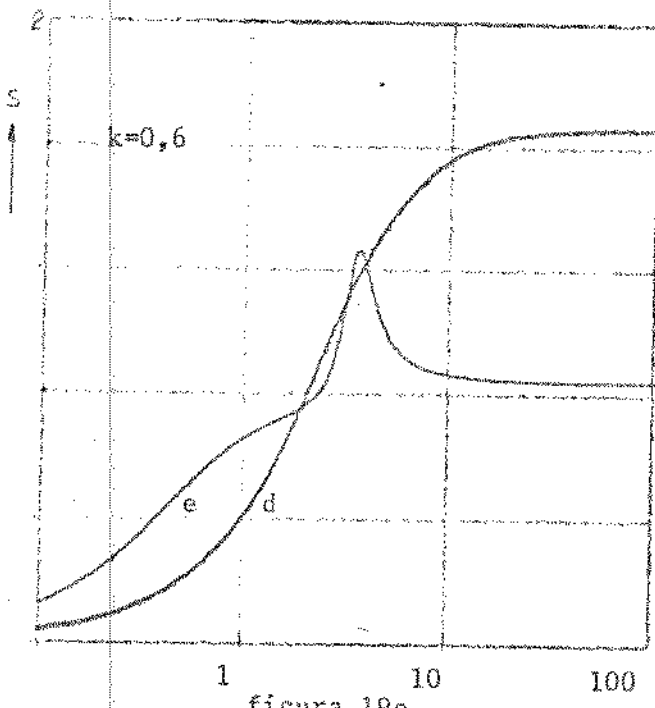


figura 19e

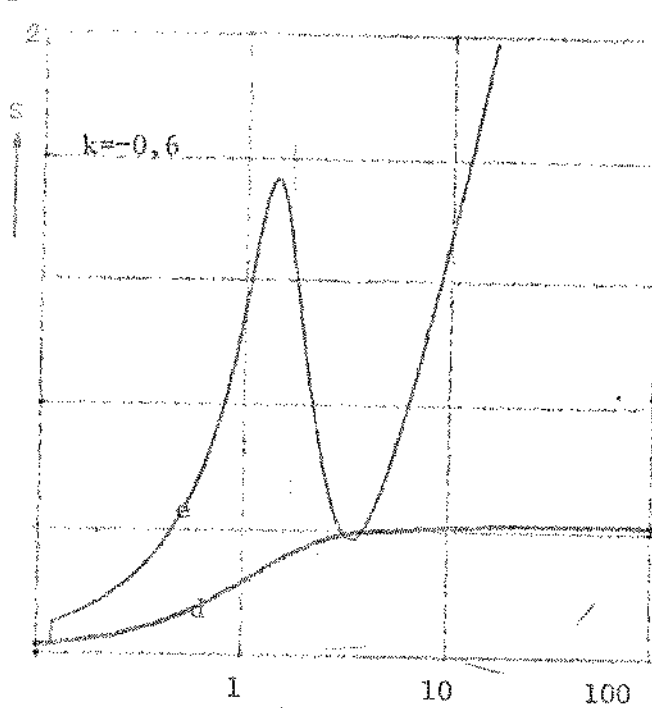


figura 19f

D) Filtro optimum de 3º ordem, $R_2=2R_1$

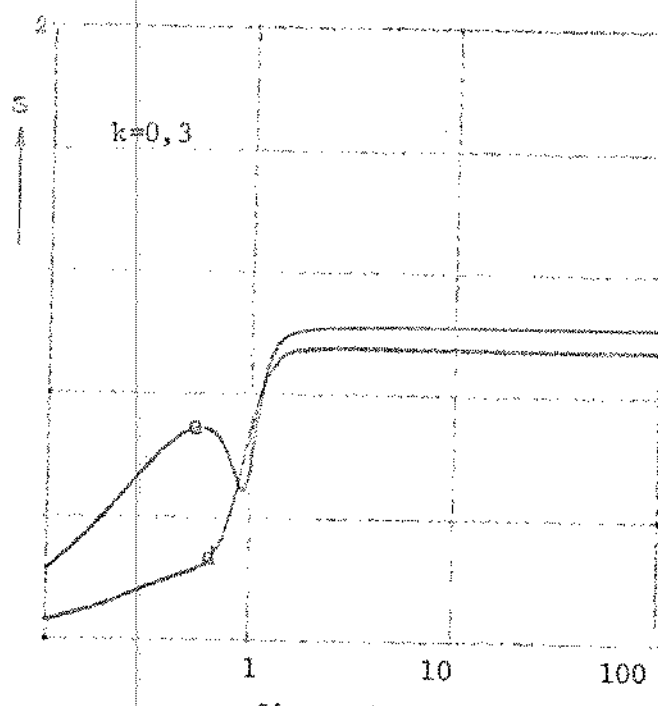


figura 19g

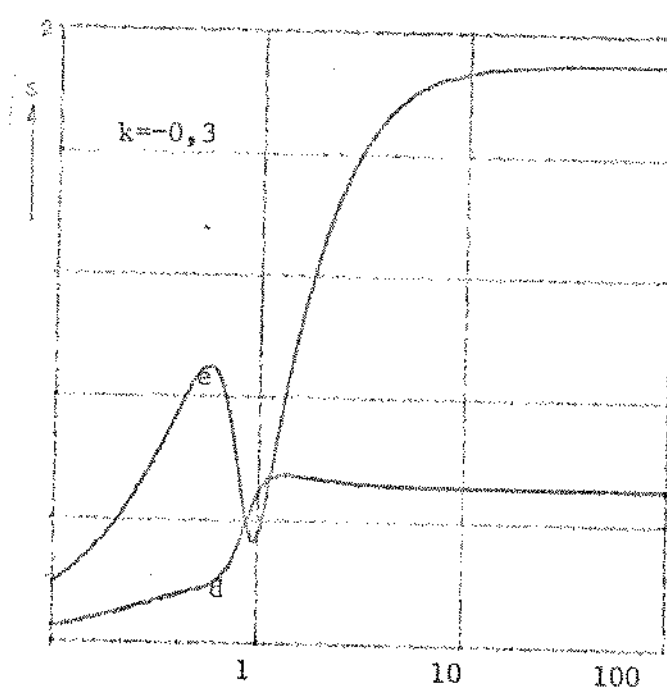


figura 19h

E) Filtro Butterworth de 4º ordem, $R_2 = 1,5 R_1$

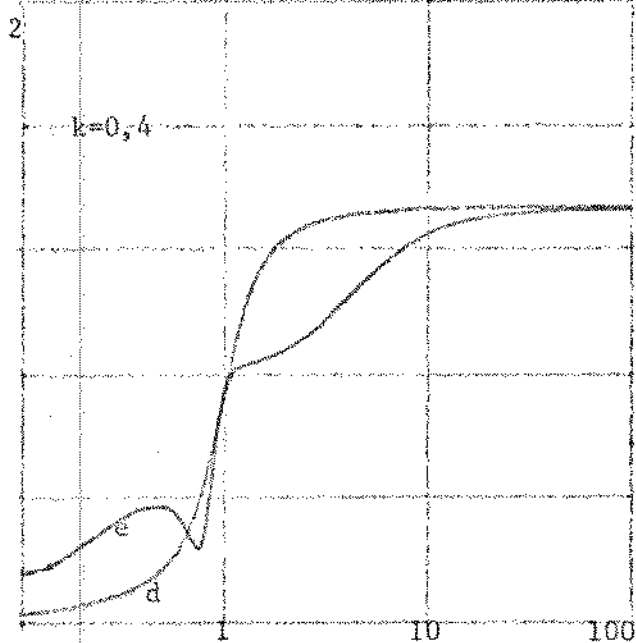


figura 19i

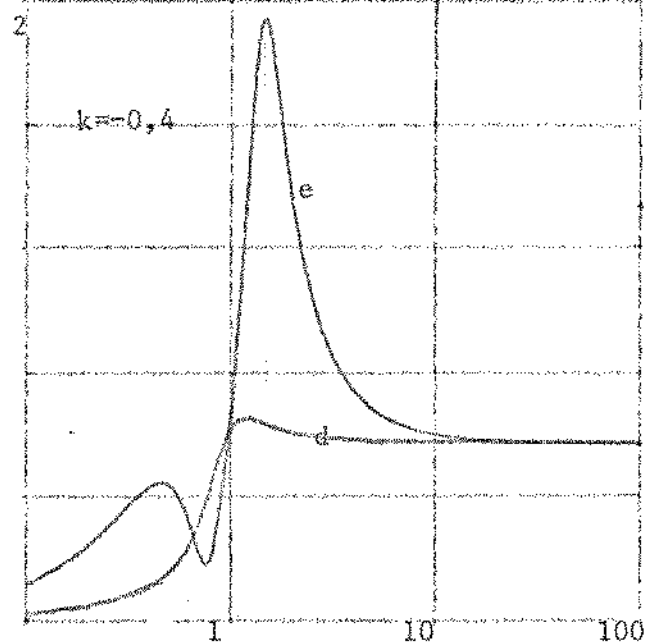


figura 19j

F) Filtro Butterworth de 4º ordem, $R_2 = 4R_1$

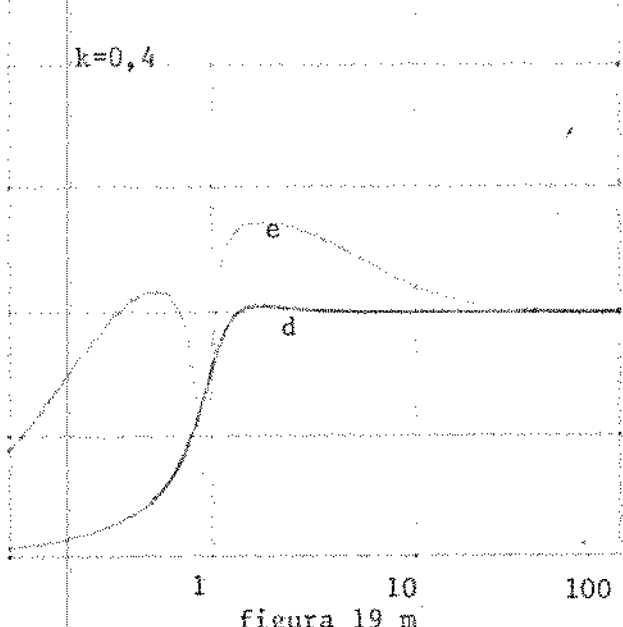


figura 19 m

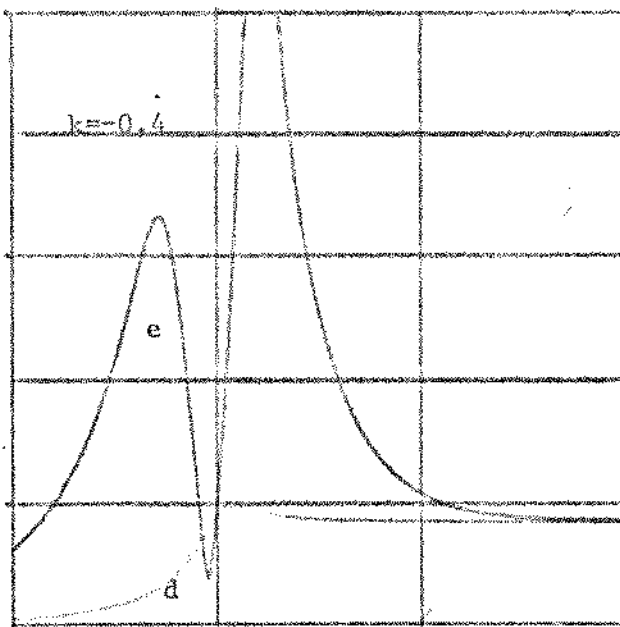


figura 19n

Podemos constatar nestes exemplos que a curva sensibilidade é função do tipo de filtro (Butterworth, chebyshev ou Optimum), da localização dos zeros de $\rho(s)$ (S.P.E. ou S.P.D.) e da relação R_2/R_1 (vide as figuras 19i a 19n). Uma alteração quantitativa na curva de resposta em frequencia (por exemplo, ripple), acarreta alteração embora não acentuada, na curva de sensibilidade (vide figura 19a a 19d)

2.3 - UM CRITÉRIO NO ESTUDO DA SENSIBILIDADE - PARTE REAL DE $\rho(s)$

Da expressão (2.2.1)

$$|S_e(s)| = \left| \frac{\rho_0 - \rho_d(s)}{1 + k\rho_d(s)} \right| \quad (2.3.1)$$

e

$$|S_d(s)| = \left| \frac{\rho_0 - \rho_e(s)}{1 + k\rho_e(s)} \right| \quad (2.3.2)$$

onde $\rho_d(s)$ e $\rho_e(s)$ são definidas pelo (2.2.2) e (2.2.4)

Reescrevendo (2.3.1) e (2.3.2) em termos de módulo, obtemos:

$$|S_e(j\omega)|^2 = \frac{\rho_0^2 + |\rho|^2 - 2\rho_0 \cdot \operatorname{Re} \rho_d}{1 + k^2|\rho|^2 + 2k \cdot \operatorname{Re} \rho_d} \quad (2.3.3)$$

e

$$|S_d(j\omega)|^2 = \frac{\rho_0^2 + |\rho|^2 - 2\rho_0 \cdot \operatorname{Re} \rho_e}{1 + k^2|\rho|^2 + 2k \cdot \operatorname{Re} \rho_e} \quad (2.3.4)$$

Comparando (2.3.3) com (2.3.4) temos

$$|S_e(j\omega)| > |S_d(j\omega)|$$

se e somente se

$$(2Bk + 2\rho_0 C)Re\rho_e > (2Bk + 2\rho_0 C)Re\rho_d \quad (2.3.5)$$

onde

$$\begin{aligned} B &= \rho_0^2 + |\rho|^2 \\ C &= 1 + k^2 |\rho|^2 \end{aligned} \quad (2.3.6)$$

E evidente que para

a. $(2Bk + 2\rho_0 C) > 0$, a condição (2.3.5) torna-se

$$|S_e(j\omega)| > |S_d(j\omega)| \text{ se e somente se } Re\rho_e > Re\rho_d \quad (2.3.7)$$

b. $(2Bk + 2\rho_0 C) < 0$, a condição (2.3.5) fica sendo

$$|S_e(j\omega)| > |S_d(j\omega)| \text{ se e somente se } Re\rho_e < Re\rho_d \quad (2.3.8)$$

Consideremos os diferentes casos,

1. $R_2 > R_1$ (portanto $\rho_0 < 0$)

A condição necessária e suficiente para $|S_e(j\omega)| > |S_d(j\omega)|$ é

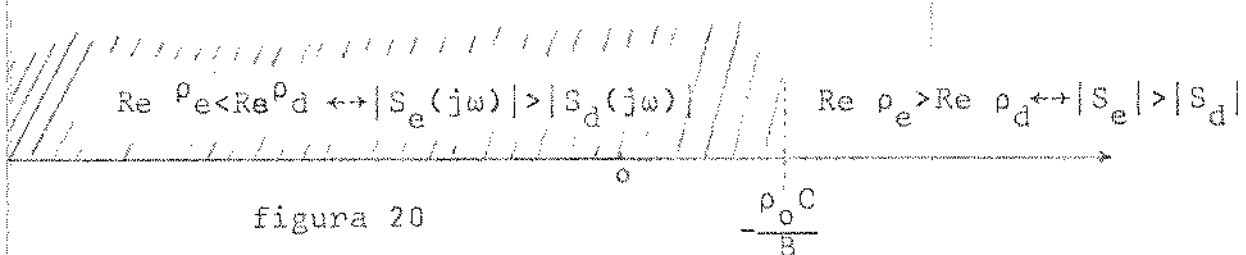
$$\text{I. para } k < - \frac{\rho_0 C}{B}$$

$$Re\rho_e < Re\rho_d$$

$$\text{II. para } k > - \frac{\rho_0 C}{B}$$

$$\operatorname{Re} \rho_e > \operatorname{Re} \rho_d$$

Podemos resumir a condição (2.3.5), no caso $R_2 > R_1$ com a ajuda da figura 20 para os diferentes valores de k



$$2. R_2 < R_1 \text{ (portanto } \rho_0 > 0)$$

A condição necessária e suficiente para $|S_e(j\omega)| > |S_d(j\omega)|$ é

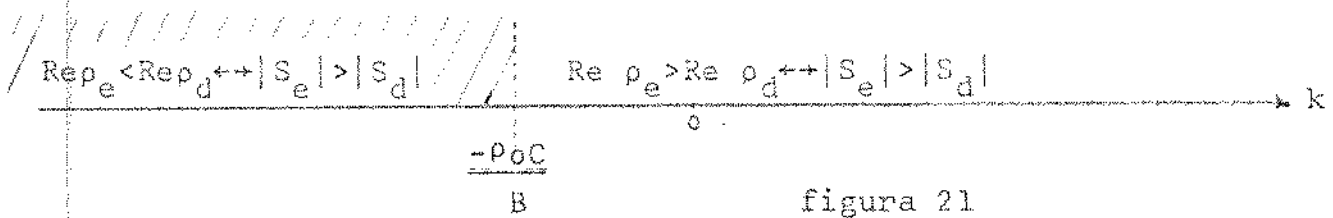
$$\text{III. para } k > -\frac{\rho_0 C}{B}$$

$$\operatorname{Re} \rho_e > \operatorname{Re} \rho_d$$

$$\text{IV. para } k < -\frac{\rho_0 C}{B}$$

$$\operatorname{Re} \rho_e < \operatorname{Re} \rho_d$$

E a condição (2.3.5) para $R_2 > R_1$, pode ser resumida com a ajuda da figura 21, para os diferentes valores de k .



Exemplo 4

Vimos pela equação (2.3.6) que $-\frac{\rho_0 C}{B}$ é função dos parâmetros ρ_0 , $|\rho|^2$ e k . Se limitarmos como a faixa de interesse ape-

nas a faixa de passagem, então $|\rho|^2 \leq |\rho_c|^2$, onde ρ_c é o coeficiente de reflexão na frequência de corte, portanto, $\rho_c^2 = \frac{1+\rho_0^2}{2}$ e o $\min\left(\frac{-\rho_0 C}{B}\right)$ fica sendo função apenas dos ρ_0 e k . Podemos construir então, um plano de parâmetros ρ_0 e k que satisfaz a equação $-\frac{\rho_0 C}{B} = k$. (figura 22)

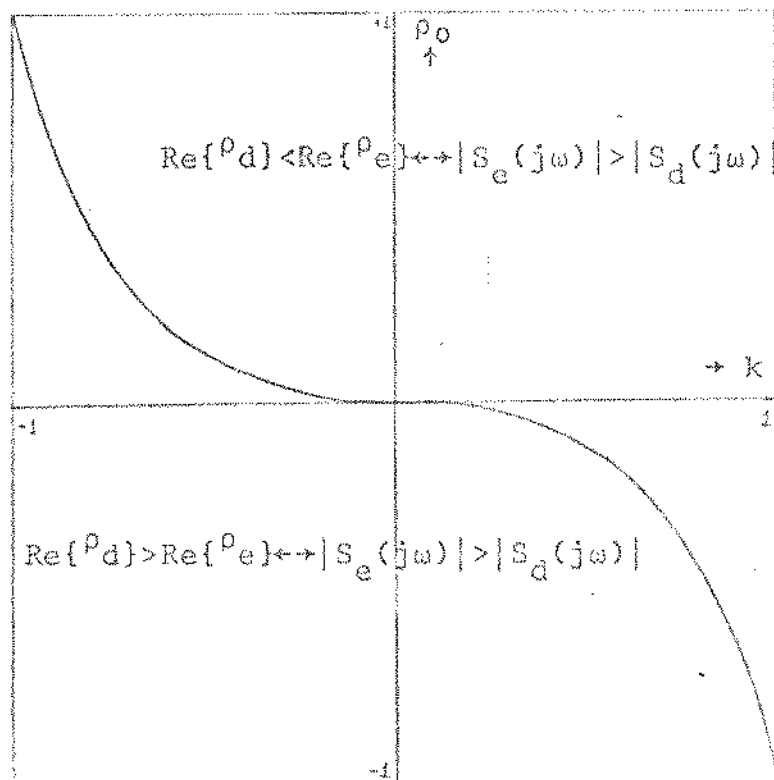


figura 22

Dado ρ_0 e a faixa de variação do k , com o auxílio da figura 22, podemos concluir um critério a ser adotado na faixa de passagem, baseado na parte real de $\rho(s)$.

Exemplo 5

Dadas as curvas das partes $\operatorname{Re} \rho_e$ e $\operatorname{Re} \rho_d$ (figura 23), e sabendo que a resistência de carga possui uma tolerância de $\pm 50\%$, o que podemos concluir na escolha dos circuitos quanto a sensibilidade na faixa de passagem?

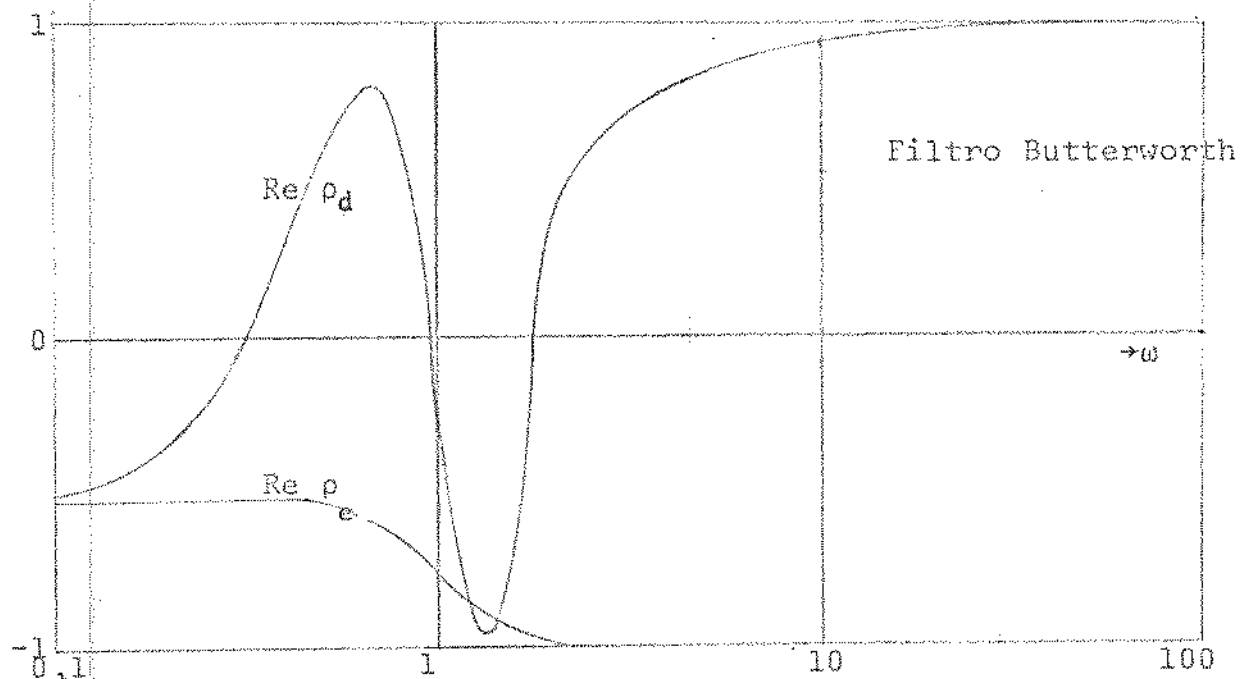


figura 23

A variação de 50% na carga implica $-0,2 \leq k \leq 0,2$, e $\rho_c < 0$, o critério, com o auxílio da figura 22, é $\operatorname{Re} \rho_d > \operatorname{Re} \rho_e$ que é satisfeita praticamente em toda a faixa, logo devemos colocar todos os zeros no S.P.D. porque possui menor sensibilidade.

2.4 - SENSIBILIDADE DOS POLOS

Vimos nos parágrafos anteriores que se

$$\rho(s) = \frac{N_e + N_o}{D_e + D_o}, \quad (2.4.1)$$

para $R \neq R_2$

$$T_a(s) = \frac{\frac{1}{2} \frac{\sqrt{R_2/R_1} N_{12} (1-k)}{D_e + D_o + k(N_e - N_o)}}{1 - \frac{\sqrt{R_2/R_1} N_{12} (1-k)}{D_e + D_o + k(N_e - N_o)}} \quad (2.4.2)$$

ou seja os polos da função $T_i(s)$ que eram os zeros de $D_e + D_o$ passam a ser os zeros de $1 + K \frac{N_e - N_o}{D_e + D_o}$

Vemos que o problema do movimento dos polos pode ser encarado como um problema de lugar geométrico das raízes (Root-locus) e pode ser representado pelo diagrama da Fig. 24.

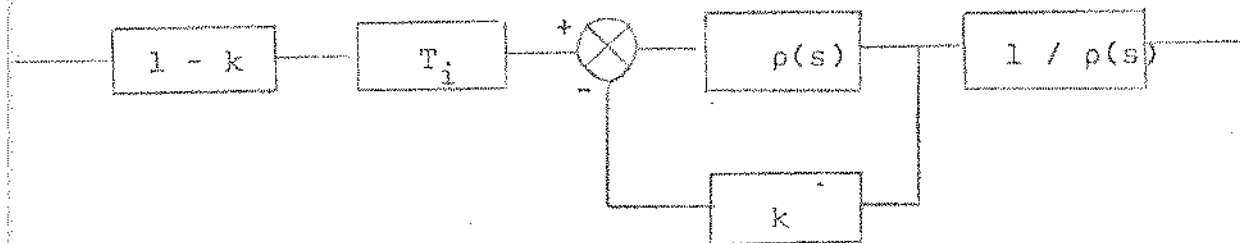


figura 24

Como $|\rho(j\omega)| < 1$ para qualquer ω , o sistema é estável para $|k| < 1$.

Vamos ilustrar o comportamento dos polos do sistema com alguns exemplos em "Root-locus".

Exemplo 6

Achar "Root-locus" do filtro optimum de 3º ordem colo-
cando todos os zeros de $p(s)$, ou no S.P.D., ou no S.P.E., para
seguintes relações de R_2/R_1 :

- a. $R_2 = 1,5 R_1$ (figura 25 e 26)
- b. $R_2 = 2 R_1$ (figura 27 e 28)
- c. $R_2 = 4 R_1$ (figura 29 e 30)

Observamos nessas figuras que o movimento dos polos é
acentuado quando todos os zeros estiverem no S.P.E.. Observamos
também que os polos movimentem-se pouco, quando todos os zeros
de $p(s)$ estiverem no S.P.D.. Esse efeito é mais acentuado a medi-
da que aumentarmos a relação R_2/R_1 .

Definimos a sensibilidade dos polos como

$$S_k^{si} = \frac{\partial s_i / s_i}{\partial k / k} \quad (2.4.3)$$

onde s_i é o polo da função

No nosso caso s_i é dado por uma equação implícita $F(s_i) = 0$. Parece-nos difícil examinar a sensitividade dos polos a não ser por métodos numéricos. Entretanto, para k pequeno, podemos provar que o deslocamento ou a sensibilidade dos polos é menor se colocarmos todos os zeros de $p(s)$ no semi-plano direito, co-
mo veremos a seguir.

Filtro optimum de 3º ordem - $R_2 = 1,5R_1$ - todos os zeros no S.P.D.



figura 25

Filtro optimum de 3º ordem - $R_2 = 1,5 R_1$ - todos os zeros no S.P.E.

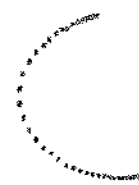
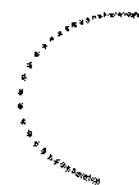


figura 26

Filtro Optimum de 3º ordem - $R_2 = 2R_1$ - Todos os zeros no S.P.D.

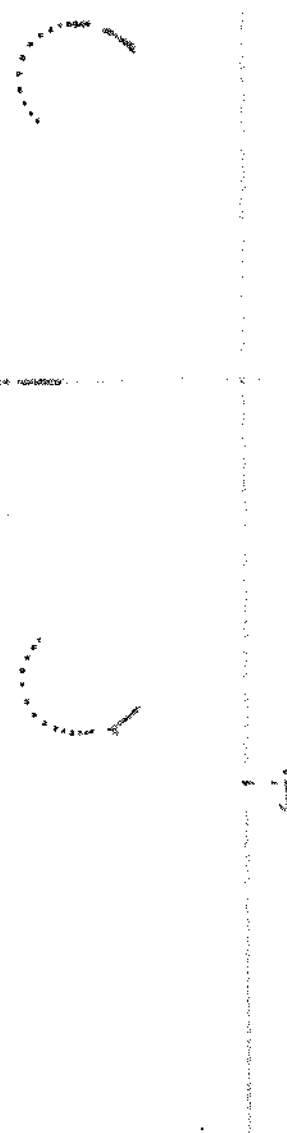


figura 27

Filtro Optimum de 3º orden - $R_2 = 2R_1$ - Todos os zeros no S.P.E.



figura 28

Filtro optimum de 3º ordem - $R_2 = 4R_1$ - Todos os zeros no S.P.D.

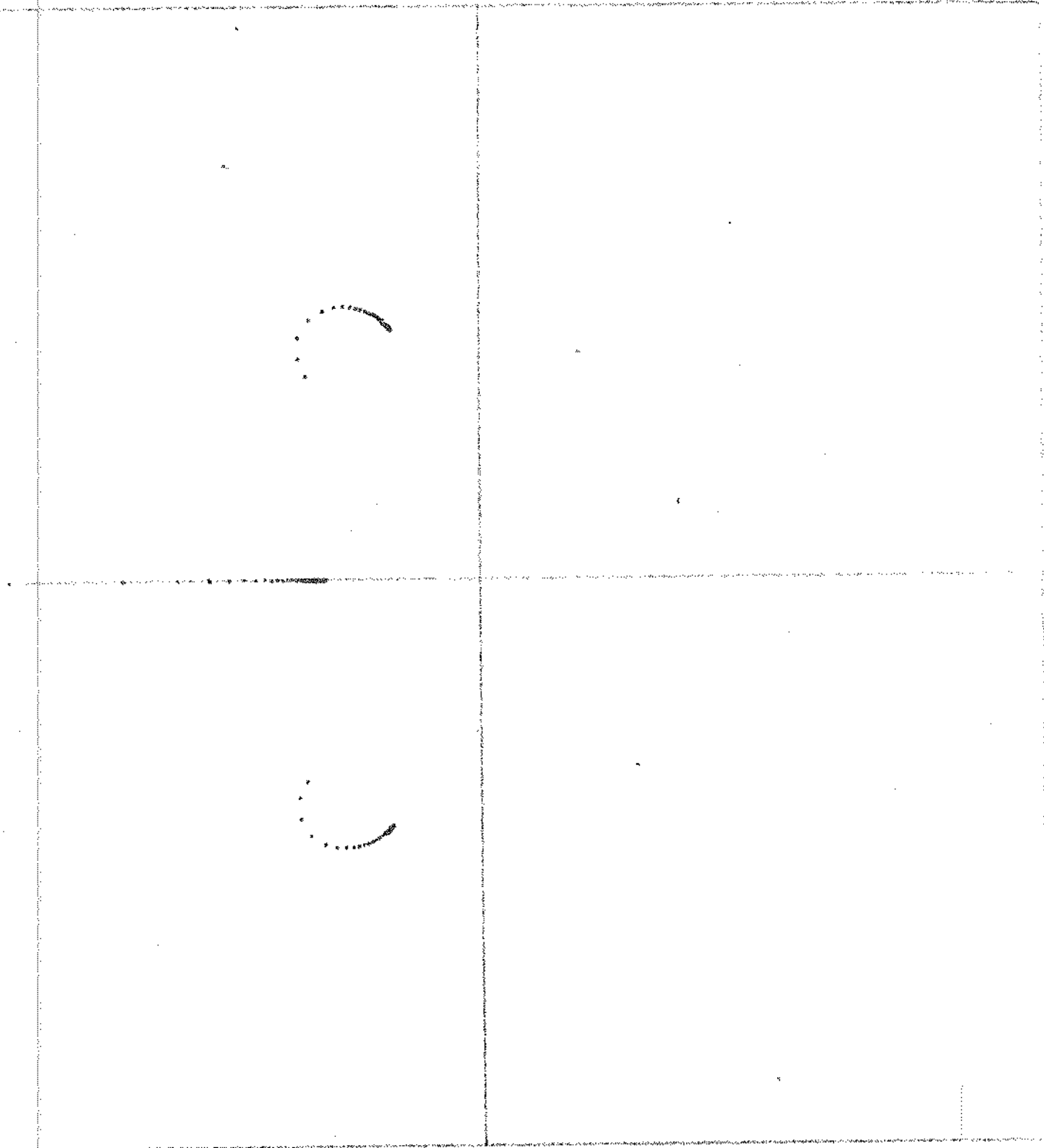


figura 29

Filtro optimum de 3º ordem - $R_2 = 4R_1$ - todos os zeros no S.P.E.



Figura 30

TEOREMA.

Dado um polinômio $P(s)$ cujos os zeros p_i estão todos no S.P.E. e dado um polinômio $Q(s) = N_e(s) + N_o(s)$ cujos os zeros q_i estão todos no S.P.E. e $N_e(s)$ e $N_o(s)$ são respectivamente as partes pares e ímpares do polinômio $Q(s)$, e sendo

$$\left| \frac{Q(s)}{P(s)} \right| \leq 1 \quad \forall \operatorname{Re} s \geq 0$$

então

$$|h_i^+ - p_i| \leq |h_i^- - p_i|$$

onde

h_i^+ são os zeros do polinômio $H^+(s) = P(s) + kQ(s)$

h_i^- são os zeros do polinômio $H^-(s) = P(s) + kQ'(s)$

$$Q'(s) = Q(-s) = N_e(s) - N_o(s)$$

e k é suficientemente pequeno

Prova:

$$\text{Se } \left| \frac{Q(s)}{P(s)} \right| \leq 1 \quad \forall \operatorname{Re} s \geq 0$$

temos

$$\left| \frac{Q'(s)}{P(s)} \right| \leq 1 \quad \forall \operatorname{Re} s \geq 0$$

portanto h_i^+ e h_i^- estão no S.P.E. pelo lema anterior.

$$P(p_i) = 0 \quad (2.4.4)$$

$$H(h_i^+) = P(h_i^+) + kQ(h_i^+) = 0 \quad (2.4.5)$$

portanto

$$P(h_i^+) = -kQ(h_i^+) \quad (2.4.6)$$

por outro lado, $P(h_i^+)$ pode ser desenvolvido em série de Laurent em torno de p_i .

$$\frac{1}{P(h_i^+)} = \frac{L_n}{(h_i^+ - p_i)^n} + \frac{L_{n-1}}{(h_i^+ - p_i)^{n-1}} + \dots \quad (2.4.7)$$

onde

$$L_n = \left. \frac{(s-p_i)^n}{P(s)} \right|_{s=p_i} \quad (2.4.8)$$

Como todos os p_i têm multiplicidade igual a 1 e sendo $k=0$, isto é h_i^+ está próximo de p_i , podemos escrever aproximadamente

$$\frac{1}{P(h_i^+)} \approx \frac{L_1}{(h_i^+ - p_i)} \quad (2.4.9)$$

onde

$$L_1 = \left. \frac{(s-p_i)}{P(s)} \right|_{s=p_i} \quad (2.4.10)$$

que é resíduo do $P(s)$ em $s=p_i$

$$|h_i^+ - p_i| \approx |L_1 \cdot P(h_i^+)| \quad (2.4.11)$$

substituindo (2.4.6) em (2.4.11)

$$|h_i^+ - p_i| \approx |L_1 \cdot kQ(h_i^+)| \quad (2.4.12)$$

analogamente faremos o mesmo para \tilde{h}_i^-

$$P(\tilde{h}_i^-) = P(\tilde{h}_i^-) + kQ'(\tilde{h}_i^-) \quad (2.4.13)$$

$$P(\tilde{h}_i^-) = -kQ'(\tilde{h}_i^-) \quad (2.4.14)$$

para $k=0$, \tilde{h}_i^- próximo de p_i

$$\frac{1}{P(h_i^+)} = \frac{L_1}{(h_i^+ - p_i)} \quad (2.4.15)$$

onde

$$L_1 = \left. \frac{s - p_i}{P(s)} \right|_{s=p_i} \quad (2.4.16)$$

substituindo (2.4.14) em (2.4.15) temos

$$|h_i^+ - p_i| = |L_1 \cdot k Q'(h_i^+)| \quad (2.4.17)$$

Examinando a expressão de $Q(s)$ e $Q'(s)$

$$Q(h_i^+) = \prod_{i=1}^n (h_i^+ - q_i) \quad (2.4.18)$$

onde q_i são os zeros de $Q(s)$, logo os zeros de $Q'(s)$ são $-q_i$

$$Q'(h_i^+) = \prod_{i=1}^n (h_i^+ + q_i) \quad (2.4.19)$$

como os polinômios são de coeficientes reais, logo as raízes são complexas conjugadas, e é possível escrever,

$$q_i = -a_i - jb_i \quad (2.4.20)$$

$$h_i^+ = -c -jd \quad (2.4.20)$$

$$h_i^+ = -p - jq$$

onde a, b, c, d, p, q são não negativos.

$$h_i^+ - q_i = (a_i - c) + j(b_i - d) \quad (2.4.21)$$

$$h_i^+ + q_i = (-a_i - p) + j(-b_i - q) \quad (2.4.22)$$

temos então

$$|h_i^+ - q_i| = \sqrt{(a_i - c)^2 + (b_i - d)^2} \quad (2.4.23)$$

$$|h_i^- + q_i| = \sqrt{(a_i + p)^2 + (b_i + q)^2} \quad (2.4.24)$$

como c, d, p, q são não negativos e não são todos nulos, logo

$$|h_i^+ - q_i| < |h_i^- + q_i| \quad (2.4.25)$$

como podemos aplicar a qualquer zero q_i , a desigualdade também é válida para produto,

$$\prod_{i=1}^n |h_i^+ - q_i| < \prod_{i=1}^n |h_i^- + q_i| \quad (2.4.26)$$

ou seja

$$|Q(h_i^+)| < |Q(h_i^-)| \quad (2.4.27)$$

substituindo (2.4.27) em (2.4.12) e (2.4.17) temos

$$|h_i^+ - p_i| < |h_i^- - p_i| \quad (2.4.28)$$

c.q.d.

Com o auxílio desse teorema, provamos que o deslocamento dos polos quando todos os zeros de (s) estão no S.P.D. é menor do que quando todos os zeros de (s) estão no S.P.E., para k suficientemente pequeno.

2.5 - INTEGRAL DA FUNÇÃO SENSIBILIDADE

Vimos nos parágrafos anteriores que, em geral, as curvas de sensibilidade das redes com zeros no S.P.E. e com zeros no S.P.D. se cruzam, portanto não existe um critério em termos absolutos, isto é, um critério baseado na função sensibilidade em que um circuito é melhor que outro em toda a faixa de frequência. Entretanto

podemos comparar as integrais das sensibilidades que são, no fundo, integrais dos erros quadráticos. Vamos denominar essas integrais de momento de sensibilidade.

Seja

$$M_s = \frac{1}{2\pi j} \int_{-j\infty}^{j\infty} S(s)S(-s)p(s)p(-s)ds \quad (2.5.1)$$

onde $S(s)$ é a função sensibilidade
e $p(s)$ é a função peso dado à sensibilidade.

Em geral definimos como a função peso a própria função de transferência. No nosso caso

$$p(s) = T_i(s) = \frac{m}{D_e(s) + D_o(s)} \quad (2.5.2)$$

Introduzindo (2.2.3) e (2.5.2) em (2.5.1) temos

$$M_s = \frac{1}{2\pi j} \int_{-j\infty}^{j\infty} \frac{\left(\rho_0^2 + \frac{N_e^2 - N_o^2}{D_e^2 - D_o^2} - 2\rho_0 \frac{N_e D_e + N_o D_o}{D_e^2 - D_o^2} \right) m^2}{D_e^2 - D_o^2 + k^2 \{N_e^2 - N_o^2\} + 2k(N_e D_e + N_o D_o)} ds \quad (2.5.3)$$

A expressão (2.5.3) não permite uma solução analítica simples, baseada apenas na localização dos zeros de $p(s)$; no entanto, da análise dos resultados obtidos em vários exemplos, leva-nos a crer que pelo menos em certos casos, a escolha dos zeros de $p(s)$ no S.P.D. resulta em menor momento de sensibilidade.

Exemplo 7.

Nos filtros Butterworth, o coeficiente de reflexão pode ser representado formalmente como

$$\rho(s, R) = \frac{H(s, R)}{G(s)}$$

onde $R = \sqrt[2n]{1 - \frac{4R_1 R_2}{(R_1 + R_2)^2}}$ é uma função da relação R_1/R_2

$$G(s) = \prod_{k=1}^n \left| s - j e^{\frac{j(2k-1)\pi}{n}} \right|$$

e

$$H(s, R) = (-1)^P \cdot \prod_{k=1}^n \left| s - j R e^{\frac{j(2k-1)\pi}{n}} \right|$$

onde P é dado pelo critério de sinal (apêndice I)

Aplicando a formula (2.51) e (2.5.2), fixando k e variando R obtivemos as curvas M_s versus R , que são mostradas nas figuras 31 e 32.

Butterworth de 4º ordem

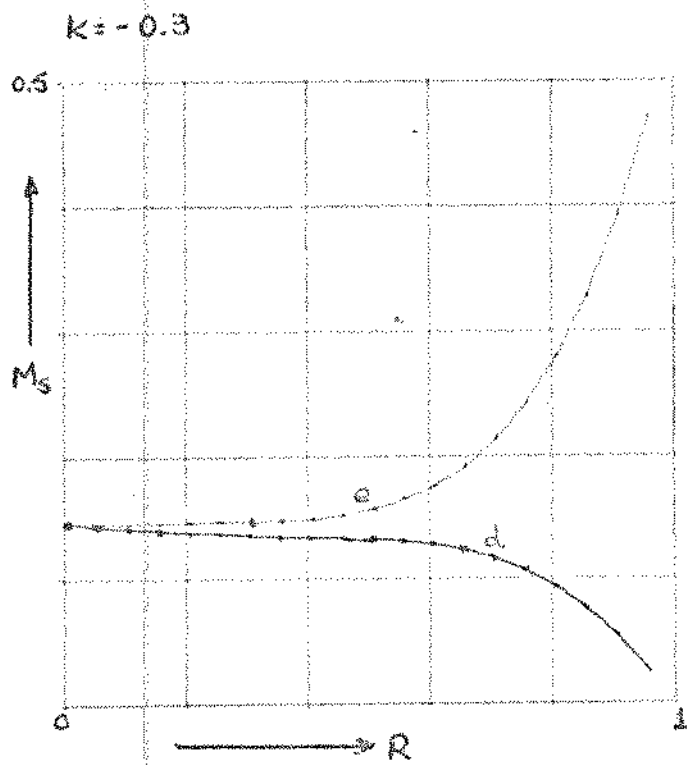


fig.3la

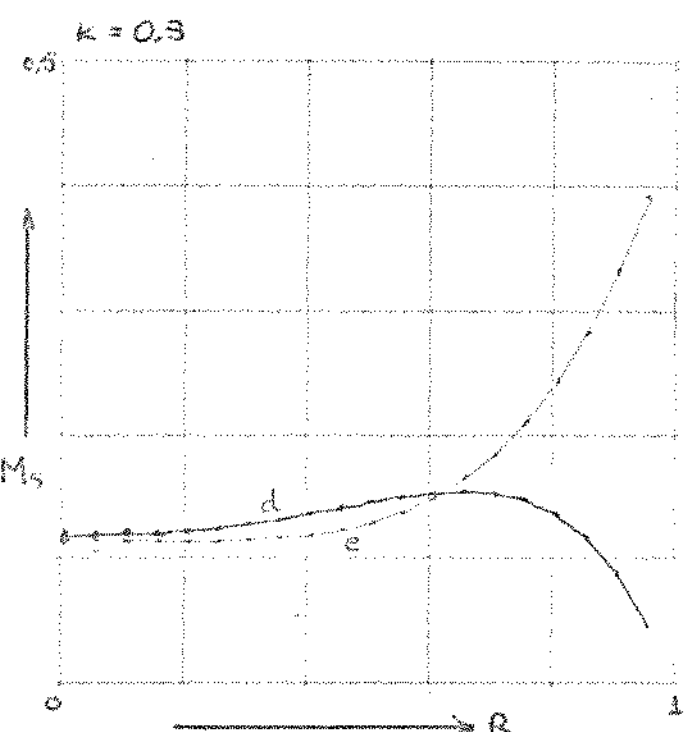


fig.3lb

Butterworth de 4º ordem

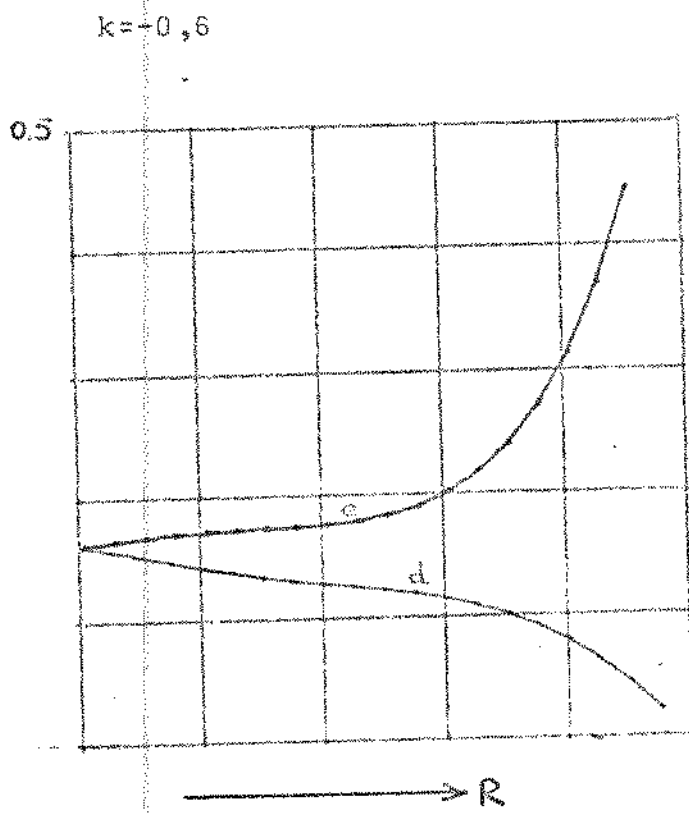


fig.3lc

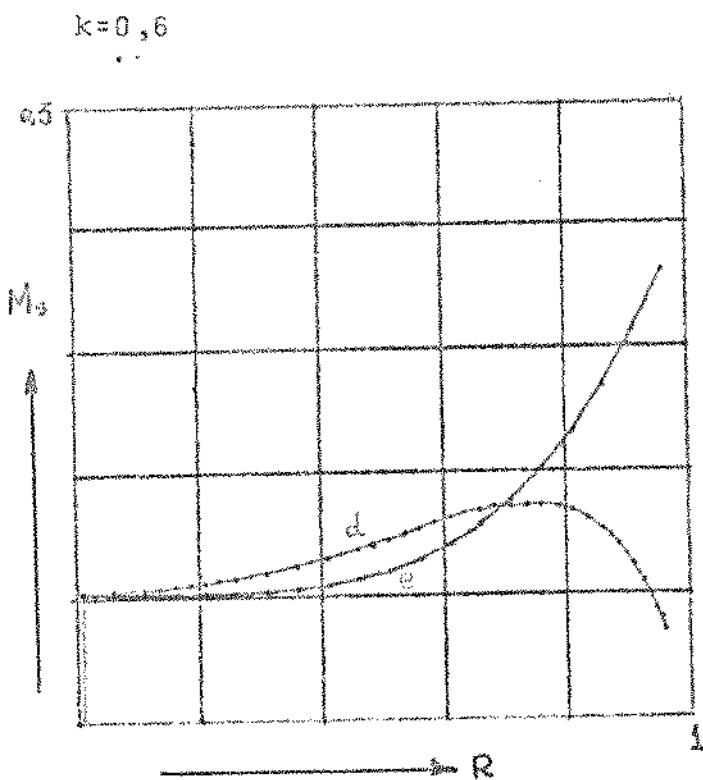


fig.3ld

Butterworth de 4º ordem

$k = -0,9$

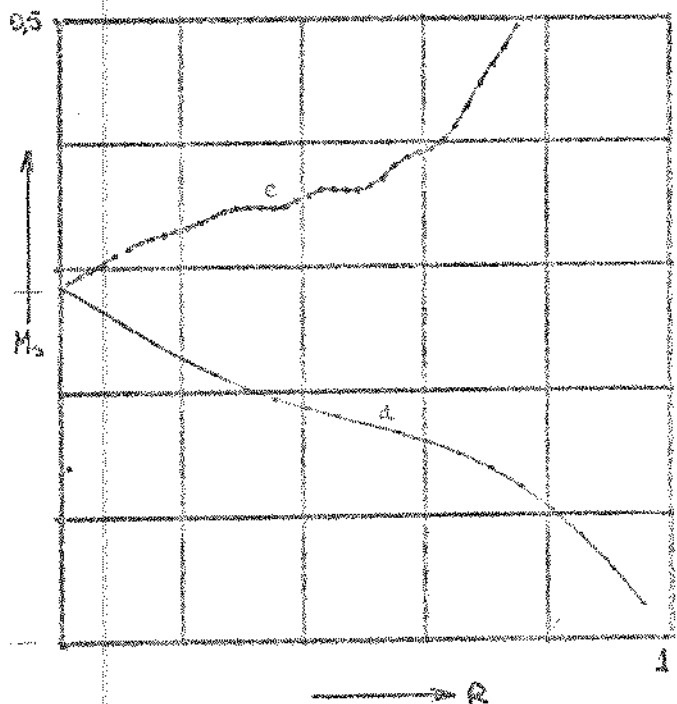


fig.31e

$k = 0,9$

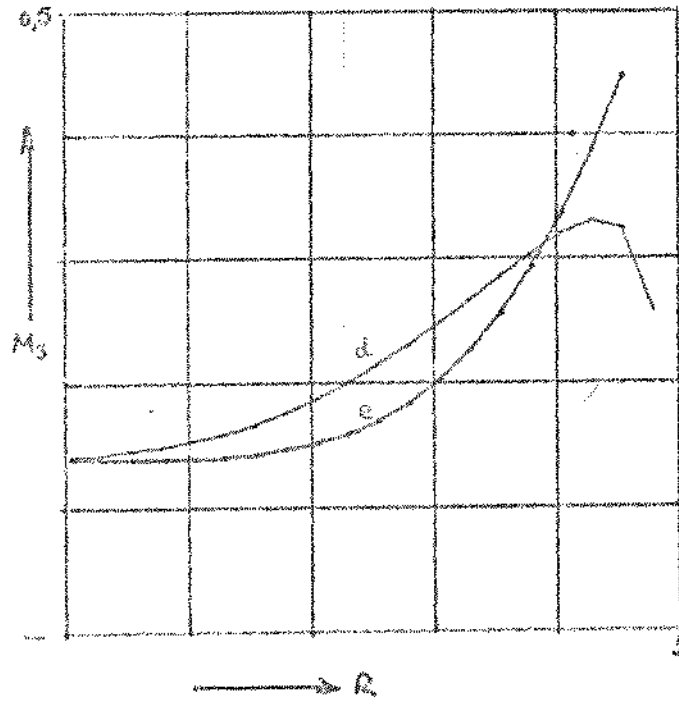


fig.31f

Butterworth de 5º ordem

$k = -0,3$

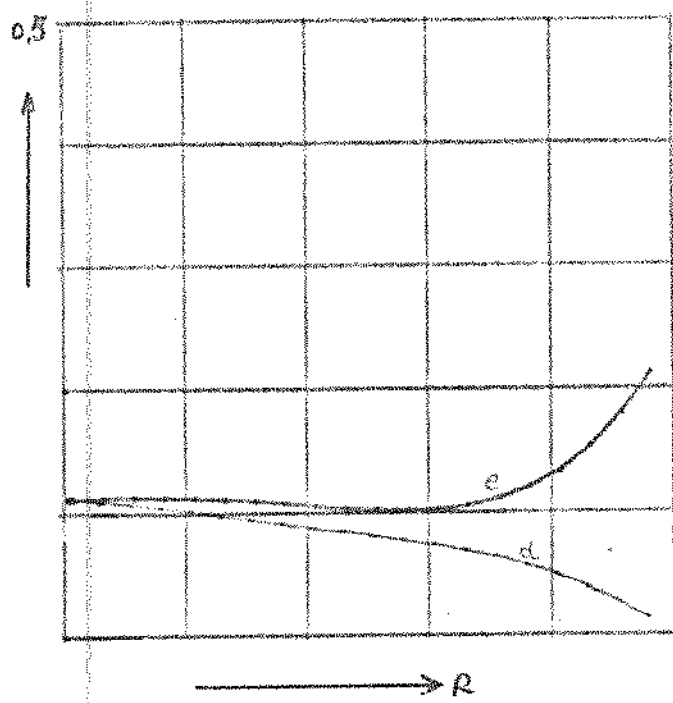


fig.32a

$k = 0,3$

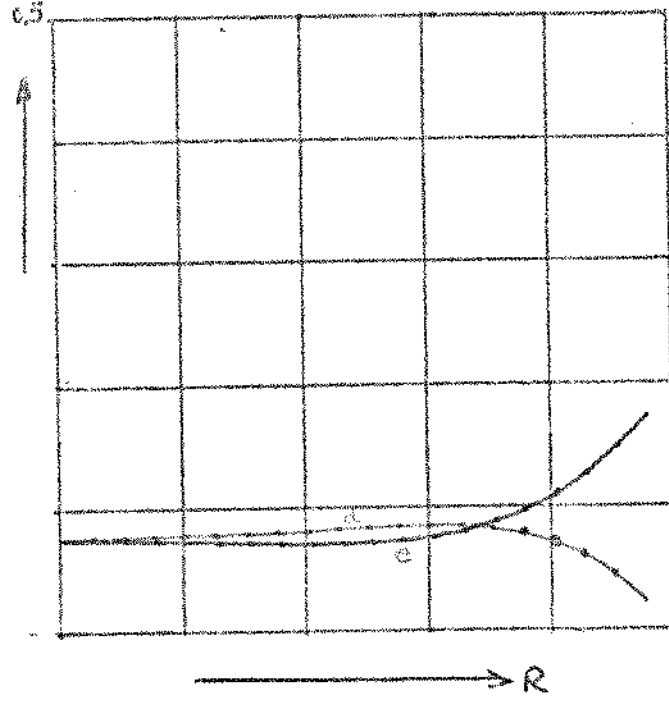
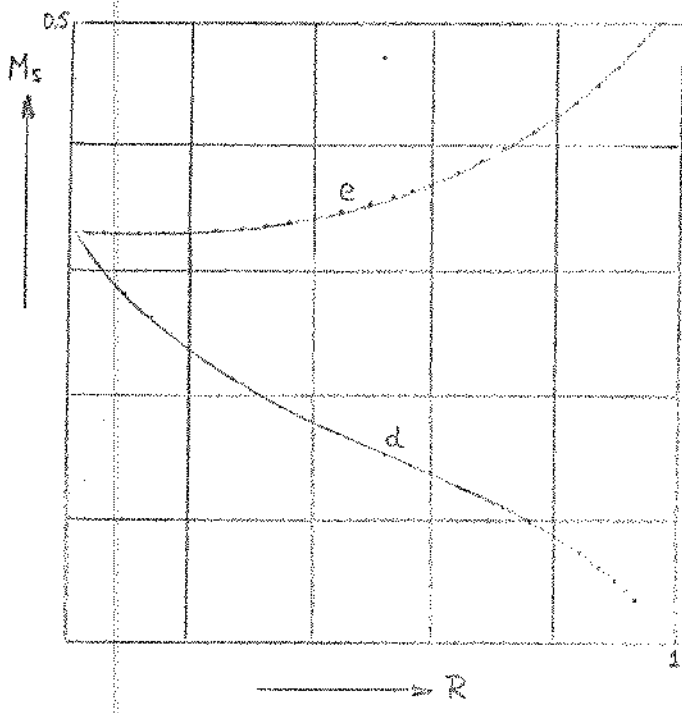


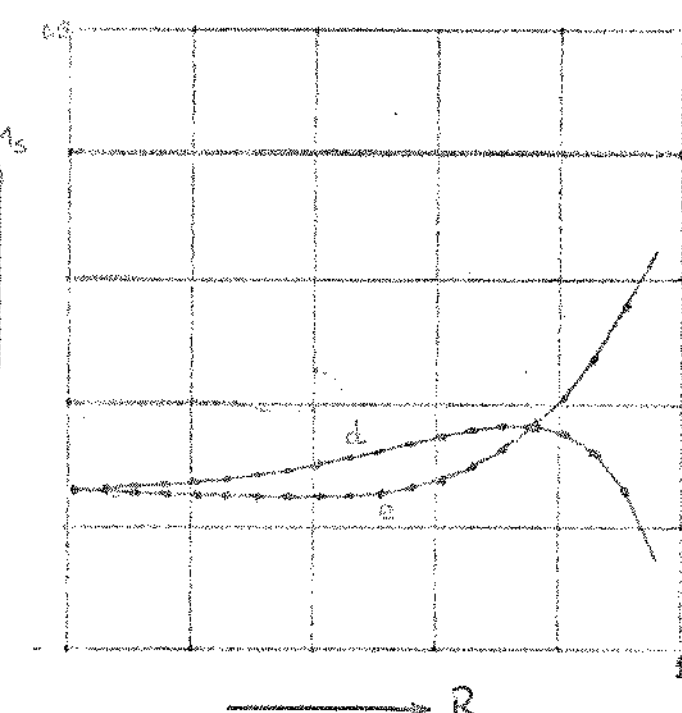
fig.32b

Butterworth de 5º ordem

$k = -0,6$

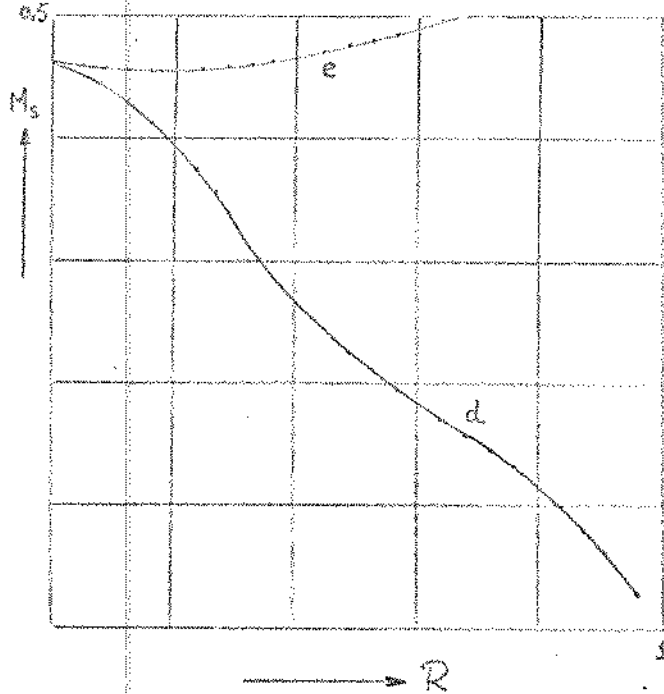


$k = 0,6$



Butterworth de 5º ordem

$k = -0,9$



$K = 0,9$

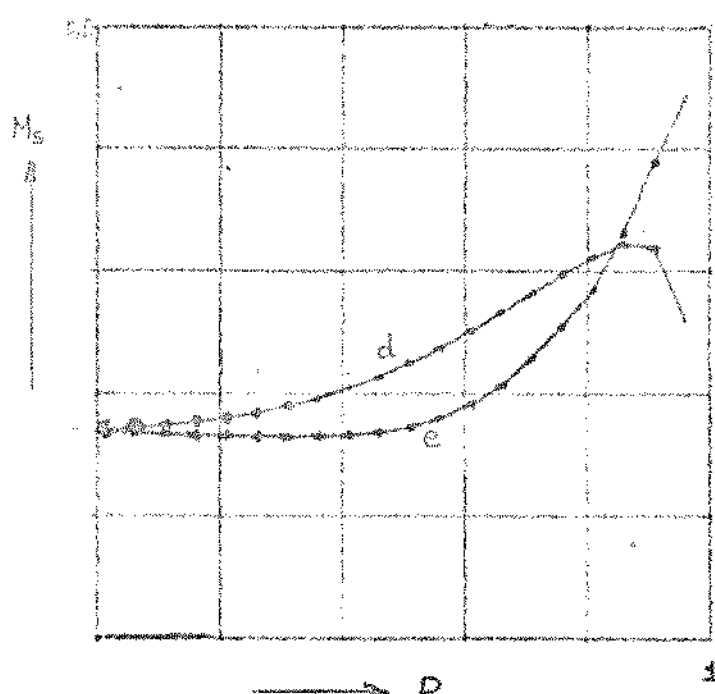


figura 32e

figura 32f

Exemplo 8.

Vamos fixar agora a relação R_2/R_1 , que é dada no projeto e calcularemos o momento da sensibilidade em função do parâmetro k.

Os casos analisados são:

a.1. Filtro Butterworth de 3ª ordem, $R_2 = 1,5R_1$.

a.2 Filtro Butterworth de 3ª ordem, $R_2 = 2 R_1$

a.3. Filtro Butterworth de 3ª ordem, $R_2 = 3 R_1$

b.1. Filtro Chebyshev de 3ª ordem, ripple=0,7dB, $R_2 = 2R_1$

b.2. Filtro Chebyshev de 3ª ordem, ripple=1,5dB, $R_2 = 2R_1$

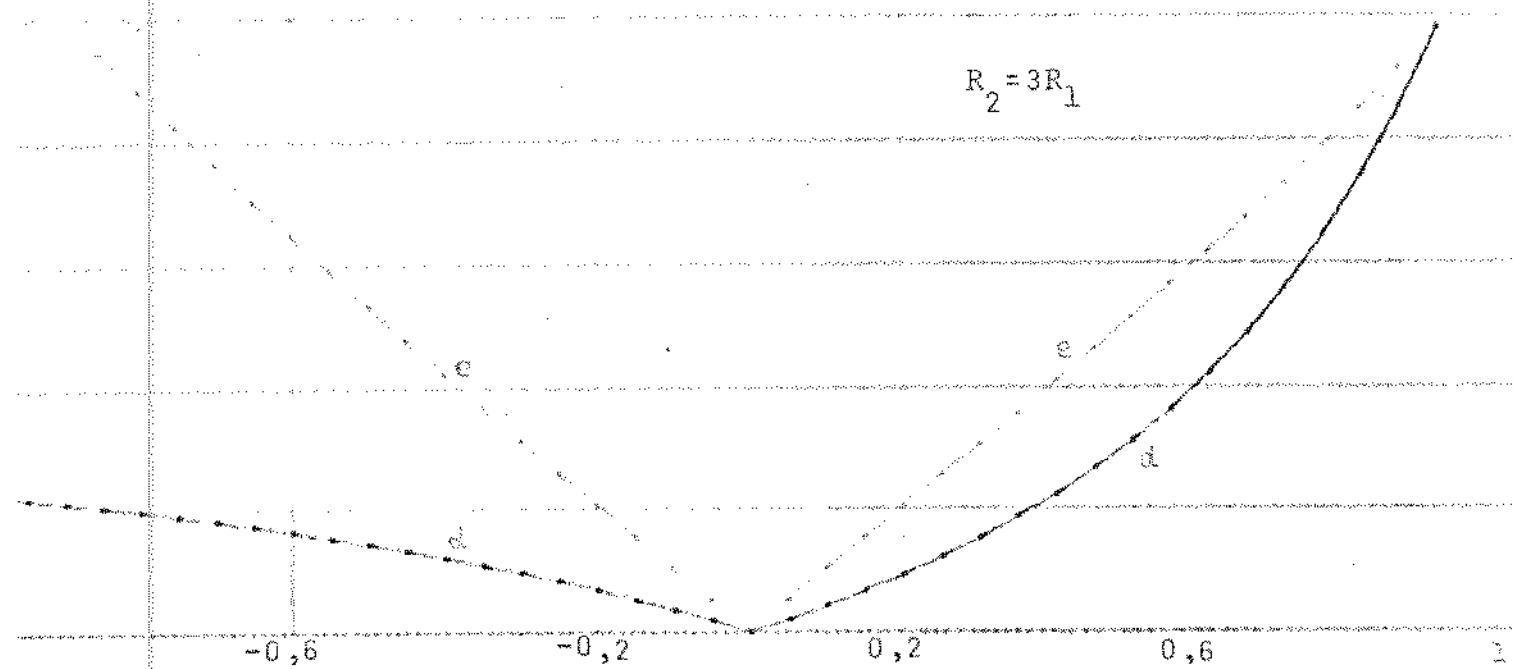
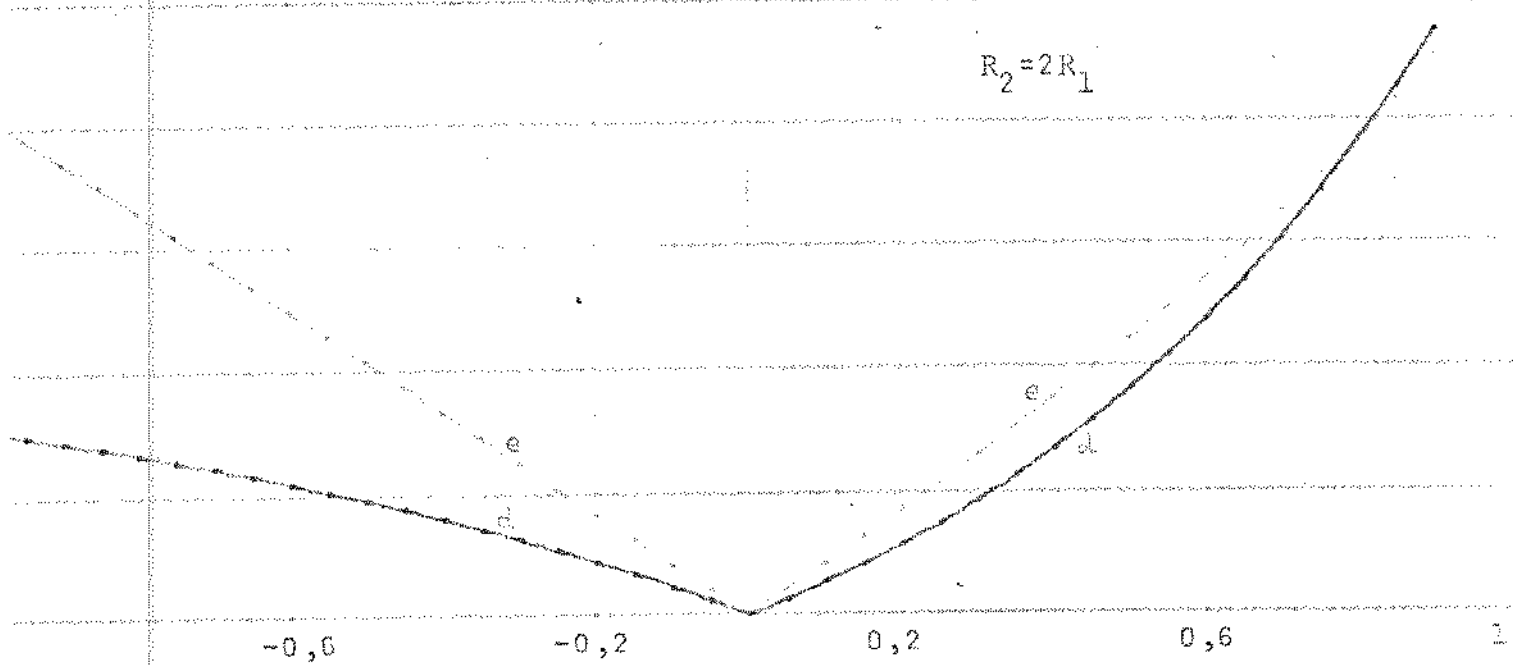
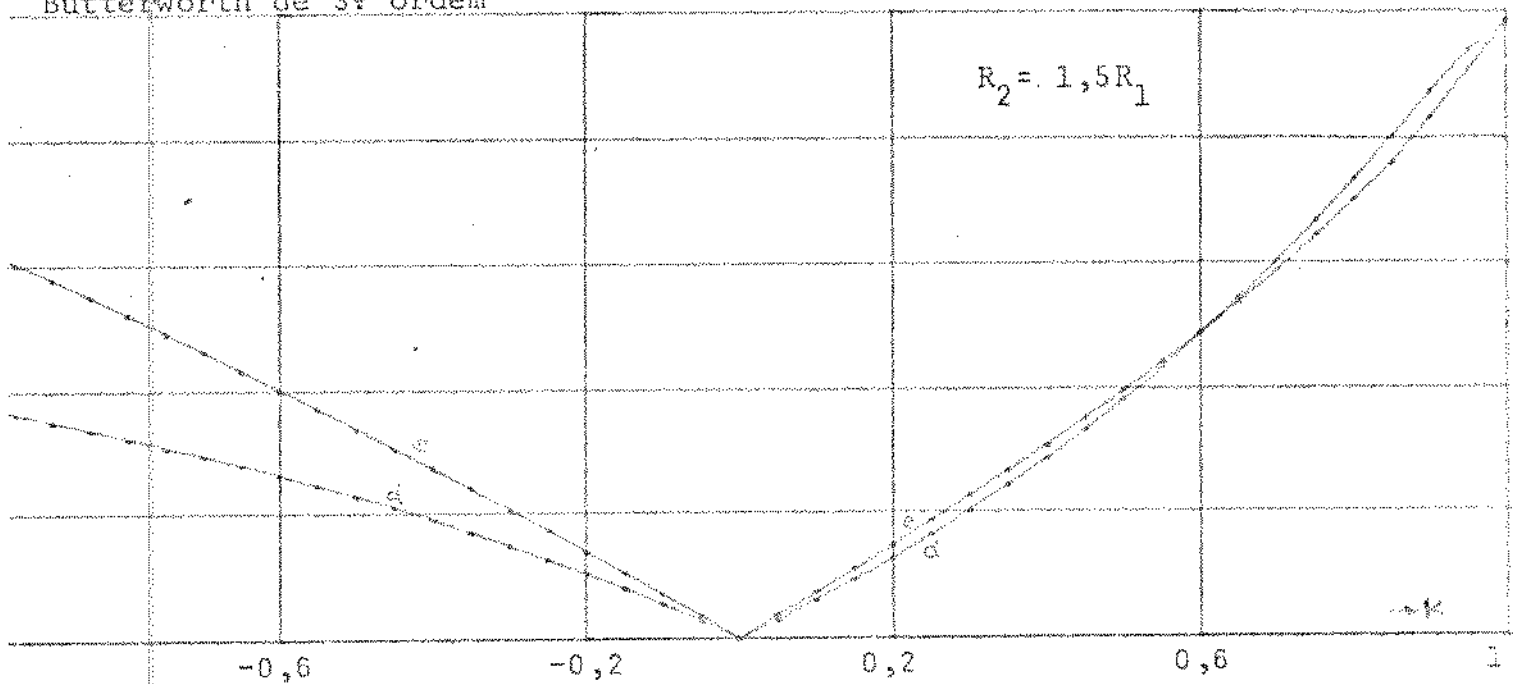
b.3. Filtro Optimum de 3ª ordem, $R_2 = 2R_1$.

c.1. Filtro Butterworth de 4ª ordem, $R_2 = 1,5R_1$.

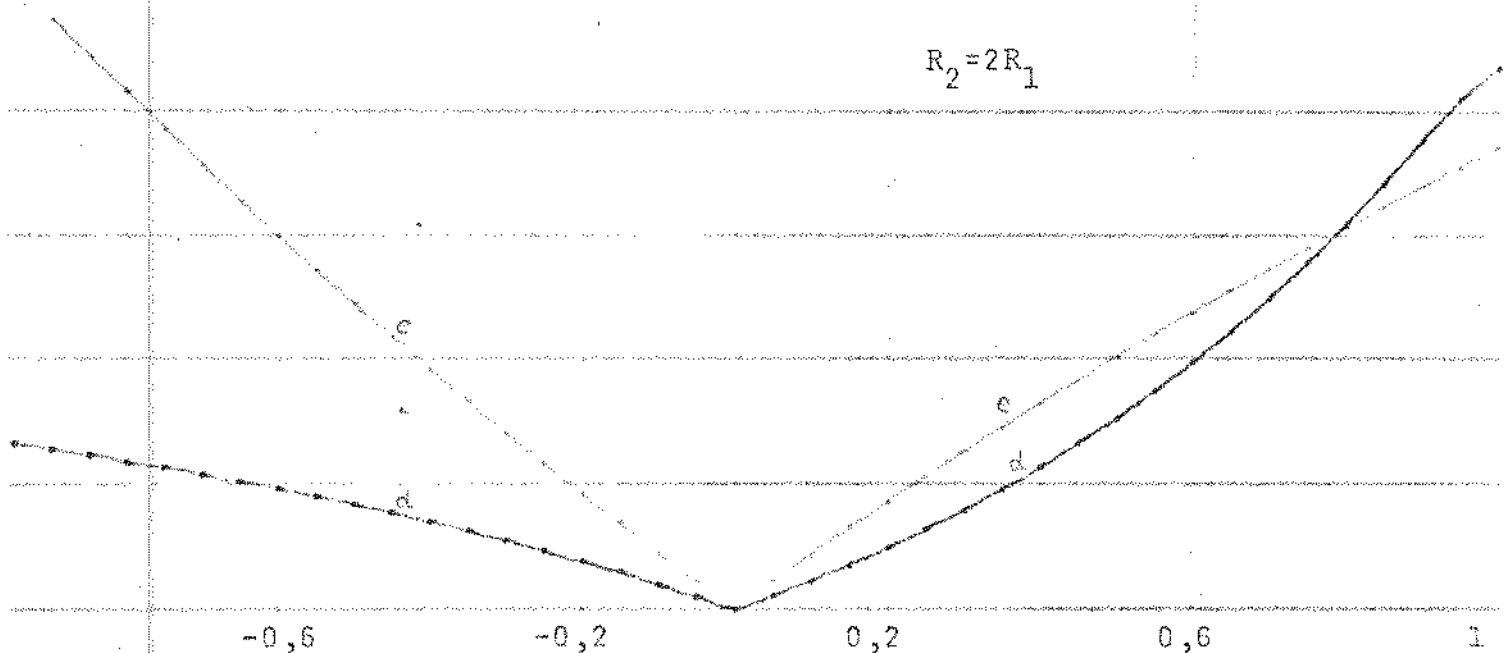
c.2. Filtro Butterworth de 4ª ordem, $R_2 = 2R_1$

c.3. Filtro Butterworth de 4ª ordem, $R_2 = 4R_1$.

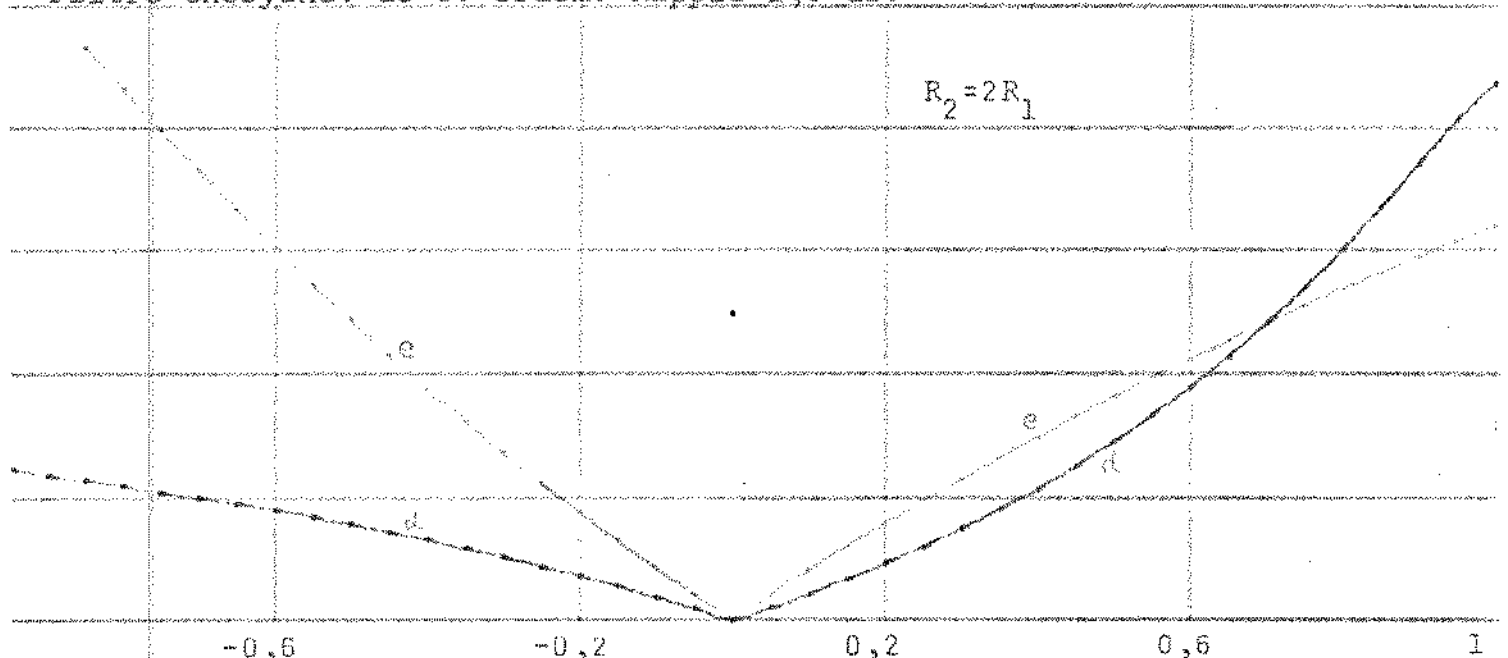
Butterworth de 3º ordem



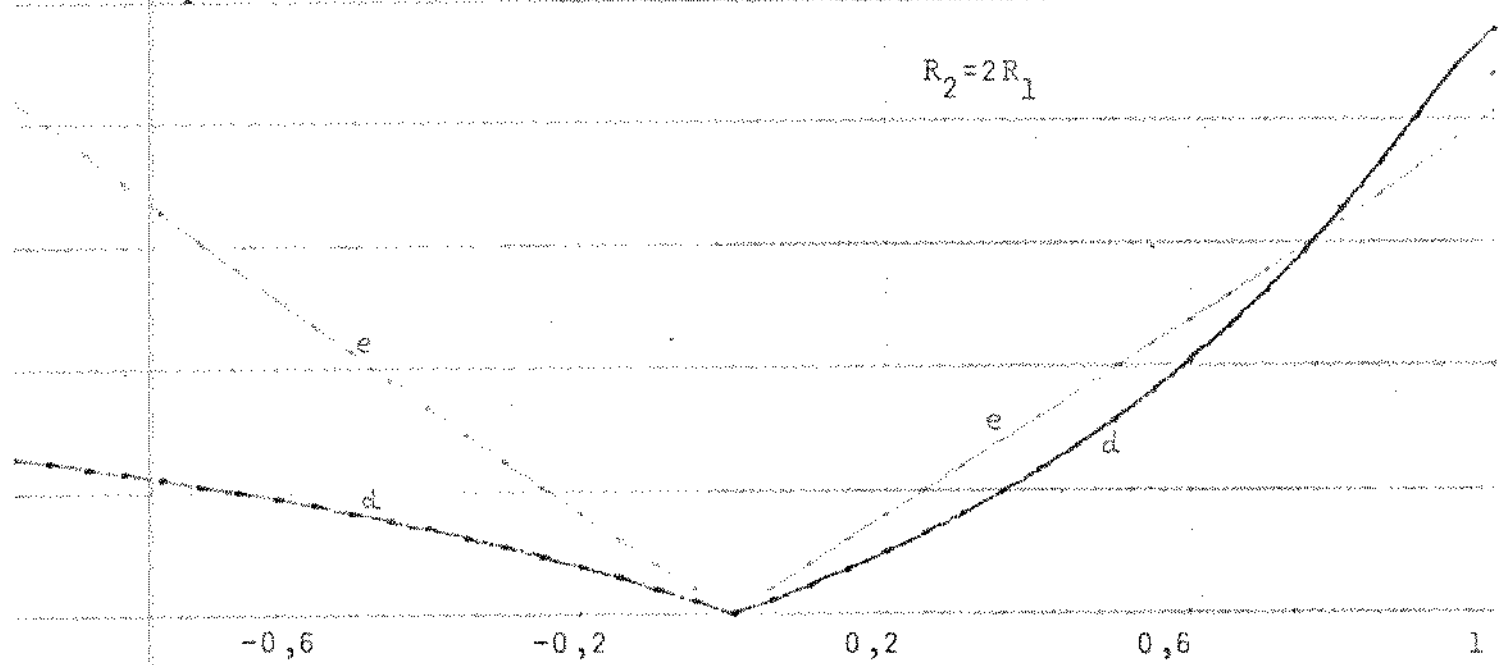
Filtro Chebyshev de 3º ordem. Ripple=0,7 dB.



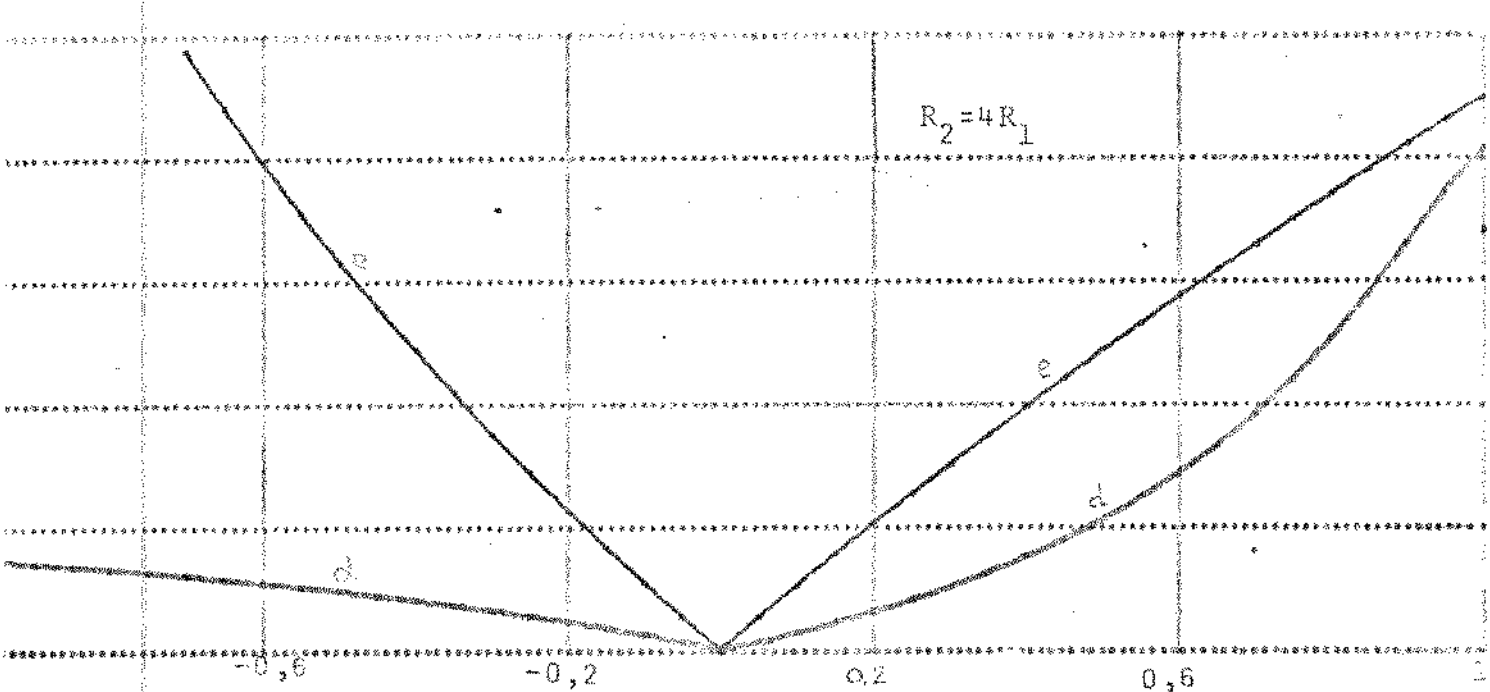
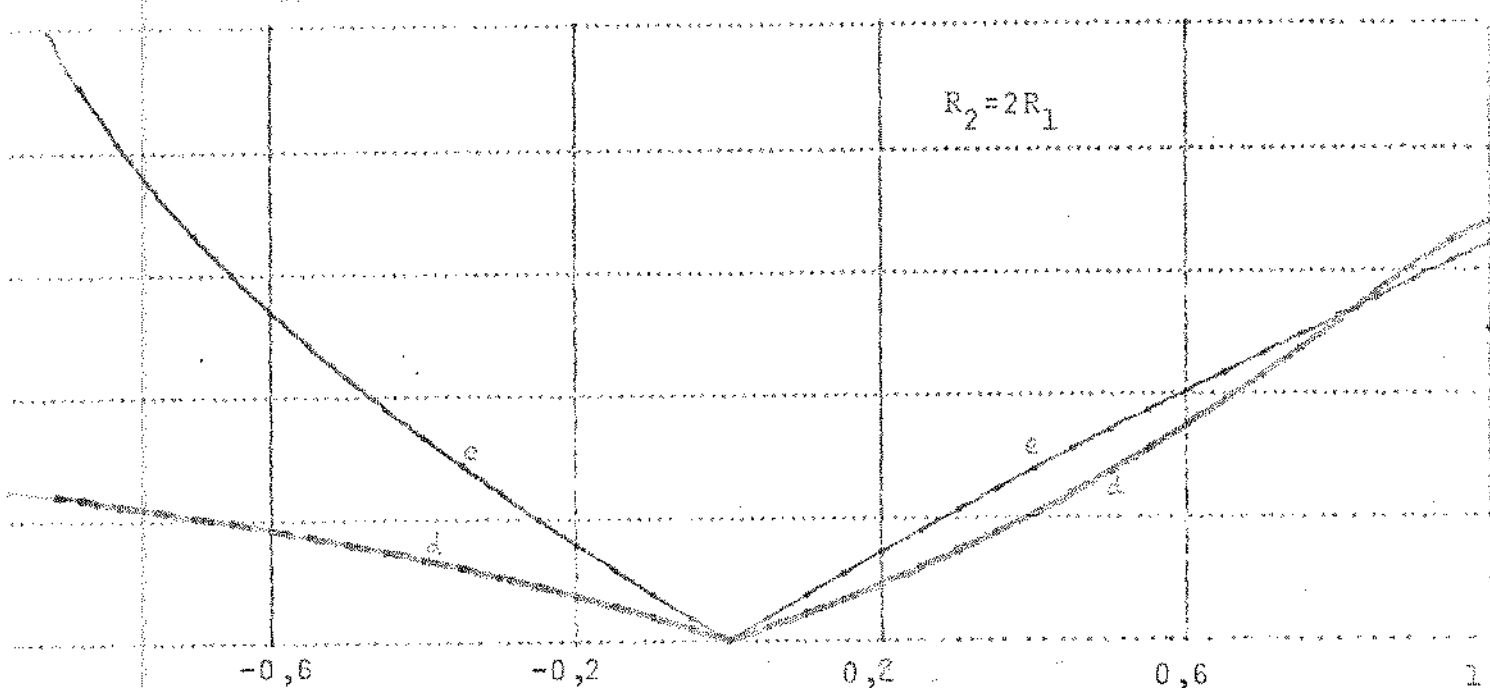
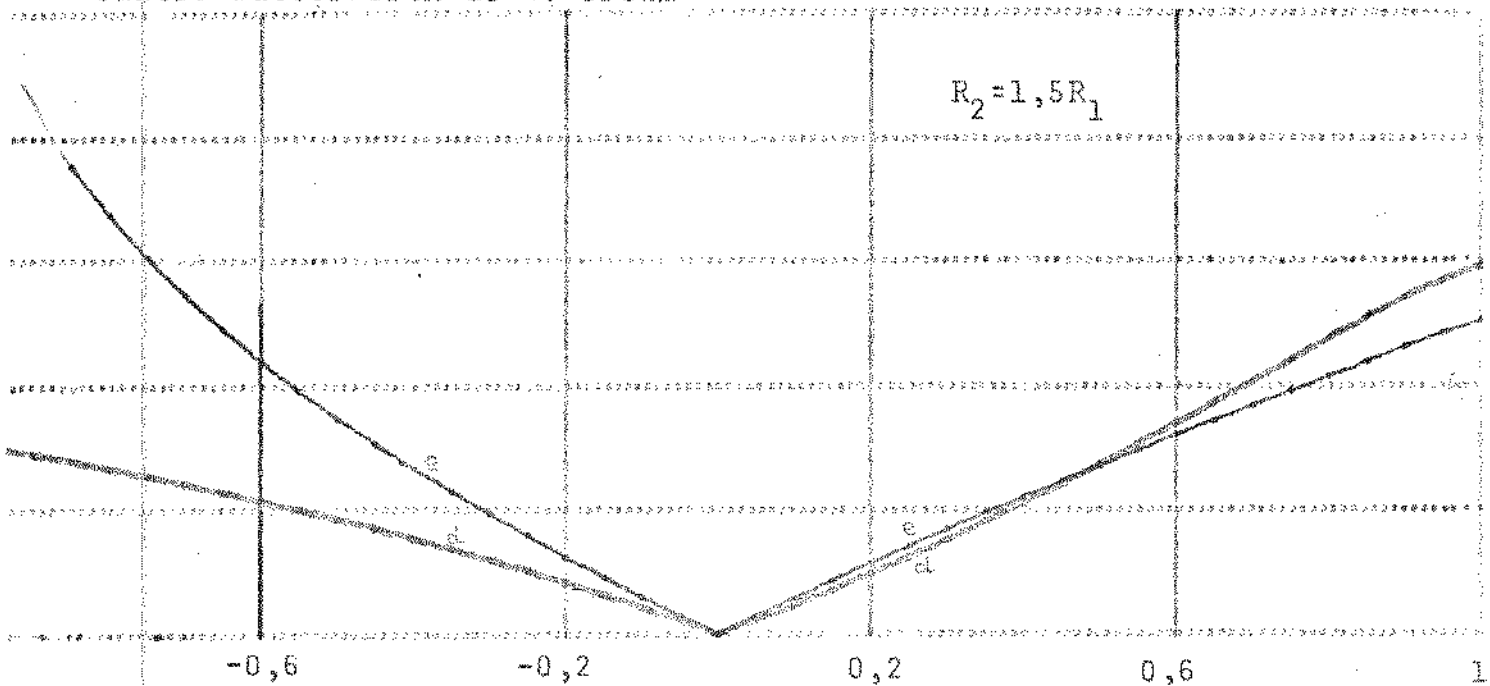
Filtro Chebyshev de 3º ordem. Ripple=1,5 dB.



Filtro optimum de 3º ordem



Filtro Butterworth de 4º ordem



Dos casos analisados nos exemplos 7 e 8, podemos notar que:

1. Os resultados das integrais de sensibilidade são semelhantes(qualitativamente),não importando o tipo de filtro nem a ordem do filtro.
2. Para $R_2 > 3R_1$, as curvas de momento de sensibilidade em função de k não se cruzam e o momento com todos os zeros localizados no S.P.D. é sensivelmente menor do que com todos os zeros de $\rho(s)$ localizados no S.P.E..
3. Para R_2 tendendo a R_1 , as curvas de momento se cruzam e no limite com $R_2 = R_1$, as curvas se toram indistinguíveis.
4. Podemos relacionar esse resultado da integral de sensibilidade com o movimento dos polos. Vemos que menos deslocamento dos polos, embora não signifique menor sensibilidade em todo a faixa, corresponde a uma integral de sensibilidade menor, o qual é um resultado lógico.

CAPÍTULO III

OTIMIZANDO A POTÊNCIA TRANSMITIDA

3.1 - INTRODUÇÃO

Estudamos até o momento, a sensibilidade sob o ponto de vista da amplitude da resposta em frequência. Entretanto pode-se usar a rede simplesmente como acopladora de potência; nesse caso desejamos otimizar a potência transmitida sem que o formato da resposta em frequência seja especialmente importante.

Nesse capítulo, vamos primeiramente comparar as potências transmitidas nos diversos circuitos com diferentes localizações de zeros de $\rho(s)$ quando variamos a resistência de carga; posteriormente consideraremos o caso em que a variação se processa na resistência de saída da fonte. Por último compararemos os resultados com o resultado clássico obtido por Bode [6].

3.2 - TRANSFERÊNCIA REAL DE POTÊNCIA

Seja

$$\rho_i(s) = \frac{N_e + N_o}{D_e + D_o} \quad (3.2.1)$$

Se variarmos a carga $R_L \neq R_2$

em (1.3.10) teremos

$$\rho_a(s) = \frac{(N_e + N_o) + K(D_e - D_o)}{(D_e + D_o) + K(N_e - N_o)} \quad (3.2.2)$$

onde

$$K = \frac{R_L - R_2}{R_L + R_2} \quad (3.2.3)$$

Fazendo $m = \frac{1}{k}$ e reescrevendo $\rho_a(s)$, obtemos

$$\rho_a(s) = \frac{(mN_e + D_e) + (mN_o - D_o)}{(mD_e + N_e) + (mD_o - N_o)} \quad (3.2.4.)$$

observemos que existem duas possibilidades para expandir $\rho_a(s)$ em série de potência para valores grandes de s .

1ª. possibilidade: ρ_i na forma canônica é precedido de sinal positivo.

$$\begin{aligned} \rho_i(s) &= \frac{(s + z_1)(s + z_2)\dots(s + z_n)}{(s + p_1)(s + p_2)\dots(s + p_n)} = \frac{(s^n + a_{n-1}s^{n-1} + \dots)}{(s^n + b_{n-1}s^{n-1} + \dots)} \\ &= \frac{s^n + s^{n-1}(\sum z_i) + \dots}{s^n + s^{n-1}(\sum p_i) + \dots} \end{aligned} \quad (3.2.5)$$

onde $-z_i$ são os zeros e $-p_i$ são os polos.

Substituindo (3.2.5) em (3.2.4) temos

$$\rho_a(s) = \frac{(m+1)s^n + (m\sum z_i - \sum p_i)s^{n-1} + \dots}{(m+1)s^n + (m\sum p_i - \sum z_i)s^{n-1} + \dots} \quad (3.2.6)$$

Para $S \rightarrow \infty$, teremos

$$\rho_a(s) \approx 1 + (\sum z_i - \sum p_i)s^{-1} + \dots \quad (3.2.7)$$

observaremos que $\rho_a(s)$ para $S \rightarrow \infty$ não é função de K ou m .

2^a. possibilidade: ρ_i na sua forma canônica é precedido de sinal negativo.

$$\rho_i(s) = \frac{-s^n - a_{n-1}s^{n-1} - \dots}{s^n - b_{n-1}s^{n-1} + \dots} = \frac{-s^n - s^{n-1}(\sum z_i) - \dots}{s^n + s^{n-1}(\sum p_i) + \dots} \quad (3.2.8)$$

Substituindo (3.2.8) em (3.2.4) temos

$$\begin{aligned} \rho_a(s) &= \frac{(1-m)s^n + (-m\sum z_i - \sum p_i)s^{n-1} + \dots}{(m-1)s^n + (m\sum p_i + \sum z_i)s^{n-1} + \dots} \\ &= \frac{(m-1)s^n + (m\sum z_i + \sum p_i)s^{n-1} + \dots}{(m-1)s^n + (m\sum p_i + \sum z_i)s^{n-1} + \dots} \end{aligned} \quad (3.2.9)$$

para $S \rightarrow \infty$ teremos

$$\rho_a(s) \approx -1 - (\sum z_i - \sum p_i) s^{-1} + \dots \quad (3.2.10)$$

No 1º caso

$$\ell_n \left[\rho_a(s) \right] \rightarrow 0 \quad \text{para } S \rightarrow \infty$$

No 2º caso

$$\ell_n \left[-\rho_a(s) \right] \rightarrow 0 \quad \text{para } S \rightarrow \infty$$

Supondo o 1º caso inicialmente como

$\ell_n(1+x) \approx x$, se $|x| \ll 1$, podemos escrever

$$\int_C \ell_n [\rho_a] ds = \int_C \ell_n [1 + (\Sigma z_i - \Sigma p_i) s^{-1} + \dots] ds \rightarrow \int_C (\Sigma z_i - \Sigma p_i) \frac{ds}{s},$$

(3.2.11)

onde C é o semi-círculo de raio infinito (ver fig. 36)

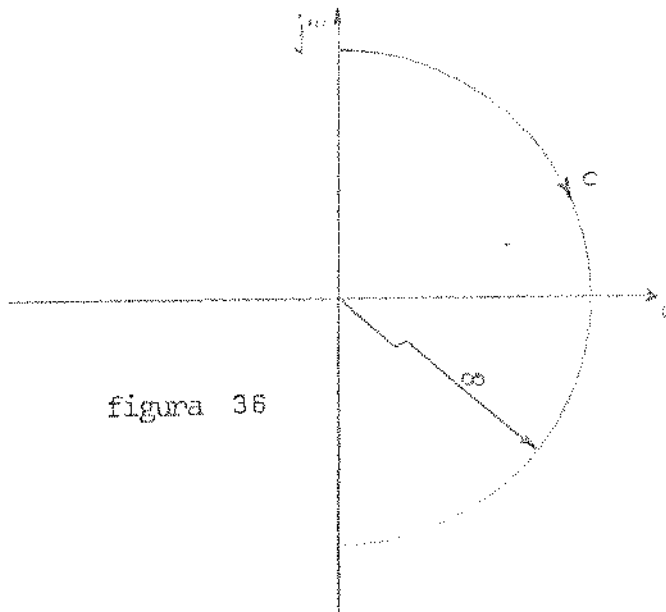


figura 36

integrando

$$\int_C (\Sigma z_i - \Sigma p_i) \frac{ds}{s} = -j\pi (\Sigma z_i - \Sigma p_i)$$

(3.2.12)

Ao longo do eixo $j\omega$,

$$\begin{aligned} \int_{-\infty}^{+\infty} \ell_n [\rho_a] ds &= \int_{-\infty}^{\infty} \ell_n [\rho_a(j\omega)] j d\omega \\ &= \int_{-\infty}^{\infty} \ell_n [\rho_a(j\omega)] j d\omega + \int_{-\infty}^{\infty} j \arg [\rho_a(j\omega)] d\omega \end{aligned}$$

(3.2.13)

Como $\arg [\rho_a(j\omega)]$ é uma função ímpar em relação a ω

$$\int_{-\infty}^{\infty} j \arg [\rho_a(j\omega)] d\omega = 0 \quad (3.2.14)$$

o que implica em

$$\int_{-j\infty}^{j\infty} \ell_n[\rho_a] ds = j \int_{-\infty}^{\infty} \ell_n[\rho_a] d\omega \quad (3.2.15)$$

vamos integrar ao longo do contorno fechado γ (fig. 37).

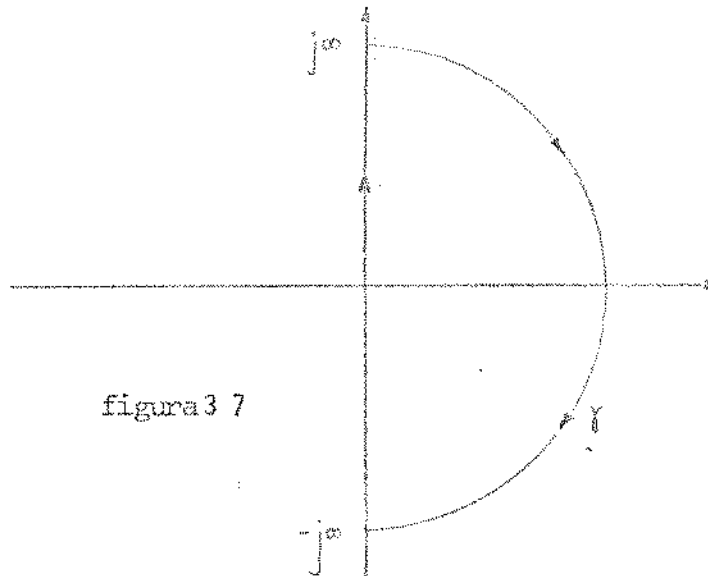


figura 37

$$\int_{\gamma} \ell_n[\rho_a] ds = \int_{-j\infty}^{j\infty} \ell_n[\rho_a] ds + \int_C \ell_n[\rho_a] ds \quad (3.2.16)$$

pelo teorema de Cauchy - Riemann

$$\int_{\gamma} \ell_n[\rho_a] ds = \sum p_i \quad (3.2.17)$$

onde p_i são polos no interior do γ . Como não há nenhum polo no S.P.D.

$$\sum p_i = 0 \quad (3.2.18)$$

Portanto

$$\int_{-j\infty}^{j\infty} \ell_n[-\rho_a] ds = - \int_C \ell_n[-\rho_a] ds \quad (3.2.19)$$

Substituindo (3.2.12) e (3.2.15) em (3.2.19) teremos

$$\int_{-\infty}^{\infty} \ell_n[-\rho_a] dw = -\pi(\sum p_i - \sum z_i) \quad (3.2.20)$$

No 2º caso, vamos integrar $\ell_n[-\rho_a]$ fazendo a aproximação $\ell_n(1+x) + x$ para $|x| \ll 1$ e substituindo $\ell_n[-\rho_a(s)]$ por (3.2.10) temos

$$\int_C \ell_n[-\rho_a(s)] ds \rightarrow \int_C (\sum z_i - \sum p_i) \frac{ds}{s} \quad (3.2.21)$$

onde C é o semi-círculo de raio infinito (fig. 40).

$$\int_C (\sum z_i - \sum p_i) \frac{ds}{s} = -j\pi(\sum z_i - \sum p_i) \quad (3.2.22)$$

integrando agora, ao longo do eixo jw

$$\int_{-\infty}^{\infty} \ell_n[-\rho_a] j d\omega = \int_{-\infty}^{\infty} \ell_n[-\rho_a] j d\omega + \int_{-\infty}^{\infty} j \arg [-\rho_a(j\omega)] d\omega \quad (3.2.23)$$

Como o $\arg [-\rho_a]$ é impar,

$$j \int_{-\infty}^{\infty} \ell_n[-\rho_a] d\omega = j \int_{-\infty}^{\infty} \ell_n[-\rho_a] d\omega = j \int_{-\infty}^{\infty} \ell_n[-\rho_a] d\omega \quad (3.2.24)$$

Analogamente ao 1º caso integramos num contorno fechado γ (Fig. 41)

$$\int_{\gamma} \ell_n[-\rho_a] ds = \int_{-j\infty}^{j\infty} \ell_n[-\rho_a] ds + \int_C \ell_n[-\rho_a] ds \quad (3.2.25)$$

Como não há nenhum polo no interior de γ

$$\int_{-j\infty}^{j\infty} \ell_n[-\rho_a] ds = - \int_C \ell_n[-\rho_a] ds \quad (3.2.26)$$

Substituindo (3.2.22) e (3.2.24) em (3.2.26), temos

$$\int_{-\infty}^{\infty} \ell_n[\rho_a] d\omega = -\pi(i p_i - \varepsilon z_i) \quad (3.2.27)$$

vemos portanto que o resultado do integral não depende do sinal de $\rho(s)$ que adotamos.

Examinando melhor a expressão (3.2.27), podemos reescrever

$$\int_{-\infty}^{\infty} k_n \frac{1}{|\rho_a|} d\omega = (\sum P_i - \sum z_i) \quad (3.2.28)$$

A integral é máxima se todos os zeros estiverem no S.P.D.

Em outras palavras, quando a carga R_2 for variável, otimizamos a potência entregue, colocando zeros de $\rho(s)$ no S.P.D.

Até o momento estudamos a condição de "matching" quanto a variação de R_2 , integrando a função sensibilidade, usando o coeficiente de reflexão visto na entrada (fig. 38).

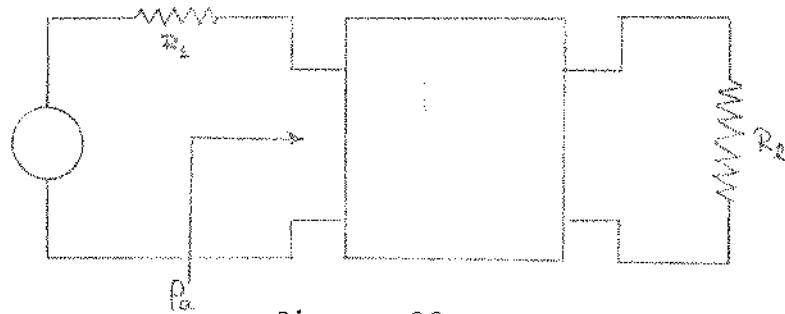


figura 38

Para a variação de R_1 , calcularemos novamente a integral da sensibilidade, só que em vez de ρ_a visto na entrada, vamos usar ρ_a' visto na saída do circuito (fig. 39).

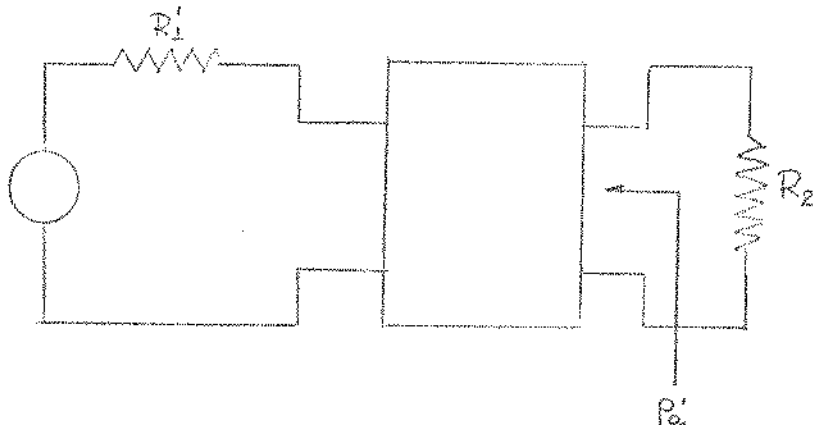


figura 39

logo

$$\int_{-\infty}^{\infty} \ell_n \frac{1}{|\rho_a'|} d\omega$$

onde ρ_a' é dado por

$$\rho_a'(s) = \frac{R_2 - Z_{22}(s)}{R_2 + Z_{22}(s)}$$

para $R_1 = R_1'$

$$\rho_a'(s) = \rho_i'(s) = \frac{N_e'(s) + N_o'(s)}{D_e'(s) + D_o'(s)}$$

Para $R_1' \neq R_1$

$$k' = \frac{R_1 - R_1'}{R_1 + R_1'}$$

podemos escrever

$$\rho_a'(s) = \frac{N_e'(s) + N_o'(s) + k'(D_e'(s) - D_o'(s))}{D_e'(s) + D_o'(s) + k'(N_e'(s) - N_o'(s))}$$

fazendo procedimento análogo acima descrito chegamos a

$$\int_{-\infty}^{\infty} \ell_n \frac{1}{|\rho_a'|} d\omega = \pi(\sum p_i' - \sum z_i') \quad (3.2.29)$$

onde p_i' e z_i' são respectivamente os polos e os zeros de $\rho_i'(s)$. Pelo teorema de reciprocidade do item 1.4, vemos que

$$p_i = p_i'$$

e

$$z_i = -z_i'$$

onde p_i e z_i são respectivamente os polos e zeros de $\rho_i(s)$, visto na entrada,

logo

$$\int_{-\infty}^{\infty} \ln \frac{1}{|\rho_a'|} d\omega = \pi(\sum p_i + \sum z_i) \quad (3.2.20)$$

ou seja, quando a resistência R_1 for variável, optimizamos a potência recebida na carga colocando todos os zeros de $\rho(s)$ no S.P.E.

3.3 - RELAÇÕES COM UM RESULTADO DE BODE [6]

Seja uma rede com capacitor parasítico na entrada e na saída (fig. 42 e 43)

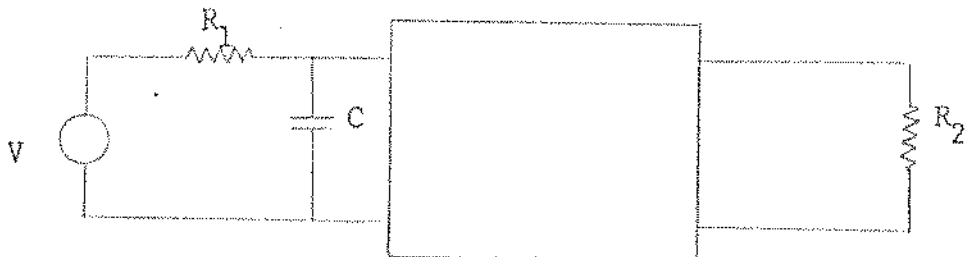


figura 42

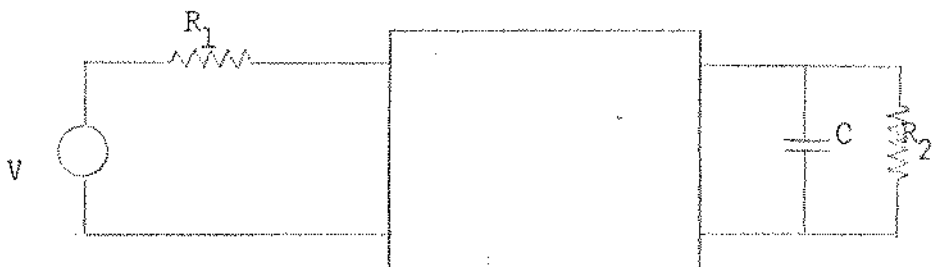
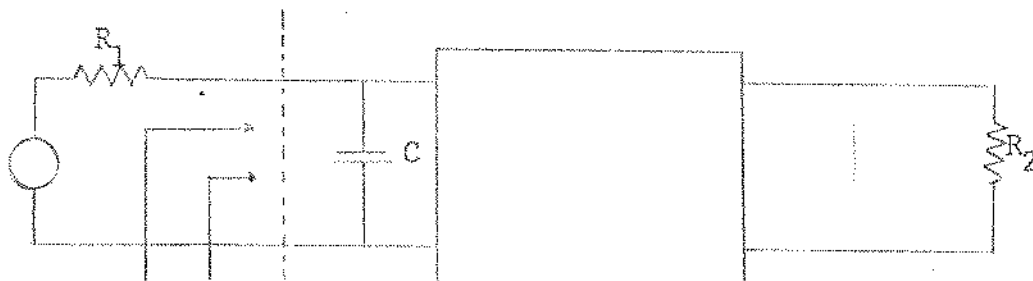


figura 43

O resultado do Bode nos diz que

$$\int_{\rho}^{\infty} \ln \frac{1}{|\rho|} d\omega = \pi \left(-\frac{1}{R_C} + \zeta S_k \right) \quad (3.2.31)$$

onde ρ é o coeficiente de reflexão indicado nas figuras 44 e 45, R pode ser R_1 ou R_2 dependendo do lado que é considerado $\rho(s)$, C é uma capacidade parasitária e ζS_k é a somatória dos zeros de $\rho(s)$ no S.P.D.



$Z(s) \quad p(s)$

figura 44

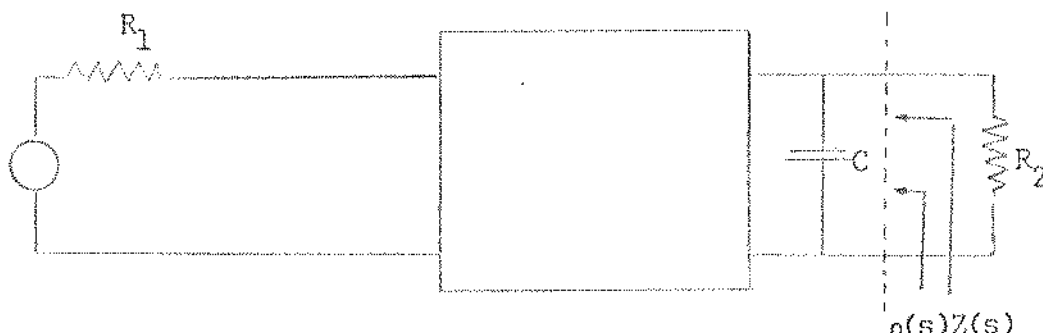


figura 45

Em outras palavras, (3.2.31) diz que a integral do "return loss" *(portanto a potência transmitida) é máxima quando $p(s)$ visto do lado do capacitor parasítico não apresenta nenhum zero no S.P.D.

Os resultados que obtivemos não apenas confirmam esse resultado de Bode como mostram que essa otimização de potência transmitida acontece não apenas para capacitores como também para outros elementos parasíticos (indutores e resistores) na entrada e na saída. Isto será mostrado em seguida.

(*) Uma definição usual é return loss = $\ln 1/|p(j\omega)|$

Seja qual for o componente que incluirmos na entrada, (fig. 46).

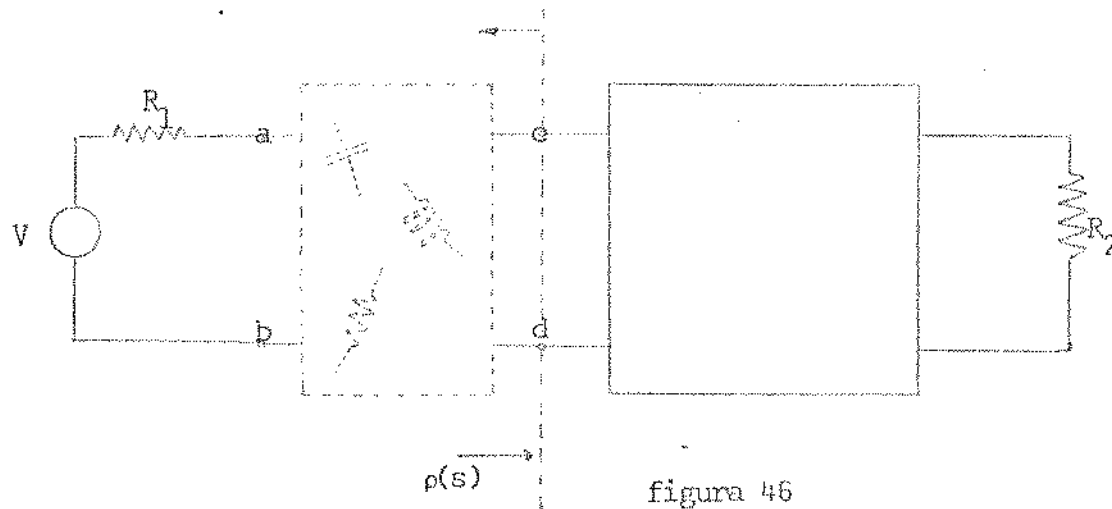


figura 46

podemos aplicar o teorema de Thévenin nos pontos c e d e obter (fig. 47).

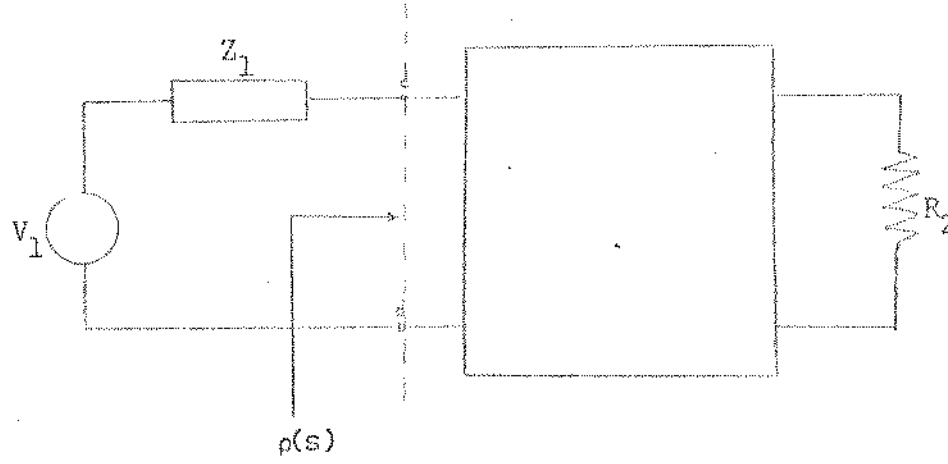


figura 47

onde Z_1 é a impedância equivalente vista do c e d quando curto-circuitamos a fonte e V_1 é a fonte equivalente quando deixarmos c e d em aberto.

Como $Z_1 \neq R_1$ implica que $K' \neq 0$, a equação (3.2.30) mostra que

$$\int_{-\infty}^{\infty} \ln \frac{1}{|\rho_a|} d\omega = \pi(\sum p_i + \sum z_i),$$

isto é, a integral é máxima para todos os zeros no S.P.E.

Como na dedução da equação (3.2.30), K' é qualquer, podendo ser inclusive complexo, provamos portanto que otimizamos a potência entregue em relação aos efeitos parasíticos na entrada colocando todos os zeros de $\rho(s)$ no S.P.E.

Devemos notar que $\rho'_a(s)$ que aparece em (3.2.30) não tem o mesmo significado do $\rho(s)$ da equação (3.2.31) da fórmula de Bode, pois $\rho(s)$ é tomado antes da capacitância parasítica e S_k são os zeros no S.P.D. de $\rho(s)$ com a inclusão de C , portanto geralmente desconhecidos. Na equação (3.2.30) $\rho_a(s)$ é visto depois do componente parasítico (ver fig. 46) e $-p_i$ e $-z_i$ são polos e zeros de $\rho_i(s)$, portanto bem conhecidos.

Em termo de projeto, é mais interessante aplicar equação (3.2.30) do que (3.3.31), pois em geral não conhecemos efeitos parasíticos de antemão.

Usando o teorema de reciprocidade do item 1.4 provamos também que o efeito parasítico se verifica na saída, devemos colocar todos os zeros de $\rho_i(s)$ (considerando o $\rho_i(s)$ visto na entrada) no S.P.D.

CAPÍTULO IV

CONCLUSÕES FINAIS. COMENTÁRIOS

4.1 - Introdução

Os resultados obtidos nos capítulos 2 e 3 nos permitem tirar várias conclusões sob o ponto de vista de projeto, e o desenvolvimento feito no capítulo 1 dá ao método de síntese um aspecto mais simples e funcional. Esses resultados serão apresentados como veremos a seguir.

4.2 - Critério de sinal de $p(s)$

Até o momento não havia um critério de sinal para o coeficiente de reflexão, o que ocasionava perda de tempo em síntese. Com a inclusão do critério de sinal descrito no item 1.2, possibilitou ser o processo mais automático.

4.3 - A escolha da localização dos zeros de $p(s)$

Outro problema na automatização do processo de síntese era a localização dos zeros de $p(s)$. Aonde devo colocar os zeros de $p(s)$?

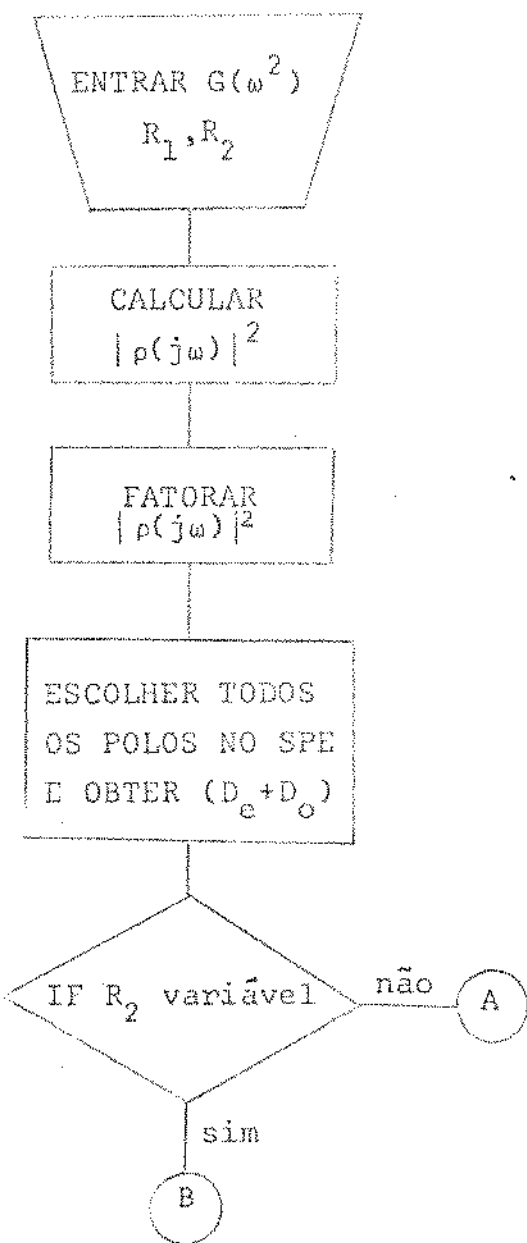
Se me interesso por uma menor sensibilidade em termo de resposta em frequência vejo que não há solução se quisermos tratar em termos absolutos em toda a faixa de frequência, a não ser para variações pequenas de k ; mas se contentarmos em minimizar a integral da sensibilidade, a conclusão é, em geral quando R_2 for variável, a integral da sensibilidade é menor se coloco todos os zeros de $p(s)$ no S.P.D., principalmente se R_2/R_1 é grande. Para R_1 variável, a conclusão é oposta.

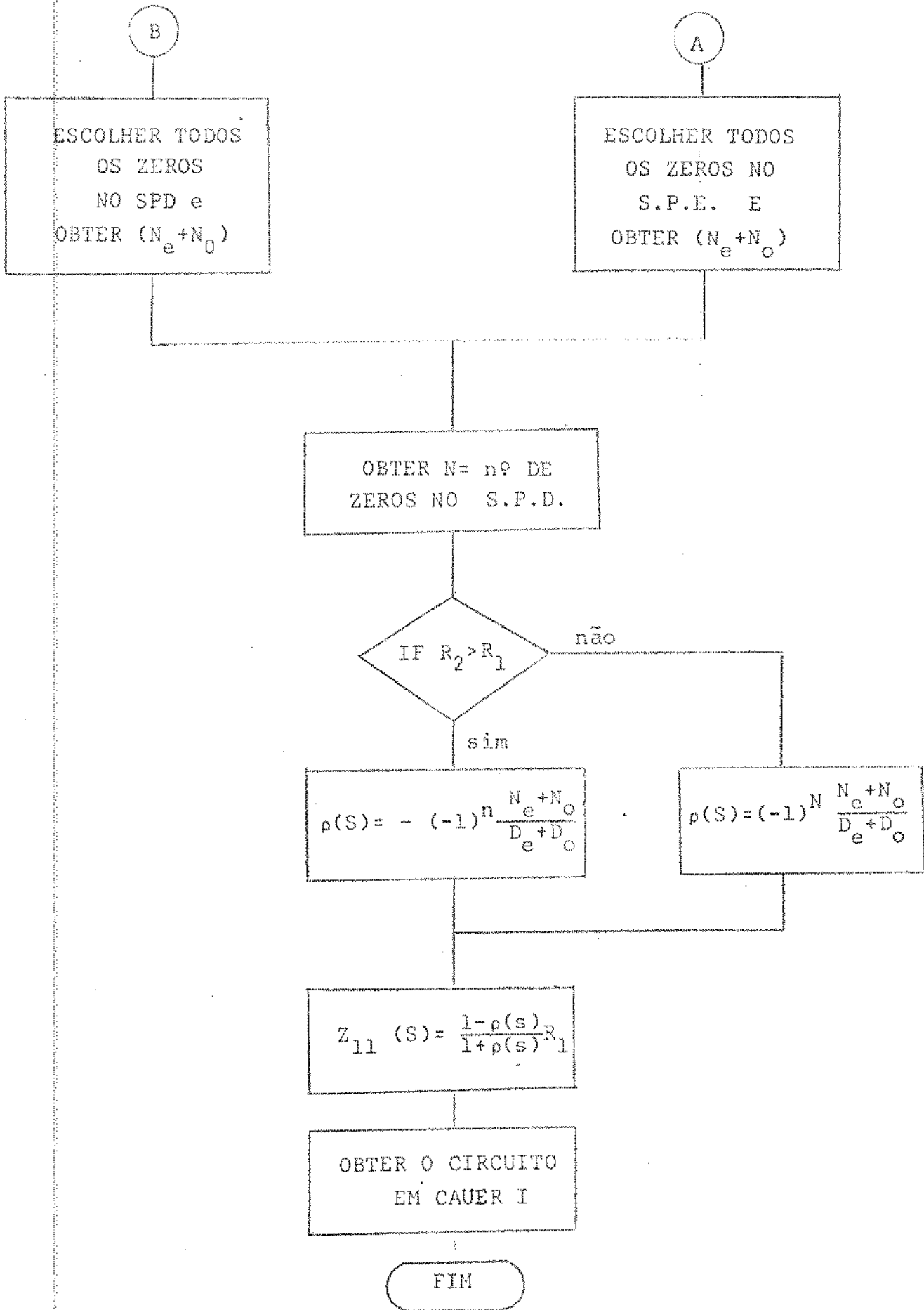
Se me interesso por um circuito que maximize a potência entregue sem que a forma da resposta em frequência seja especialmente importante, o resultado do capítulo 3 me diz que, se a

carga for variável, devo colocar todos os zeros no S.P.D., e no caso de impedância de saída da fonte ser variável, devo colocar todos os zeros no S.P.E.

4.4 - Diagrama de bloco do processo de síntese de Darlington com a otimização em relação a integral de sensibilidade e a potência transmitida

De posse desses resultados obtidos, o diagrama de bloco de síntese fica sendo:





4.5 - Comentários finais e sugestões para trabalhos futuros

O resultado da pesquisa sobre a sensibilidade do circuito quanto a localização dos zeros de $\rho(s)$ foi, em geral, bastante satisfatório.

Creemos ser interessante estudar, para trabalhos futuros, a sensibilidade em relação a variação dos parâmetros do quadripolo e também alguns métodos de compensação para variações na carga e na impedância da fonte.

APENDICE I

CRITÉRIO DE SINAL DO COEFICIENTE DE REFLEXÃO

1.- INTRODUÇÃO

Pela definição

$$\rho(s) = \frac{R_1 - Z_{11}}{R_1 + Z_{11}} \quad (1-1)$$

Se normalizarmos em relação a R_1 , temos

$$\rho(s) = \frac{1 - Z_{11}}{1 + Z_{11}} \quad (1-2)$$

$$\text{Para } Z_{11}(s) = -\frac{N(s)}{M(s)} \quad (1-3)$$

$$\rho(s) = \frac{M(s) - N(s)}{M(s) + N(s)} = \frac{p(s)}{q(s)} \quad (1-4)$$

por outro lado

$$\text{se } Z'_{11}(s) = \frac{M(s)}{N(s)} \quad (1-5)$$

temos então

$$\rho'(s) = \frac{N(s) - M(s)}{N(s) + M(s)} = -\frac{p(s)}{q(s)} \quad (1-6)$$

entretanto

$$|\rho(j\omega)|^2 = \rho(s)\rho(-s) \Big|_{s=j\omega} = \frac{p(s)p(-s)}{q(s)q(-s)} \Big|_{s=j\omega} = \rho'(s)\rho'(-s) \Big|_{s=j\omega}$$

que é idêntico tanto para (1-4) como para (1-6)

Como a síntese pelo método de Darlington parte do $|\rho(j\omega)|^2$ para achar $\rho(s)$, e posteriormente $Z_{11}(s)$, se errarmos o sinal de $\rho(s)$, encontraremos, então, não mais $Z_{11}(s)$ mas $Z'_{11}(s)$, que é dual do primeiro* e o circuito, ao invés de terminar com a carga R_2 desejada, terminaria em $1/R_2$. Há, portanto, a necessidade de encontrar um critério que determina a priori o sinal de $\rho(s)$ a ser tomado.

2. - CRITERIO DE SINAL PARA CIRCUITO PASSA-BAIXO

Vamos supor primeiro que o circuito é passa-baixo

$$Z_{11}(s) = \frac{N(s)}{M(s)} = \frac{a_n s^n + a_{n-1} s^{n-1} + \dots + a_0}{b_m s^m + b_{m-1} s^{m-1} + \dots + b_0} \quad (2-1)$$

e

$$Z_{11}(0) = \frac{a_0}{b_0} = R_2 \quad (2-2)$$

vamos supor que o circuito é normalizado em R_1

$$\rho(s) = \frac{1 - Z_{11}(s)}{1 + Z_{11}(s)} = \frac{M(s) - N(s)}{M(s) + N(s)} \quad (2-3)$$

$$\rho(0) = \frac{b_0 - a_0}{b_0 + a_0} = \frac{1 - R_2}{1 + R_2} \quad (2-4)$$

notamos que

$$R_2 > R_1 \iff \rho(0) < 0 \quad (2-5)$$

por outro lado

$$\rho(s) = \pm \frac{(s-z_1)(s-z_2)\dots(s-z_n)}{(s-p_1)(s-p_2)\dots(s-p_n)} \quad (2-6)$$

* Se o circuito não for normalizado em $R_1=1$, então não encontraremos o circuito dual exato mas com a carga terminada em $R_2' = R_1^2/R_2$.

onde z_i e p_i são respectivamente zeros e polos de $\rho(s)$ e

$$\rho(s) = \pm \frac{\prod_{i=1}^n (-z_i)}{\prod_{i=1}^n (-p_i)} \quad (2-7)$$

notamos que em (2-7) $\prod_{i=1}^n (-p_i)$, ou seja, o denominador é sempre positivo, porque todos os polos estão no SPE, entretanto o sinal do numerador depende da localização dos zeros.

Combinando (2-5) com (2-7) temos

$$R_2 > R_1 \leftrightarrow \pm \prod_{i=1}^n (-z_i) < 0 \quad (2-8)$$

apresentando (2-8) numa fórmula mais explícita, temos

1. $R_2 > R_1$

a. Se o número de zeros positivos (zeros no SPD) for par

$$R_2 > R_1 \leftrightarrow - \prod_{i=1}^n (-z_i)$$

ou seja, devemos adotar o sinal -

b. Se o número de zeros positivos for ímpar,

$$R_2 > R_1 \leftrightarrow + \prod_{i=1}^n (-z_i)$$

ou seja, devemos adotar o sinal +

2. $R_2 < R_1$. O critério é EXATAMENTE ao contrário.

3.- REPRESENTAÇÃO FORMAL DO COEFICIENTE DE REFLEXÃO

Pode-se mostrar que, se todos os zeros estão no SPE, antes da discussão do sinal a ser adotado, $\rho(s)$ pode ser escrito na forma

$$\rho_e(s) = \frac{N_e(s) + N_o(s)}{D_e(s) + D_o(s)} \quad (3-1)$$

onde $N_e(s)$ é a somatória dos termos pares do numerador

$N_o(s)$ é a somatória dos termos ímpares do numerador

$D_e(s)$ é a somatória dos termos pares do denominador

$D_o(s)$ é a somatória dos termos ímpares do denominador

e todos esses termos são precedidos do sinal +.

Mostra-se facilmente que se todos os zeros estiverem no SPD, então

$$\rho_d(s) = \frac{N_e(s) - N_o(s)}{D_e(s) + D_o(s)} \quad \text{se a ordem de } \rho(s) \text{ for par}$$

e

$$\rho_d(s) = \frac{N_o(s) - N_e(s)}{D_e(s) + D_o(s)} \quad \text{se a ordem de } \rho(s) \text{ for ímpar}$$

aplicando o critério que obtivemos

1. $R_2 > 1$

- a. Se todos os zeros estão no SPE, portanto nenhum no SPD, devemos adotar o sinal -

$$\rho_e(s) = - \frac{N_e + N_o}{D_e + D_o} \quad (3-2)$$

- b. Se todos os zeros estão no SPD

no caso par, adota-se o sinal -

$$\rho_d(s) = - \frac{N_e - N_o}{D_e + D_o} \quad (3-3)$$

no caso ímpar, adota-se o sinal +

$$\rho_d(s) = \frac{N_o - N_e}{D_e + D_o} = - \frac{N_e - N_o}{D_e + D_o} \quad (3-4)$$

conclusão: Temos obtido uma formulação geral de $\rho(s)$

Para $R_2 > R_1$, independentemente da ordem do circuito

$$\rho_e(s) = - \frac{N_e + N_o}{D_e + D_o}; \quad \rho_d(s) = - \frac{N_e - N_o}{D_e + D_o} \quad (3-5)$$

Para $R_2 < R_1$, independentemente da ordem do circuito

$$\rho_e(s) = \frac{N_e + N_o}{D_e + D_o}; \quad \rho_d(s) = \frac{N_e - N_o}{D_e + D_o} \quad (3-6)$$

4.- EXTENSÃO DO CRITÉRIO DE SINAL PARA CIRCUITOS PASSA-ALTO

E PASSA-FAIXA

Sabemos que todos os circuitos podem ser reduzidos a um FPB, usando a técnica da transformação de frequência. Se quisermos extender o critério para que possa ser aplicado diretamente na síntese, basta fazer a transformação.

Exemplo: Encontrar o critério de sinal para filtro passa-alto.

A transformação é

$$s = \frac{\omega_0}{s_n}$$

supondo ser ω_0 normalizado em 1

$$\rho(s) = \frac{(1-a_1s)(1-a_2s)\dots(1-a_ns)}{(1-b_1s)(1-b_2s)\dots(1-b_ns)}$$

para $s \rightarrow \infty$

$$\rho(\infty) = \frac{\prod_{i=1}^n (-a_i)}{\prod_{i=1}^n (-b_i)}, \quad \text{onde } a_i = \frac{1}{z_i} \quad \text{e} \quad b_i = \frac{1}{p_i}$$

por outro lado

$$\rho(\infty) = \frac{R_1 - R_2}{R_1 + R_2}$$

o critério é encontrado facilmente.

Se $R_2 > R_1$ e o número de zeros positivos for par, adota-se -.

Se $R_2 > R_1$ e o número de zeros positivos for ímpar, adota-se

o sinal +.

Vemos que o resultado é idêntico a FPB.

S. - A SIGNIFICAÇÃO DO SINAL DE $\rho(s)$

Notamos que, se $\rho(s) \neq 1$, para $s \rightarrow j\omega$, então o circuito inicia com um capacitor em paralelo, enquanto se $\rho(s) \neq -1$, para $s \rightarrow j\omega$, então o circuito inicia com um indutor em série.

A prova é trivial.

Podemos enunciar esse resultado com as seguintes palavras:

" Se o coeficiente de reflexão ordenado do termo de maior potência ao de menor potência for precedido do sinal - (menos), então o circuito será iniciado com um indutor em série; se for precedido do sinal + (mais), então o circuito será iniciado com um capacitor em paralelo."

REFERÊNCIAS BIBLIOGRÁFICAS

1. DARLINGTON, S.- Synthesis of reactance 4-poles which produce prescribed insertion loss characteristics. *J. Math. Phys.*, vol 18, 1939, pp 257-353.
2. VAN VALKENBURG, M.E. - Introduction to modern network synthesis. New York, Wiley, 1960, pp 424-437.
3. BALABANIAN, N. - Network synthesis. Englewood Cliffs, N.J., Prentice Hall, 1958, pp 205-216.
4. NAVOT; I., GONEN, B., and PERI, Z. - Explicit formulas for Butterworth and Chebyshev ladder filters with new patterns of reflection zeros. Proc. of fourth Annual Allerton Conference on Circuit and System Theory, Illinois, 1966, pp 165-175.
5. TALBOT, A. - A new method of synthesis of reactance network. Monograph n° 77. Proc. I.E.E., London, 1954, pp 73-90.
6. BODE, H.W. - Network analysis and feedback amplifier design, Princeton, N.J., Van Nostrand, 1956, pp 360-368.
7. WEINBERG, L. - Network analysis and synthesis, N.Y., McGraw-Hill, 1962, pp 585-599.
8. SOBRAL JR., M. - Filtro de resposta plana. Trabalho Individual, IDE, I.T.A., São José dos Campos, 1958.
9. KUO, F. F. - Network Analysis and Synthesis, N. Y., Wiley, 1962, pp 327-385.
10. SOBRAL JR., M. - Sensitivity considerations in the synthesis of double terminated coupling network. *IEEE Transactions on Circuit Theory*, Vol. CT-12, n°2, 1965, pp 272-274.